

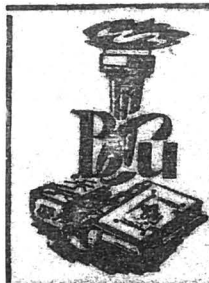
471008

IONEL LAZANU

SPECTROSCOPIA HADRONILOR

Note de curs

EDITURA UNIVERSITĂȚII DIN BUCUREȘTI



BIBLIOTECA CENTRALĂ
UNIVERSITARĂ
Bucureşti

Cota III 471008
C1799901383
Inventar

IONEL LAZANU

SPECTROSCOPIA HADRONILOR

(Note de curs)

182682

**EDITURA UNIVERSITĂȚII DIN BUCUREȘTI
1998**



Referenți științifici: Conf. dr. NICOLAE GHIORDĂNESCU
Prof. dr. docent ALEXANDRU MIHUL

132 /
gg

B.C.U. București



C199901383

© Editura Universității din București
Șos. Panduri, 90-92, București - 76235; Telefon/Fax 410.23.84

ISBN - 973 - 575 - 282 - 4

Prefata

Fizica particulelor elementare reprezinta domeniul in care, in ultima jumataitate de secol, s-au facut un numar impresionant de progrese atit din punct de vedere teoretic cit si experimental. In acest domeniu de fizica notiunea de elementaritate - notiune centrala, este extrem de relativa, in sensul ca majoritatea sistemelor considerate la un moment dat elementare, au in realitate o structura interna.

Primul pas in evidențierea si intelegerea structurii interne a sistemelor il constituie identificarea unui spectru de excitatie pentru acestea. Astfel, la scara moleculelor exista un spectru datorat miscarii cuantificate a atomilor constituenti, in domeniul atomic spectrul de excitatie apare datorita interactiei intre electroni si nucleu, respectiv intre nucleoani in cazul nuclear. La scara particulelor elementare, la nivelul cunostintelor actuale, s-a pus in evidenta experimental existenta unei structuri numai pentru hadroni.

Determinarea spectrelor de excitatie ale acestor sisteme si a tranzitiilor intre stari, explicarea si modelarea structurii lor interne, predictii ale comportarii acestora, fac obiectul de studiu al spectroscopiei.

In prezent exista o spectroscopia a sistemelor moleculare, atomice, nucleare si a hadronilor. Calitativ, toate sistemele fizice amintite sunt similare, dar cantitatativ ele sunt radical diferite. Excitatii moleculelor se evidențiaza la o scara energetica in domeniul meV, atomii la eV, nucleele pentru MeV si hadronii la sute de MeV. Aceste scari dau o imagine foarte clara asupra valorilor energiilor de legatura intre constituenti si a dimensiunilor structurilor studiate, si sugereaza foarte liniște de ce spectroscopia hadronilor este cea mai noua ramura a spectroscopiei.

Daca in cazul leptonilor exista o teorie care permite descrierea, intelegerea si explicarea interactiilor intre particule, lipsa unei teorii a interactiilor tari duce si la lipsa unei sistematici pentru hadroni, iar interpretatiile se fac pe baza unor modele particulare. In aceste imprejurari spectroscopia hadronilor are un rol deosebit de important in sistematizarea si explicarea faptelor experimentale si in stabilirea legaturii intre datele experimentale si structura particulelor.

Prezenta carte, intitulata "Spectroscopia hadronilor", are la baza cursul tinut de autor studentilor de la "Studii aprofundate" in specializarea "Interactii nucleare si ale particulelor elementare", de la Facultatea de Fizica a Universitatii Bucuresti.

Primele doua capitole abordeaza elemente de teoria grupurilor unitare cu aplicabilitate in fizica hadronilor. Pentru ca intreaga spectroscopie dezvoltata in carte se bazeaza pe ipotezele modelului cuarc, sunt analizate conexiunile dintre teoria grupurilor si acest model. Necesitatea introducerii numarului cuantic de culoare, marime fundamentala in ipoteza structurii de cuarci pentru hadroni, si a consecintelor care decurg de aici, sunt analizate in detaliu in capitolul 2.

Pe baza structurii grupale a hadronilor si a interactiunilor fundamentale intre constituenti, sunt explicate, in capitolul 3, despicarile de masa pentru hadroni, ca si contributiile gluonului la masele mezonilor.

Acest mod de abordare poate explica relativ spectrele de masa ale hadronilor, fara a avea posibilitatea fixarii scarii energetice a fenomenelor. Obtinerea unor rezultate cantitative se poate realiza numai prin modelarea interactiilor intre constituenti, cuarci si gluoni.

Capitolele 4 si 5 trateaza modelele teoretice de structura a hadronilor. Sunt trecute in revista principalele cai de studiu teoretic, accentul fiind pus pe abordarile fenomenologice si nerelativiste, care sunt de altfel si cele mai raspandite in literatura. In capitolul 4 accentul este pus pe explicarea structurii in cadrul modelului cuarc naiv, adica a sistemelor legate cuarc-anticuarc (mezoni) si respectiv a sistemelor constituite din trei cuarci (barioni), pe cind in capitolul 5 sunt discutate aspecte legate de posibila existenta si de modelarea asa numitilor "hadroni exotici": hadronii multicuarc si gluonici.

In capitolul 6 si ultimul, este prezentata situatia experimentală la zi, pentru mezoni si barioni, cu interpretari teoretice in acord cu spectroscopia dezvoltata in lucrare, cit si cu evidențierea aspectelor ambigue, controversate sau neelucidate. Corectitudinea unor ipoteze teoretice curente in modelele nerelativiste este verificata pentru familiile de mezoni grei.

Pentru a usura intelegherea si pentru a fixa noțiunile si ordinele de marime caracteristice domeniului, am apelat, pe tot parcursul cartii, la analogii cu fenomene din domenii cu care am considerat ca cititorul este mai familiarizat, cit si la numeroase evaluari numerice.

Lucrarea nu este exhaustiva. Ea incearca sa dea o imagine unitara, si pe cat posibil realista, a problematicii domeniului, a dificultatilor (uneori extrem de mari), a cailor de abordare si rezolvare, ca si a problemelor deschise din spectroscopia hadronilor.

Sper ca cititorul interesat de fizica particulelor va gasi in aceasta carte raspuns la unele dintre problemele care il preocupa, si nu va fi nevoie sa apeleze la metodele de "investigatie" a lumii subnucleare sugerate la pagina 145.

Autorul

Bucuresti, 1998

Cuprins

Prefata

CĂPITOLUL 1

REPREZENTARI FUNDAMENTALE SI PROPRIETATI GENERALE IN SU(n)

1.1 Introducere	1
1.2 SU(2)	4
1.3 Extinderi la SU(3), SU(4), SU(n)	9
1.4 Cuarci si structurile grupale pentru particule	14
1.5 Spinul	20
1.5.1 Mezonii	20
1.5.2 Barionii	24
1.6 Excitatii orbitale pentru barioni si mezoni	26

CĂPITOLUL 2

CULOAREA SI DESPICARILE HIPERFINE IN SPECTROSCOPIA HADRONILOR

2.1 Singletul de culoare pentru hadroni	35
2.2 Explicarea despicarilor hiperfine ale hadronilor cu ajutorul proprietatilor de culoare	38

DESPICARILE MASELOR HADRONILOR**3.1 Despicarile in masa dependente de spin pentru barioni**3.1.1 Sistemul $\Delta - N$ 3.1.2 Sistemul $\Lambda - \Sigma - \Sigma^*$ 3.1.3 Sistemul $\Xi - \Xi^* \text{ si } \Omega$ **3.2 Despicarile in masa dependente de spin pentru mezoni****3.3 Contributiile gluonului la masele mezonilor pseudoscalari
si vectoriali****CAPITOLUL 4****MODELE PENTRU DESCRIEREA HADRONILOR****4.1 Modele potențiale pentru descrierea sistemelor $q\bar{q}$**

4.1.1 Problema a două corpuși

4.1.2 Proprietăți ale funcțiilor de undă

4.1.3 Metode numerice de rezolvare a ecuației Schrödinger radiale

4.1.4 Aproximări semiclasice

4.1.5 Ordinea nivelelor

4.1.6 Modele potențiale nerelativiste

a) Analogie între sistemele mezonice și cazul sistemelor

electromagnetice tip atom de hidrogen

b) Modele potențiale pentru cuarcii gri

4.2 Modele de sac de cuarci**4.3 Modele nerelativiste pentru barioni**

4.3.1 Modelul de oscilator armonic în studiul barionilor.

Considerații generale

4.3.2 Oscilatorul armonic în cazul unui sistem de trei corpuși de
mase egale4.3.3 Oscilatorul armonic în cazul unui sistem de trei corpuși de
mase inegale

4.3.4 Metoda variatională

4.4 Relații de inegalitate între masele hadronilor**4.5 Relații între potențialele cuarc - antikuarc și cuarc - cuarc**

CAPITOLUL 5	96
HADRONI EXOTICI	96
5.1 Hadronii multicuarc	96
5.2 Surse de mezoni gluonici	104
5.3 Mezonii hibrizi	107
CAPITOLUL 6	112
SITUATIA EXPERIMENTALA	112
6.1 Situatia experimentală în domeniul mezonilor usori	112
6.2 Fenomenologia mezonilor cu charm și bottom	116
6.2.1 Charmonium	116
6.2.2 Particulele cu charm	128
6.2.3 Familia Υ	134
6.3 Situatia experimentală în sectorul barionilor. Candidati barioni exotici	138
Anexa 1: Tabelul mezonilor	141
Anexa 2: Tabelul barionilor	142
Bibliografie	143

Capitolul 1

Reprezentari fundamentale si proprietati generale in SU(n)

1.1 Introducere

Cuarpii au spinul 1/2, la fel ca si electronii, astfel incit mezonii, care sunt stari legate cuarc-anticuarc mai sunt cunoscuti sub numele de "cuarconium", in analogie cu pozitronium, stariile legate formate din $e^+ - e^-$.

Electronul si pozitronul pot cupla astfel incit spinul sistemului sa fie 1 (in starea de triplet), sau zero (in starea de singlet). In plus, momentul cinetic orbital poate avea valori intregi: 0, 1, 2, ... si care formeaza asa numitele stari S, P, D, ... Cuplarea spinului \vec{S} cu momentul orbital \vec{L} conduce la momentul cinetic total al sistemului: $\vec{J} = \vec{L} + \vec{S}$.

In notatii spectroscopice, nivelele de energie sunt $^{2S+1}L_J$, si cele mai joase nivele sunt 1S_0 si 3S_1 , iar nivelele urmatoare: 1P_1 , 3P_0 , 3P_1 , 3P_2 .

Daca ar exista numai un tip de cuarci, atunci sistemul de cuarconium ar avea o serie de nivele similar cu cazul pozitroniului, si fiecare nivel pentru cuarconium ar corespunde unui mezon.

Dar in momentul de fata spectroscopia mezonilor nu este asa de simpla ca aceasta imagine.

Multa vreme, toti mezonii pusi in evidenta in mod experimental au putut fi intelesti presupunind existenta a trei tipuri de cuarci: u , d si s , fiecare fiind purtatorul unei proprietati distincte concretizate prin intermediul unui numar cuantic "sarcina specifica" (cunoscuta in literatura de limba engleza ca "flavour").

In 1974, prin descoperirea experimentala a mezonului J/ψ , a devenit clar ca exista al patrulea cuarc, cuarcul cu "charm", c , iar in 1978, al cincilea cuarc, purtatorul numarului cuantic de "bottom", b , a fost confirmat prin existenta mezonului Υ . Al saselea cuarc, cuarcul t , prezis de modelele teoretice, a fost pus in evidenta in 1995.

Analogia dintre pozitronium si cuarconium nu este perfecta. Daca se ignora structura fina si hiperfina, nivelele de energie ale pozitroniumului si cuarconiumului au structura coulombiana a atomului de hidrogen.

Alta calitate de a lega cuarcii pentru a forma particulele observabile este de a forma grupuri de 3 cuarci. Particulele rezultante sunt numite barioni si sistemul resultant este analog nucleelor formate din 3 barioni. Ca si in cazul analogiei pozitronium \leftrightarrow cuarconium, si in cazul barionilor, cuarci nu pot fi eliberati din barioni si originea acestei situatii se gaseste in proprietatea de constringere (confinare) a cuarcelor.

Mai intii vom discuta pe scurt similaritatea dintre barioni si cele mai usoare nuclee formate din 3 nucleoni, adica 3H si 3He , respectiv pnn si npp .

Acste nuclee sunt analoage cu barionii; astfel, protonul are structura: uud si neutronul: udd . Cei trei cuarci de spin $1/2$ cuplaza in unda S conducind la $J = 1/2$ sau $3/2$, si aceste stari sunt asociate cu nucleonul si cu rezonanta Δ . Sunt posibile si stari excitate: P, D, F, ... a caror paritate sa alterneze S(+), P(-), D(+) si asa mai departe. Aceasta succesiune este regasita in spectroscopia barionilor.

In lumea cuarcelor, cuarcul s este responsabil de straneitatea particulelor, de exemplu barionul Λ , care este un sistem *sud*. In lumea nucleului, analogul este hiper nucleul, in care un neutron este inlocuit de un hiperon Λ , adica de exemplu $^3He^\Lambda$.

In cadrul modelului cuarc, spectroscopia barionilor este analoga cu cea a unor sisteme nucleare, ca 3H , 3He , $^3He^\Lambda$, dar nu este analoga cu cea a 4He , d , etc.

Aspectul legat de neobservabilitatea cuarcelor ca particule libere reprezinta o diferență esențială față de fizica nucleului. O a doua diferență importantă descurge din faptul că, în cadrul modelului cuarc, este posibil ca 3 cuarci identici să existe în aceeași stare, de exemplu Ω sau Λ^+ , Δ^+ , dar nu există un nucleu de 3Li cu structura (ppp) , o astfel de stare fiind interzisa de principiul lui Pauli.

In cadrul modelului cuarc, aceasta problema a fost înălțată prin ipoteza existenței unui grad de libertate suplimentar pentru cuarci, dat de numarul cuantic de culoare. Pot exista ca particule reale numai cele pentru care culoarea este albă. In cazul mezonilor, cuarcul si anticuarcul trebuie sa aiba culori astfel incit sa se anihileze, pe cind in cazul barionilor cuarci constituenti trebuie sa poarte cate una dintre culorile primare: rosu, galben si verde, astfel incit sistemul sa aiba culoare albă.

Culoarea genereaza si diferența intre potențialele utilizate in cazul pozitroniumului si al cuarconiumului. Ca constituenti pentru particule, exista cuarci si gluonii. Cuarci au sarcina specifica ("aroma") si se pot gasi in trei stari de culoare, pe cind gluonii sunt fara sarcina, dar sunt presupusi a exista in 8 culori. In acest mod, un

cuarc (in oricare dintre cele 3 culori) poate cupla la alt cuarc si un gluon, rezultind 9 posibilitati de amestec pentru culorile primare. Una dintre aceste posibilitati este un singlet de culoare (in cazul fotonului care cupleaza electromagnetic la cuarci), restul de 8 gluoni cuplind la cuarci cu aceiasi constanta de cuplaj.

Teoria interactiilor tari, numita cromodinamica cuantica (QCD), poate fi construita ca o teorie de cimp a interactiilor tari, in care cuarci cu sarcina de culoare schimba prin interactie gluoni vectoriali colorati, fara masa, in mod analog cu cazul electrodinamicei cuantice (QED) in care fermionii cu sarcina electrica cupleaza la fotoni.

In QED o sarcina electrica izolata poate polariza vidul si interactioneaza cu ea insasi prin intermediul unui nor de perechi $e^+ e^-$.

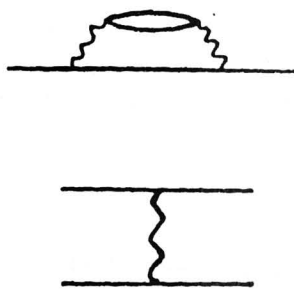


Fig. 1.1

Topologii posibile in QED si QCD. In QED liniile solide sunt electroni si cele frante fotonii. In QCD, liniile solide sunt cuarci, iar cele frante gluoni.

Constanta de cuplaj creste la distanta scurta.

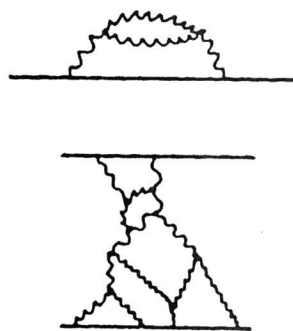


Fig. 1.2

Topologii posibile numai in QCD

In QCD o sarcina de culoare izolata (cuarc) va avea analog in QED, dar exista si linii inchise numai din gluoni. Topologiile de tipul celor din Fig. 1.2 sunt de asemenea posibile (numai in QCD!) datorita faptului ca sunt posibile vertexuri cu 3 gluoni.

Mezonii se gasesc in stari de singleti si octeti (noneti); pentru starile cele mai joase, spinii sunt 0^+ si 1^- . Barionii apar in stari de singleti, octeti si decupleti.

1.2 $SU(2)$

Independenta de sarcina a fortelelor nucleare si simetria de izospin in fizica particulelor sunt doua exemple familiare asociate cu grupul de simetrie $SU(2)$.

Reprezentarea fundamentala in $SU(2)$ este un dublet:

$$\begin{pmatrix} u \\ d \end{pmatrix} \quad (1.1)$$

Daca consideram ca aplicam acest dublet unei particule de spin $1/2$, proiectiile spinului acestei particule fata de directia axei z sunt: sus, respectiv jos, astfel ca putem asocia aceste proiectii celor doua stari fundamentale din $SU(2)$. Exceptind un factor de faza, aceste doua stari vor ramane invariante la o rotatie in jurul axei z.

O rotatie in jurul altelui axe va fi de unghi θ si starile vor suferi o transformare dupa cum urmeaza. Presupunind aceasta rotatie in jurul axei y, vom avea:

$$\begin{pmatrix} u' \\ d' \end{pmatrix} = \begin{pmatrix} \cos(\theta/2) & \sin(\theta/2) \\ -\sin(\theta/2) & \cos(\theta/2) \end{pmatrix} \cdot \begin{pmatrix} u \\ d \end{pmatrix} \quad (1.2)$$

si daca:

$$u = \begin{pmatrix} 1 \\ 0 \end{pmatrix}, \quad d = \begin{pmatrix} 0 \\ 1 \end{pmatrix}, \quad (1.3)$$

rezulta:

$$u' = \begin{pmatrix} \cos(\theta/2) \\ -\sin(\theta/2) \end{pmatrix}, \quad d' = \begin{pmatrix} \sin(\theta/2) \\ \cos(\theta/2) \end{pmatrix} \quad (1.4)$$

Aceste matrici sunt unitare si atunci, daca $\chi \equiv \begin{pmatrix} u \\ d \end{pmatrix}$, rezulta:

$$\chi'^\dagger \chi' = \chi^\dagger U^\dagger U \chi = \chi^\dagger \chi \quad (1.5)$$

In general, consider transformarile: $\chi' = U \chi$, unde U este o matrice unitara 2×2 . In forma generala matricea U este scrisa conventional:

$$U \equiv \exp\left(\frac{1}{2}i\vartheta\hat{n}\cdot\hat{\sigma}\right) \quad (1.6)$$

unde ϑ este o masura a rotatiei in jurul axei \hat{n} , si $\frac{1}{2}\hat{\sigma}$ sunt matrici 2×2 . Matricile $\frac{1}{2}\hat{\sigma}$ se numesc generatorii transformarilor infinitesimal de unghi ϑ :

$$\begin{aligned} \chi' &\rightarrow \chi + \delta\chi \\ \delta\chi &\equiv i\vartheta\hat{n}\left(\frac{1}{2}\sigma\chi\right) \end{aligned} \quad (1.7)$$

Pentru ca matricea U este unitara, $\det U = 1$. Utilizind relatia:

$$\det(e^A) \equiv e^{Tr A}, \quad (1.8)$$

rezulta ca:

$$Tr \sigma = 0 \quad (1.9)$$

Matricile:

$$U^{-1} \equiv \exp\left(-\frac{1}{2}i\vartheta\hat{n}\cdot\hat{\sigma}\vartheta\right) \text{ si } U^+ \equiv \exp\left(-\frac{1}{2}i\vartheta\hat{n}\cdot\hat{\sigma}^+\vartheta\right) \text{ fiind identice pentru matrici unitare, caz in care } \sigma^+ = \sigma,$$

rezulta ca sunt matrici hermitice si cu urma nula:

$$\sigma \equiv \begin{pmatrix} a & b \\ b^* & -a \end{pmatrix} \quad (1.10)$$

cu elementele a si b normate astfel incit $a^2 + b^2 = 1$. In consecinta exista numai 3 matrici independente de acest tip, si prin conventie acestea sunt matricile Pauli:

$$\sigma_1 = \begin{pmatrix} 0 & 1 \\ 1 & 0 \end{pmatrix}, \quad \sigma_2 = \begin{pmatrix} 0 & -i \\ i & 0 \end{pmatrix} \text{ si } \sigma_3 = \begin{pmatrix} 1 & 0 \\ 0 & -1 \end{pmatrix} \quad (1.11)$$

Acstea matrici nu comuta si satisfac relatiile:

$$\left[\frac{1}{2}\sigma_i, \frac{1}{2}\sigma_j \right] = i\epsilon_{ijk} \left(\frac{1}{2}\sigma_k \right) \quad (1.12)$$

care reprezinta algebra generatorilor SU(2), ϵ_{ijk} fiind constantele de structura ale grupului.

Acstea consideratii pot fi generalizate, si se pot defini generatorii:

$$[S_i, S_j] = i\epsilon_{ijk} S_k \quad (1.13)$$

Astfel se pot gasi matrici particulare 2×2 care satisfac aceasta algebra si actioneaza asupra reprezentarilor fundamentale 2-dimensionale ale lui SU(2).

Pentru reprezentari N dimensionale ale lui SU(2) se pot gasi matrici N x N care satisfac algebra.

Aplicind operatorul $\frac{1}{2}\sigma_3$, starilor u si d ale grupului, obtinem:

$$\left(\frac{1}{2}\sigma_3\right)u = \frac{1}{2} \begin{pmatrix} 1 & 0 \\ 0 & -1 \end{pmatrix} \cdot \begin{pmatrix} 1 \\ 0 \end{pmatrix} = \frac{1}{2} \begin{pmatrix} 1 \\ 0 \end{pmatrix} = \frac{1}{2} u \quad (1.14a)$$

$$\left(\frac{1}{2}\sigma_3\right)d = \frac{1}{2} \begin{pmatrix} 1 & 0 \\ 0 & -1 \end{pmatrix} \cdot \begin{pmatrix} 0 \\ 1 \end{pmatrix} = -\frac{1}{2} \begin{pmatrix} 0 \\ 1 \end{pmatrix} = -\frac{1}{2} d \quad (1.14b)$$

Atunci, diferitele stari din SU(2) sunt caracterizate de $\left\langle \frac{1}{2}\sigma_3 \right\rangle$.

Matricile $\sigma_{\pm} \equiv \frac{1}{2}(\sigma_1 + i\sigma_2)$, actionind intr-un multiplet 2-dimensional genereaza transformari intre aceste stari care difera intre ele prin unitati de $\left\langle \frac{1}{2}\sigma_3 \right\rangle$.

Ca rezultat:

$$\sigma_+ \equiv \begin{pmatrix} 0 & 1 \\ 0 & 0 \end{pmatrix}, \quad \sigma_- \equiv \begin{pmatrix} 0 & 0 \\ 1 & 0 \end{pmatrix} \quad (1.15)$$

si atunci:

$$\sigma_+ u \equiv \begin{pmatrix} 0 & 1 \\ 0 & 0 \end{pmatrix} \begin{pmatrix} 1 \\ 0 \end{pmatrix} = 0 \quad (1.16a)$$

$$\sigma_+ d \equiv \begin{pmatrix} 0 & 1 \\ 0 & 0 \end{pmatrix} \begin{pmatrix} 0 \\ 1 \end{pmatrix} = \begin{pmatrix} 1 \\ 0 \end{pmatrix} = u \quad (1.16b)$$

$$\sigma_- u \equiv \begin{pmatrix} 0 & 0 \\ 1 & 0 \end{pmatrix} \begin{pmatrix} 1 \\ 0 \end{pmatrix} = \begin{pmatrix} 0 \\ 1 \end{pmatrix} = d \quad (1.16c)$$

$$\sigma_- d \equiv \begin{pmatrix} 0 & 0 \\ 1 & 0 \end{pmatrix} \begin{pmatrix} 0 \\ 1 \end{pmatrix} = 0 \quad (1.16d)$$

Operatorii σ_+ , σ_- sunt operatori de crestere, respectiv descrestere, si satisfac urmatoarele relatii de comutare:

$$\begin{aligned} \left[\frac{1}{2}\sigma_3, \sigma_+ \right] &= \pm \sigma_+, \\ [\sigma_+, \sigma_-] &= 2 \left(\frac{1}{2}\sigma_3 \right) \end{aligned} \quad (1.17)$$

Operatorul Casimir este o combinatie liniara de generatori astfel ales incit sa comute cu toti generatorii grupului.

$$C = \frac{1}{2}(\sigma_+ \sigma_- + \sigma_- \sigma_+) + \frac{1}{4}\sigma_3^2 \equiv \frac{1}{4}(\sigma_1^2 + \sigma_2^2 + \sigma_3^2) \equiv \left(\frac{1}{2}\sigma\right)^2 \quad (1.18)$$

Se poate generaliza de la cazul 2×2 la cazul $N \times N$ dimensional. Aceasta operatie se realizeaza inlocuind $\frac{1}{2}\sigma_{1,2,3}$ prin $S_{1,2,3}$ si σ_3 prin S_3 in toate relatiile de interes. Pentru ca aceste stari sunt fixate de valorile proprii ale lui S_3 , operatorul Casimir este S^2 .

Pentru ca $S^2 S_\pm = S_\pm S^2$, rezulta ca prin aplicarea operatorilor de crestere si descrestere S_\pm se genereaza noi stari care difera de cele de plecare cu 1 fata de $\langle S_3 \rangle$, dar avind aceiasi valoare a lui $\langle S^2 \rangle$. Atunci, diferitele reprezentari pot fi specificate de valorile proprii ale lui S^2 , pe cind sturile fara aceasta reprezentare sunt caracterizate de valoarea proprie S_3 .

Pentru o reprezentare $N = 2S + 1$ dimensională a lui $SU(2)$ (unde S este valoarea maxima a lui S_3), valoarea proprie pentru operatorul S^2 este $S(S+1)$.

Exemplu:

In cazul unei reprezentari 2 dimensionale, pentru care $S = 1/2$ (valoarea maxima a lui S_3), valoarea proprie a operatorului Casimir este $S(S+1) = \frac{3}{4}$.

In spatiul izospinului, izospinul este conservat daca este indeplinita invarianta la rotatii in izospatiu.

De exemplu, protonul si pionul pozitiv au aceiasi sarcina electrica, dar valori diferite pentru I_3 : (p : $I_3 = +1/2$; π^+ : $I_3 = +1$). Operatorul de sarcina este:

$$Q = \frac{1}{2}B + I_3 \quad (1.19)$$

si are aceiasi valoare pentru π^+ si p . Din relata de comutare pentru izospin:

$$[I_i, I_j] = i\epsilon_{ijk}J_k \quad (1.20a)$$

rezulta:

$$\begin{aligned} [Q, I_3] &= 0 \\ [Q, I_{1,2}] &\neq 0 \end{aligned} \quad (1.20b)$$

ceea ce conduce la concluzia ca operatorul de sarcina nu este invariant fata de izorotatii (axa 3 este speciala), si atunci sarcina violeaza conservarea izospinului. Mai general, interactiile electromagnetice violeaza conservarea izospinului.

In general, daca hamiltonianul comuta cu generatorii i_j ai unui grup de simetrie, adica:

$$[H, G_i] = 0 \quad (1.21)$$

pentru toti G_i ai grupului, atunci aceasta este o simetrie exacta a naturii.

Comentariu: Daca aceasta simetrie ar fi fost una exacta, atunci efectul sarcinii nu ar fi trebuit sa existe si masa neutronului ar trebui sa fie egala cu cea a protonului.

In cazul particular al grupului SU(2), reprezentarea conjugata este echivalenta cu reprezentarea directa, adica in SU(2) proprietatile se schimba la fel pentru particule si antiparticule.

In general, in SU(n) cu $n = 2, 3, 4, \dots$ vor exista reprezentari de baza cu dimensiuni n si n^* . In SU(2) acestea sunt 2 si 2^* , care sunt reprezentari echivalente, pentru ca se transforma in acelasi mod la rotatii. Pentru $N = 3, 4, \dots$ reprezentarile 3, 3^* , respectiv 4, 4^* nu sunt reprezentari echivalente.

Cele mai simple reprezentari ale generatorilor pentru grupul SU(n) sunt date de $(n^2 - 1)$ matrici patrate, $n \times n$, hermitice, cu urma nula. Astfel, in SU(2) acesti generatori sunt 3 matrici patrate 2×2 , care pot fi asociate, pentru problematica discutiei noastre, cu matricile Pauli.

Utilizind aceste matrici se poate defini o reprezentare $(n^2 - 1)$ dimensională in SU(n), cunoscuta ca reprezentare regulară. In SU(2), aceasta va fi o reprezentare vectorială (izovectorială) 3-dimensională care poate fi utilizată pentru pioni.

Ca exemplu, vom ilustra reprezentarea regulară in SU(2). Algebra generatorilor grupului este:

$$[S_i, S_j] = i\epsilon_{ijk} S_k \quad (1.22)$$

Alegind S_3 diagonală, se poate găsi o reprezentare matriceală 3×3 ($2^2 - 1$) dimensională, astfel:

$$S_3 = \begin{pmatrix} 1 & 0 & 0 \\ 0 & 0 & 0 \\ 0 & 0 & -1 \end{pmatrix}, \quad S_1 = \frac{1}{\sqrt{2}} \begin{pmatrix} 0 & -1 & 0 \\ -1 & 0 & 1 \\ 0 & 1 & 0 \end{pmatrix}, \quad \text{si} \quad S_2 = \frac{i}{\sqrt{2}} \begin{pmatrix} 0 & 1 & 1 \\ -1 & 0 & -1 \\ 0 & 1 & 0 \end{pmatrix} \quad (1.23)$$

reprezentare ce satisface algebra SU(2).

Baza in care acești generatori actionează constă din stările proprii cu valorile proprii $S_3 = +1, 0, -1$, adică, dacă consider că asociiez acestei baze izospinul, atunci stările de sarcină corespunzătoare vor fi $+1, 0, -1$, ale unor particule ce poate fi pionul.

Dacă algebra grupului este definită de:

$$[G_i, G_j] = ig_{ijk} G_k \quad (1.24)$$

cu M generatori G_i ($i = 1, 2, \dots, M$) și g_{ijk} constantele de structură ale grupului, atunci o reprezentare regulară are dimensiune egală cu numărul de generatori și este data de:

$$(S_k)_j = -ig_{ijk} \quad (1.25)$$

Pentru SU(2) cu 3 generatori se poate construi: $(S_k)_y = -i\varepsilon_{yk}$.

1.3 Extinderi la $SU(3)$, $SU(4)$, $SU(n)$

Extinderea de la SU(2) la SU(3) este imediata daca se extinde dubletul de baza la tripletul u , d , s si se investigheaza transformarile pentru:

$$\Phi = \begin{pmatrix} u \\ d \\ s \end{pmatrix} \quad (1.26)$$

astfel incit $\Phi' = U\Phi$, unde U este o matrice 3×3 unitara si de modul 1. Urmind produsele de la SU(2) se gaseste ca:

$$U = \exp\left(\frac{1}{2}i\vec{\theta}\hat{n} \cdot \vec{\lambda}\right) \quad (1.27)$$

unde λ_i sunt 8 matrici independente 3×3 hermitice si de urma nula, analoage matricilor σ_i din SU(2).

Forma canonica a acestor matrici (generatori) a fost data de Gell-Mann:

$$\begin{aligned} \lambda_1 &= \begin{pmatrix} 0 & 1 & 0 \\ 1 & 0 & 0 \\ 0 & 0 & 0 \end{pmatrix}, \quad \lambda_2 = \begin{pmatrix} 0 & -i & 0 \\ i & 0 & 0 \\ 0 & 0 & 0 \end{pmatrix}, \quad \lambda_3 = \begin{pmatrix} 1 & 0 & 0 \\ 0 & -1 & 0 \\ 0 & 0 & 0 \end{pmatrix}, \\ \lambda_4 &= \begin{pmatrix} 0 & 0 & 1 \\ 0 & 0 & 0 \\ 1 & 0 & 0 \end{pmatrix}, \quad \lambda_5 = \begin{pmatrix} 0 & 0 & -i \\ 0 & 0 & 0 \\ i & 0 & 0 \end{pmatrix}, \quad \lambda_6 = \begin{pmatrix} 0 & 0 & 0 \\ 0 & 0 & 1 \\ 0 & 1 & 0 \end{pmatrix}, \\ \lambda_7 &= \begin{pmatrix} 0 & 0 & 0 \\ 0 & 0 & -i \\ 0 & i & 0 \end{pmatrix}, \quad \lambda_8 = \frac{1}{\sqrt{3}} \begin{pmatrix} 1 & 0 & 0 \\ 0 & 1 & 0 \\ 0 & 0 & -2 \end{pmatrix} \end{aligned} \quad (1.28)$$

Matricile $\lambda_{1,2}$ au structura:

$$\begin{pmatrix} \sigma_{12} & 0 \\ \hline 0 & 0 \end{pmatrix} \quad (1.28'a)$$

si in consecinta SU(2) este un subgrup de izospin pentru SU(3). Matricile $\lambda_{6,7}$ sunt de asemenea componente ale unui subgrup numit *U-spin*:

$$\begin{pmatrix} 0 & 0 & 0 \\ 0 & \frac{1}{\sqrt{2}}\sigma_{12} \\ 0 & 0 \end{pmatrix} \quad (1.28'b)$$

iar $\lambda_{4,5}$ sunt asociate cu *V-spinul*.

In termenii tripletului de baza, acesti dubleti SU(2) sunt:

u, d asociati cu I-spin, d, s asociati cu *U-spin*, si u, s asociati cu *V-spin*.

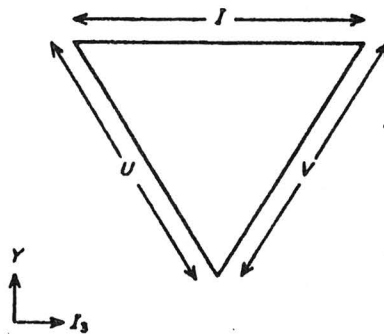


Fig. 1.3

Reprezentarea subgrupurilor SU(2) din SU(3): I , U si V sunt dubletii SU(2) din tripletul SU(3).

Operatorul $F_3 \equiv \frac{1}{2}\lambda_3$ este operatorul de izospin pentru ca actionind asupra stariilor u, d, s conduce la valorile proprii: $\pm \frac{1}{2}, 0$.

Operatorul de hipersarcina este:

$$Y = \frac{2}{3}F_8 \equiv \frac{2}{\sqrt{3}}\frac{1}{2}\lambda_8 \quad (1.29)$$

Relatiile de comutare si anticomutare pentru matricile $\frac{1}{2}\lambda_i$ pot fi obtinute prin calcule concrete, si acestea sunt:

$$\left[\frac{1}{2}\lambda_i, \frac{1}{2}\lambda_j \right] = if_{ijk} \left(\frac{1}{2}\lambda_k \right) \quad (1.30)$$

$$\left\{ \frac{1}{2}\lambda_i, \frac{1}{2}\lambda_j \right\} = \frac{1}{3}\delta_{ij} + d_{ijk} \left(\frac{1}{2}\lambda_k \right) \quad (1.31)$$

f_{ijk} si d_{ijk} fiind constantele de structura din SU(3).

Ca si in cazul lui SU(2), aceste rezultate pot fi generalizate definind operatorii $F_i \equiv \frac{1}{2} \lambda_i$, si care satisfac relatiile de comutare:

$$[F_i, F_j] = if_{ijk} F_k \quad \text{cu } i = 1, \dots, 8. \quad (1.30')$$

A studia complet grupul SU(3) consta in a gasi matricile $F_i (n \times n)$ care realizeaza transformarile:

$$\Phi \rightarrow \Phi' = (1 + i\vec{\theta} \cdot \vec{F})\Phi \quad (1.32)$$

Aceste stari formeaza multipletii n -dimensionali ai lui SU(3).

Operatorul invariant in SU(3) care comuta cu toti generatorii grupului (operatorul Casimir) este:

$$F^2 = \sum_{i=1}^8 F_i F_i = \frac{1}{2} \{I_+, I_-\} + I_3^2 + \frac{1}{2} \{U_+, U_-\} + \frac{1}{2} \{V_+, V_-\} + F_8^2 \quad (1.33)$$

unde:

$$\begin{aligned} I_{\pm} &\equiv F_1 \pm iF_2; & I_3 &\equiv F_3 \\ U_{\pm} &\equiv F_6 \pm iF_7; & Y &\equiv \frac{2}{\sqrt{3}} F_8 \\ V_{\pm} &\equiv F_4 \pm iF_5 \end{aligned}$$

Operatorii I_+ , V_+ si U_- sunt operatori de crestere pentru I_3 si permit definirea starii de ridicare maxima, adica acea stare Φ_{\max} pentru care:

$$I_+ \Phi_{\max} = V_+ \Phi_{\max} = U_- \Phi_{\max} = 0 \quad (1.34)$$

Pentru orice reprezentare din SU(3) se poate calcula operatorul Casimir actionind prin intermediul lui F^2 asupra starii Φ_{\max} .

Se poate verifica imediat ca:

$$\begin{aligned} [I_+, I_-] &= 2I_3, \\ [U_+, U_-] &= \frac{3}{2}Y - I_3 \equiv 2U_3, \\ [V_+, V_-] &= \frac{3}{2}Y + I_3 \equiv 2V_3 \end{aligned} \quad (1.35)$$

Pe de alta parte, din:

$$F^2 = \sum_{i=1}^8 F_i F_i = \frac{1}{2} \{I_+, I_-\} + I_3^2 + \frac{1}{2} \{U_+, U_-\} + \frac{1}{2} \{V_+, V_-\} + F_8^2, \quad \text{si utilizind relatia (1.34): } I_+ \Phi_{\max} = V_+ \Phi_{\max} = U_- \Phi_{\max} = 0, \text{ se obtine:}$$

$$\langle F^2 \rangle = \langle I_3 \rangle^2 + 2\langle I_3 \rangle + \frac{3}{4}Y^2 \quad (1.36)$$

In SU(3), reprezentarile sunt complet specificate prin (p, q) , p reprezentind dimensiunea covariantă, iar q dimensiunea contravariantă.

Starea maxima este caracterizată prin:

$$I_3 = \frac{1}{2}(p+q) \quad (1.37)$$

$$Y = \frac{1}{3}(p-q)$$

și expresia pentru F^2 (1.36) devine:

$$F^2 \equiv \frac{1}{2}(p^2 + pq + q^2) + (p+q) \quad (1.38)$$

In SU(3), valoarea operatorilor Casimir F^2 pentru unele reprezentări uzuale este listată în Tabelul 1.1 :

Tabelul 1.1

Valoarea operatorului Casimir pentru unele reprezentări uzuale

Dimensiunea	(p,q)	F^2
1	(0,0)	0
3	(1,0)	4/3
$\bar{3}$	(0,1)	4/3
8	(1,1)	3
6	(2,0)	13/3
10	(3,0)	6

SU(4)

Reprezentarea fundamentală în SU(4) este:

$$\Phi = \begin{pmatrix} c \\ u \\ s \\ d \end{pmatrix} \quad (1.39)$$

și transformările sunt: $\Phi' = U\Phi$ cu matricile U 4×4 și de modul 1. La fel ca și în SU(3), aceasta matrice de transformare poate fi scrisă ca:

$$U \equiv \exp\left(\frac{1}{2}i\vec{g}_i \cdot \hat{\lambda}\right) \quad (1.40)$$

unde λ_i sunt 15 matrici (generatori) 4×4 , independente, hermitice și de urmă nula.

Practic, alegerea celor 15 λ_i reprezinta o extrapolare a situatiei din SU(3). In consecinta λ_i , cu $i = 1, 2, \dots, 8$ sunt obtinute din generatorii grupului SU(3) prin adaugarea unei linii si a unei coloane:

$$\lambda_i = \begin{pmatrix} 0 & 0 & 0 & 0 \\ 0 & & & \\ 0 & \lambda_i|_{SU(3)} & & \\ 0 & & & \end{pmatrix} \text{ pentru } i = 1, 2, \dots, 8 \quad (1.41)$$

Urmatoarele 6 matrici nediagonale sunt analogul matricilor Pauli:

$$\begin{aligned} \lambda_9 &= \begin{pmatrix} 0 & 1 & 0 & 0 \\ 1 & 0 & 0 & 0 \\ 0 & 0 & 0 & 0 \\ 0 & 0 & 0 & 0 \end{pmatrix}, \quad \lambda_{10} = \begin{pmatrix} 0 & -i & 0 & 0 \\ i & 0 & 0 & 0 \\ 0 & 0 & 0 & 0 \\ 0 & 0 & 0 & 0 \end{pmatrix} \\ \lambda_{11} &= \begin{pmatrix} 0 & 0 & 1 & 0 \\ 0 & 0 & 0 & 0 \\ 1 & 0 & 0 & 0 \\ 0 & 0 & 0 & 0 \end{pmatrix}, \quad \lambda_{12} = \begin{pmatrix} 0 & 0 & -i & 0 \\ 0 & 0 & 0 & 0 \\ i & 0 & 0 & 0 \\ 0 & 0 & 0 & 0 \end{pmatrix} \\ \lambda_{13} &= \begin{pmatrix} 0 & 0 & 0 & 1 \\ 0 & 0 & 0 & 0 \\ 0 & 0 & 0 & 0 \\ 1 & 0 & 0 & 0 \end{pmatrix}, \quad \lambda_{14} = \begin{pmatrix} 0 & 0 & 0 & -i \\ 0 & 0 & 0 & 0 \\ 0 & 0 & 0 & 0 \\ i & 0 & 0 & 0 \end{pmatrix}. \end{aligned} \quad (1.42)$$

In sfirsit, λ_{15} este o matrice cu urma zero care se alege astfel incit cuarcul c sa se separe de cuarcii u, d , si s si sa fie un singlet in SU(3).

In consecinta,

$$\lambda_{15} = \frac{1}{\sqrt{6}} \begin{pmatrix} -3 & 0 & 0 & 0 \\ 0 & 1 & 0 & 0 \\ 0 & 0 & 1 & 0 \\ 0 & 0 & 0 & 1 \end{pmatrix} \quad (1.42)$$

Se poate defini charmul ca fiind valoarea proprie a matricii

$$C = \frac{1}{4} \left(1 + \sqrt{6} \lambda_{15} \right) \equiv \begin{pmatrix} 1 & 0 & 0 & 0 \\ 0 & 0 & 0 & 0 \\ 0 & 0 & 0 & 0 \\ 0 & 0 & 0 & 0 \end{pmatrix} \quad (1.43)$$

si in consecinta nu este generator SU(4).

1.4 Cuarci si structurile grupale pentru particule

Daca barionii sunt construiti din trei cuarci de valenta, atunci in mod natural cuarci trebuie sa aiba numarul barionic $1/3$. In consecinta, anticuarci au numarul barionic $-1/3$, si mezonii, constituiti dintr-un cuarc si un anticuarc au acest numar zero.

Separarea dupa izospin a particulelor necesita ca in structura sa existe doua tipuri distincte de cuarci. Astfel se poate explica de exemplu distinctia intre proton si neutron. Pentru a distinge intre hadronii fara/cu straneitate este necesar sa presupunem introducerea unui cuarc care sa poarte aceasta proprietate, si care impreuna cu dubletul de izospin formeaza reprezentarea de baza in SU(3).

Izospinul (de fapt componenta a treia a acestuia), numarul barionic si straneitatea sunt legate prin relatia:

$$Q = I_3 + \frac{B+S}{2} \equiv I_3 + \frac{Y}{2} \quad (1.44)$$

unde Y este hipersarcina. Relatia permite calculul sarcinii electrice (Q) a cuarcului sau a particulei. Introducerea altor proprietati distincte impune introducerea suplimentara de cuarci: cuarcul c pentru "charm", cuarcul b pentru "bottom" si t pentru "top", si corespunzator extinderea notiunii de hipersarcina:

$$Y = B + S + c + b + t \quad (1.44')$$

Tabelul 1.2
Cuarci si numerele lor cuantice

Cuarci si numerele lor cuantice						
Tipul de cuarc	u	d	s	c	b	t
Sarcina	$2/3$	$-1/3$	$-1/3$	$2/3$	$-1/3$	$2/3$
Izospinul I	$1/2$	$1/2$	0	0	0	0
I_3	$+1/2$	$-1/2$	0	0	0	0
Straneitate	0	0	-1	0	0	0
Charm	0	0	0	1	0	0
Bottom	0	0	0	0	-1	0
Top	0	0	0	0	0	$+1$
Numar barionic	$1/3$	$1/3$	$1/3$	$1/3$	$1/3$	$1/3$

SU(2)

Grupul SU(3)

SU(n) SU(4)

SU(5)

SU(6)

In aceasta acceptiune, tabloul complet al cuarcilor, al numerelor lor cuantice si al grupurilor de reprezentare este dat in Tabelul 1.2.

Barionii sunt stari *qqq*. Daca ne restrangem la cuarcii "usori", *u*, *d* si *s*, atunci sunt posibile sistemele de 3 cuarci prezentate in Tabelul 1.3.

Tabelul 1.3
Sisteme de trei cuarci

Continutul de cuarci	Simetria	Sarcina	Straneitatea	Exemple
<i>uuu</i>	S	2	0	Δ^{++}
<i>uud</i>	S,M	1	0	Δ^+, p
<i>udd</i>	S,M	0	0	Δ^0, n
<i>ddd</i>	S	-1	0	Δ^-
<i>uus</i>	S,M	1	-1	Σ^+*, Σ^+
<i>uds</i>	S,M,M,A	0	-1	$\Sigma^0*, \Sigma^0, \Lambda, \Lambda(1405)$
<i>dds</i>	S,M	-1	-1	Σ^*, Σ^-
<i>uss</i>	S,M	0	-2	Ξ^0*, Ξ^0
<i>dss</i>	S,M	-1	-2	Ξ^*, Ξ^-
<i>sss</i>	S	-1	-3	Ω^-

Exemple:

Cel mai simplu exemplu de aplicare a teoriei grupurilor este in $SU(2)$ pentru un sistem de doua particule.

In notatii de grupuri:

$$2 \otimes 2 = 3_S \oplus 1_A$$

si starile posibile de simetrie sunt listate in Tabelul 1.4:

Tabelul 1.4
Starile de simetrie pentru un sistem de doua particule in $SU(2)$

Starile de simetrie pentru doua obiecte (<i>u</i> si <i>d</i>) in $SU(2)$			
1	2	$1 \leftrightarrow 2$	
		simetrica	antisimetrica
<i>u</i>	<i>u</i>	uu	
<i>u</i>	<i>d</i>	$1/\sqrt{2}(ud + du)$	$1/\sqrt{2}(ud - du)$
<i>d</i>	<i>u</i>	$1/\sqrt{2}(ud + du)$	$1/\sqrt{2}(ud - du)$
<i>d</i>	<i>d</i>	dd	

In cazul unui sistem de 3 obiecte, sunt 8 combinatii posibile in SU(2), prezentate in Tabelul 1.5.

Tabelul 1.5
Starile de simetrie pentru un sistem de 3 particule in SU(2)

Consti- tuenti	u	udu	dud	d
	u	uud	ddu	d
	u	duu	udd	d
starile de si- metrie		$\frac{1}{\sqrt{3}}(uud + udu + duu)^{(1)}$	$\frac{1}{\sqrt{3}}(ddu + dud + udd)^{(1)}$	
	$uuu^{(1)}$	$\frac{1}{\sqrt{2}}(ud - du)u^{(2)}$	$\frac{1}{\sqrt{2}}(ud - du)d^{(2)}$	$ddd^{(1)}$
		$\frac{1}{\sqrt{3}}\left[\frac{(ud + du)u}{\sqrt{2}} - uud\sqrt{2}\right]^{(3)}$	$-\frac{1}{\sqrt{3}}\left[\frac{(ud + du)d}{\sqrt{2}} - duu\sqrt{2}\right]^{(3)}$	

Din analiza Tabelului 1.5, rezulta ca sunt posibile mai multe tipuri de simetrii:

- 4 combinatii complet simetrice, notate ¹⁾;
- 2 tipuri de simetrii mixte: una antisimetrica, notata ²⁾;
una simetrica la inversarea $1 \leftrightarrow 2$, dar avind o simetrie mai complicata la inversarea $1 \leftrightarrow 3$, sau $2 \leftrightarrow 3$, notata ³⁾.

Fizica care se ascunde aici este clara daca consideram cuplajul a trei particule, fiecare cu spin 1/2. Aceasta se realizeaza utilizind tehnica coeficientilor Clebsch-Gordon.

Cuplajul a doua particule conduce la stari de spin 0 (antisimetrice) si 1 (simetrice).

Situatia este summarizata in Tabelul 1.6

Tabelul 1.6
Cuplajul a doua particule in SU(2)

Din cuplajul a doua particule	Adaugarea celei de-a treia particule
(1 2) antisimetrica $\rightarrow S_{12} = 0$	$\otimes \frac{1}{2} \rightarrow S = \frac{1}{2}$ singura posibilitate
(1 2) simetrica $\rightarrow S_{12} = 1$	$\otimes \frac{1}{2} \rightarrow S = \frac{1}{2}$ si $S = \frac{3}{2}$

Pentru ca starea $S=1/2$ poate fi formata prin intermediul a doua cai, una cu $S_{I2} = 0$ (antisimetrica) si alta cu $S_{I2} = 1$ (simetrica), aceasta corespunde la doua tipuri distincte de simetrie mixta,²⁾ si³⁾ din tabelul 1.5.

Exercitiu

Aratati cu ajutorul coeficientilor Clebsch-Gordon ca starea $\begin{pmatrix} 3 & 1 \\ 2 & 2 \end{pmatrix}$ obtinuta din cuplajul a 3 fermioni in SU(2) are structura:

$$\begin{pmatrix} 3 & 1 \\ 2 & 2 \end{pmatrix} = \frac{1}{\sqrt{3}}(uud + udu + duu)$$

Indicatie:

Structura barionilor in SU(2):

$$\frac{1}{2} \otimes \frac{1}{2} = 1_S + 0_A$$

$$\left(\frac{1}{2} \otimes \frac{1}{2}\right) \otimes \frac{1}{2} = \left(1 \otimes \frac{1}{2}\right) \oplus \left(0 \otimes \frac{1}{2}\right) = \left(\frac{3}{2}_S + \frac{1}{2}_{M,S}\right) + \frac{1}{2}_{M,A}$$

sau

$$2 \otimes 2 \otimes 2 = (3 \otimes 2) \oplus (1 \otimes 2) = (4 \oplus 2) \oplus 2$$

Reprezentari SU(3)

Tabelul 1.7
Starile de simetrie pentru 2 obiecte in SU(3)

1	2	$1 \leftrightarrow 2$
u	u	uu
u	d	$\frac{1}{\sqrt{2}}(ud + du)$
d	u	$\frac{1}{\sqrt{2}}(ud + du)$
d	d	dd
u	s	$\frac{1}{\sqrt{2}}(us + su)$
s	u	$\frac{1}{\sqrt{2}}(us + su)$
d	s	$\frac{1}{\sqrt{2}}(ds + sd)$
s	d	$\frac{1}{\sqrt{2}}(ds + sd)$
s	s	ss
simetrice		antisimetrice

In cazul unui sistem de 2 particule, exista 9 combinatii posibile care pot fi separate in 6 simetrice si 3 antisimetrice conform Tabelului 1.7.

Adaugarea unei a treia particule (u , d sau s) la cele doua existente va conduce la 27 combinatii, care pot fi separate dupa simetrie dupa cum urmeaza:

$$\begin{aligned} 3 \otimes 3 \otimes 3 &= (3 \otimes 3) \otimes 3 = 9 \otimes 3 = (6 \oplus \bar{3}) \otimes 3 = \\ &= (6 \otimes 3) \oplus (\bar{3} \otimes 3) = (10_S \oplus 8_{M,S}) \oplus (8_{M,A} \oplus 1) \end{aligned} \quad (1.45)$$

Cele 10 stari simetrice sunt obtinute imediat prin extinderea celor din SU(2), iar starile de octet si singlet sunt tabelate.

Identificind d , u si s cu cele 3 tipuri de cuarci, stariile rezultante se identifica cu barionii, si sunt arataate in Tabelul 1.8.

Tabelul 1.8
Reprezentari cu simetrie mixta pentru starile de octet si singlet

$\Phi_{M,S}$	$\Phi_{M,A}$	Φ_A
$\frac{1}{\sqrt{6}}[(ud+du)u - 2uud]$	$\frac{1}{\sqrt{2}}(ud - du)u$	$\frac{1}{\sqrt{6}}[s(du - ud) + (usd - dsu) - (du - ud)s]$
$-\frac{1}{\sqrt{6}}[(ud+du)d - 2ddu]$	$\frac{1}{\sqrt{2}}(ud - du)d$	
$-\frac{1}{\sqrt{6}}[(us+su)u - 2uus]$	$\frac{1}{\sqrt{2}}(us - su)u$	
$\frac{1}{\sqrt{6}}\left[s\left(\frac{du+ud}{\sqrt{2}}\right) + \left(\frac{dsu+usd}{\sqrt{2}}\right) - 2\left(\frac{du+ud}{\sqrt{2}}\right)s\right]$	$\frac{1}{\sqrt{2}}\left[\frac{dsu+usd}{\sqrt{2}} - s\frac{ud+du}{\sqrt{2}}\right]$	
$\frac{1}{\sqrt{6}}[(ds+sd)d - 2dds]$	$\frac{1}{\sqrt{2}}(ds - sd)d$	
$\frac{1}{\sqrt{2}}\left[\frac{dsu-usd}{\sqrt{2}} + s\frac{du-ud}{\sqrt{2}}\right]$	$\frac{1}{\sqrt{2}}\left[s\left(\frac{du-ud}{\sqrt{2}}\right) + \left(\frac{usd-dsu}{\sqrt{2}}\right) - 2\left(\frac{du-ud}{\sqrt{2}}\right)s\right]$	
$-\frac{1}{\sqrt{6}}[(ds+sd)s - 2ssd]$	$\frac{1}{\sqrt{2}}(ds - sd)s$	
$-\frac{1}{\sqrt{6}}[(us+su)s - 2ssu]$	$\frac{1}{\sqrt{2}}(us - su)s$	

1.5 Spinul

1.5.1 Mezonii

Daca restringem discutia la cuarcii usori u , d , s , atunci exista noua combinatie $q\bar{q}$. Există noua combinatie pseudscalare si 9 vectoriale fundamentale reale. Observarea experimentală a nonetilor mezonici cu masa cea mai mică este o indicatie clara a existentei unei structuri $q\bar{q}$. Aceste afirmații rezulta clar din tabelul de mai jos:

Tabelul 1.9
Continutul de cuarci, sarcina, straneitatea si exemple

$q\bar{q}$	Sarcina	Straneitate	Exemple
$u\bar{d}$	+1	0	π^+
$d\bar{u}$	-1	0	π^-
$u\bar{u}$	0	0	π^0
$d\bar{d}$	0	0	η^0
$s\bar{s}$	0	0	$\eta^{\prime 0}$
$u\bar{s}$	+1	+1	K^+
$d\bar{s}$	0	+1	K^0
$\bar{u}s$	-1	-1	K^-
$\bar{d}s$	0	-1	$K^{\prime 0}$

In SU(2) există două combinații neutre: $u\bar{u}$ și $d\bar{d}$. Combinatia cu $I = 0$ este realizată ca $u\bar{u} + d\bar{d}$ pe cind $I = 1$ corespunde la $-u\bar{u} + d\bar{d}$. Ratiunea pentru aceste faze rezultă din aceea că dubletul $(\bar{d}, -\bar{u})$ se transformă ca (d, u) . Starea $I = 1$ cu $I_z = 0$ în $(u, d) \otimes (u, d)$ este:

$$|I = 1, I_z = 0\rangle = \frac{1}{\sqrt{2}}(ud + du) \quad (1.46a)$$

și atunci din $(u, d) \otimes (\bar{d}, -\bar{u})$ se obține

$$|I = 1, I_z = 0\rangle = \frac{1}{\sqrt{2}}(-u\bar{u} + d\bar{d}) \quad (1.46b)$$

Combinatia ortogonală cu $I = 0$ este chiar urmă:

$$\Phi^+ \Phi = \frac{1}{\sqrt{2}}(-u\bar{u} + d\bar{d}) \quad (1.47)$$

In SU(3), cuarci s si \bar{s} au izospinul $I = 0$ și $s\bar{s}$ poate intra în aceeași structură împreună cu combinația izoscalara $u\bar{u} + d\bar{d}$ dar nu poate intra în combinația

izovectoriala $d\bar{d} - u\bar{u}$. În consecință, singletul din SU(2) este generalizarea singletului cu $I = 0$ din SU(3), și, în consecință:

$$|1,1\rangle = \frac{1}{\sqrt{3}}(u\bar{u} + d\bar{d} + s\bar{s}) \quad (1.48)$$

Pentru ca combinatia izovectoriala nu contine perechea $s\bar{s}$, atunci:

$$|8,3\rangle = \frac{1}{\sqrt{2}}(d\bar{d} - u\bar{u}) \quad (1.49)$$

Cea de-a treia combinatie posibila intre $u\bar{u}$, $d\bar{d}$, $s\bar{s}$, ortogonală pe celelalte două, este:

$$|8,1\rangle = \frac{1}{\sqrt{6}}(u\bar{u} + d\bar{d} - 2s\bar{s}) \quad (1.50)$$

Identificarea acestor stari cu particule conduce la:

$$\begin{aligned} |8,3\rangle &\equiv \pi^0, \rho^0 \\ |8,1\rangle &\equiv \eta_8, \omega_8 \\ |1,1\rangle &\equiv \eta_1, \omega_1 \end{aligned} \quad (1.51)$$

Particulele reale asociate cu octetul și cu singletul trebuie să fie un amestec între stările respective.

Astfel, particulele reale ω și Φ presupuse ca un "amestec ideal", apar:

$$\Phi \equiv s\bar{s} = \frac{1}{\sqrt{3}}\omega_1 - \sqrt{\frac{2}{3}}\omega_8 \quad (1.52)$$

$$\omega \equiv \frac{1}{\sqrt{2}}(u\bar{u} + d\bar{d}) = \sqrt{\frac{1}{3}}\omega_1 + \sqrt{\frac{1}{3}}\omega_8 \quad (1.53)$$

Revenind la stările

$$\frac{1}{\sqrt{2}}|u\bar{d} \pm \bar{d}u\rangle$$

și tinind seama de ordonarea constituentilor, aceste două stări sunt definite după paritatea G , definită astfel:

$$G \equiv Ci\tau_2 \equiv C \begin{pmatrix} 0 & 1 \\ -1 & 0 \end{pmatrix} \quad (1.54)$$

unde C este operatia de conjugare de sarcina, pentru ca:

$$u \xrightarrow{G} \bar{d} \xrightarrow{G} -u$$

$$d \xrightarrow{G} -\bar{u} \xrightarrow{G} -d$$

Prin aplicarea operatorului G , se obtine:

$$G\Phi_s = G|u\bar{d} + \bar{d}u\rangle \frac{1}{\sqrt{2}} = \frac{1}{\sqrt{2}}(-\bar{d}u - u\bar{d}) \equiv -\Phi_s \quad (1.55)$$

$$G\Phi_A = G|u\bar{d} - \bar{d}u\rangle \frac{1}{\sqrt{2}} = \frac{1}{\sqrt{2}}(-\bar{d}u + u\bar{d}) \equiv +\Phi_A$$

De exemplu, pentru π^+ , care este particula cu structura simetrica, $G = -1$, în timp ce pentru ρ^+ , antisimetrică, $G = +1$.

În consecință, partenerii lor neutri sunt:

$$\pi^0: \quad \frac{1}{2}\left[\left(d\bar{d} - u\bar{u}\right) + \left(\bar{d}\bar{d} - u\bar{u}\right)\right] \rightarrow \Phi_s \quad (1.56a)$$

$$\rho^0: \quad \frac{1}{2}\left[\left(d\bar{d} - u\bar{u}\right) - \left(\bar{d}\bar{d} - u\bar{u}\right)\right] \rightarrow \Phi_A \quad (1.56b)$$

și stările proprii de conjugare de sarcină pentru acestea sunt:

$$C\Phi_s^0 = +\Phi_s^0$$

$$C\Phi_A^0 = -\Phi_A^0 \quad (1.57)$$

Cum putem construi mezonii?

Dacă am presupune că cuarcii și anticuarcii sunt fără spin, un sistem $q\bar{q}$ aflat în starea relativă S va forma un mezon cu spinul zero și paritate pozitivă, care în consecință este un mezon scalar. Dacă q și \bar{q} se gasesc într-o stare relativă P, atunci formează un mezon vectorial. Starea de undă relativă D va conduce la un mezon tensorial.

Este de așteptat că starea de undă S să fie cea cu energia cea mai joasă, și atunci pot considera că momentul mezonilor scalari va fi cel mai jos în spectru, cei vectoriali sunt de așteptat să fie mai grei ($J = 1$), iar mezonii în undă D, cu $J=2$, cu masa mai mare decât celelalte.

În natură se constată însă că mezonii vectoriali au masele comparabile sau chiar mai mici decât ale mezonilor scalari.

Mezonii cu masele cele mai mici sunt cei pseudoscalari ($J^P = 0^-$), și aceste stări nu ar putea fi obținute în mod natural dacă cuarcii ar fi constituente scalare. În consecință, soluția naturală care deriva de aici este de a considera cuarcii ca având spinul 1/2. În această fenomenologie, noile cu masa cea mai joasă sunt cei pseudoscalari și cei vectoriali, pentru care starea relativă a celor doi cuarci este starea de undă S, dar pentru care cuplajul spinilor conduce la spinul total 0, respectiv 1.

Functiile de undă de spin și proprietățile lor de simetrie sunt caracterizate de grupul SU(2) și pot fi găsite imediat din tabelul 1.9. Notatiilor u și d le putem face să

corespunda starile de spin $\uparrow\downarrow$. Observam existenta a trei functii de unda de triplet de spin (simetrica):

$$\chi_s: \uparrow\uparrow, \downarrow\downarrow, \frac{1}{\sqrt{2}}(\uparrow\downarrow + \downarrow\uparrow) \quad (1.58a)$$

si a uneia de singlet de spin (antisimetrica), χ_A :

$$\frac{1}{\sqrt{2}}(\uparrow\downarrow - \downarrow\uparrow) \quad (1.58b)$$

Combinind aceste doua functii de unda cu cele provenind din structura de cuarci din SU(3), Φ_A si Φ_s , vor exista urmatoarele posibilitati pentru functia de unda totala ($\Phi\chi$) rezultata din schimbarea indicilor:

- Stari simetrice: $\Phi_s\chi_s$; $\Phi_A\chi_A$
- Stari antisimetrice: $\Phi_s\chi_A$ si $\Phi_A\chi_s$

Apare in mod clar ca sistemele cu numerele cuantice 0^- , 1^- corespund combinatiilor total antisimetrice; pentru starile neutre, din conjugarea de sarcina avem:

$$\Phi_s\chi_A = |c=+, S=0\rangle \sim \pi^0 \quad (1.59a)$$

$$\Phi_A\chi_s = |c=-, S=1\rangle \sim \rho^0 \quad (1.59b)$$

Atunci, starile mezonice sunt:

$$\begin{aligned} \Phi_i^s \left| \frac{1}{\sqrt{2}}(\uparrow\downarrow - \downarrow\uparrow) \right\rangle \\ \Phi_i^A \left| \uparrow\uparrow \right\rangle, \quad \Phi_i^A \left| \frac{1}{\sqrt{2}}(\uparrow\downarrow + \downarrow\uparrow) \right\rangle, \quad \Phi_i^A \left| \downarrow\downarrow \right\rangle \end{aligned} \quad (1.60)$$

unde $i=0$ reprezinta starile de singlet, si $i=1, 2, \dots, 8$ pe cele de octet.

Reprezentarile $q\bar{q}$ au paritate G explicita, asa dupa cum se poate vedea din Tabelul 1.10.

Pentru toate aceste stari, relatia:

$$G = C \cdot (-1)^J$$

este verificata.

Tabelul 1.10
Reprezentarile mezonice cu structura de simetrie precizata

$\frac{1}{\sqrt{2}}(u\bar{s} \pm \bar{s}u)$	$K^+(K^{+*})$
$\frac{1}{\sqrt{2}}(d\bar{s} \pm \bar{s}d)$	$K^0(K^{0*})$
$-\frac{1}{\sqrt{2}}(s\bar{u} \pm \bar{u}s)$	$K^-(K^{-*})$
$-\frac{1}{\sqrt{2}}(s\bar{d} \pm \bar{d}s)$	$\bar{K}^0(\bar{K}^{0*})$
$\frac{1}{\sqrt{2}}(u\bar{d} \pm \bar{d}u)$	π^+, ρ^+
$-\frac{1}{\sqrt{2}}(d\bar{u} \pm \bar{u}d)$	π^-, ρ^-
$\frac{1}{2}[(d\bar{d} - u\bar{u}) \pm (d\bar{d} - u\bar{u})]$	π^0, ρ^0
$\frac{1}{2\sqrt{3}}[(u\bar{u} + d\bar{d} - 2s\bar{s}) \pm (u\bar{u} + d\bar{d} - 2s\bar{s})]$	$\eta_8^0(\omega_8^0)$
$\frac{1}{\sqrt{6}}[(u\bar{u} + d\bar{d} + s\bar{s}) \pm (u\bar{u} + d\bar{d} + s\bar{s})]$	$\eta_1^0(\omega_1^0)$

1.5.2 Barionii

Răminind în cadrul cuarcilor usori (u,s,d), în reprezentarea fundamentală $SU(3)$, și combinind cu $SU(2)$ pentru spin $(\uparrow\downarrow)$, în $SU(6) \supset SU(3) \otimes SU(2)$, se obține reprezentarea fundamentală, 6 dimensională: $u\uparrow, d\uparrow, s\uparrow, u\downarrow, d\downarrow, s\downarrow$.

Pentru mezonii 0^+ și 1^+ , nonetii din $SU(3)$ fac în acest caz parte din reprezentarea $SU(6)$: $6 \otimes \bar{6} = 35 \oplus 1$.

Produsul direct între două stări de simetrie este:

\otimes	S	M	A
S	S	M	A
M	M	S, M, A	M

(1.61)

În $SU(3)$, barionii sunt grupați în reprezentările 10_S , 8_M și 1_A , pe cind în $SU(2)$ aceste stări sunt 4_S și 2_M .

În $SU(6)$:

$$6 \otimes 6 \otimes 6 = 56 \oplus 70 \oplus 70 \oplus 20 \quad (1.62a)$$

$$(\square \otimes \square \otimes \square = \square \square \square \oplus \square \square \oplus \square \square \oplus \square) \quad (1.62b)$$

Descompunerea in subgrupuri $SU(3) \otimes SU(2)$ conduce la:

$$\begin{aligned} S: & \quad (10,4) \quad + (8,2) \quad = 56 \\ M: & \quad (10, 2) \quad + (8,4) \quad + (8,2) \quad + (1,2) \quad = 70 \\ A: & \quad \quad \quad + (8,2) \quad \quad \quad + (1,4) \quad = 20 \end{aligned} \quad (1.63)$$

Atunci, reprezentarile 56_S , $70_{M,S}$, $70_{M,A}$, si 20_A sunt singurele posibile.

Putem acum stabili functiile de unda in modelul cuarc pe baza continutului $SU(3)$ si $SU(2)$.

De exemplu, consideram $\Delta^+(uud)$ cu $S_z = 1/2$ ($\uparrow\uparrow\downarrow$). Functia de unda $SU(6)$ fiind total simetrica este:

$$\frac{1}{3} [u\uparrow u\uparrow d\downarrow + u\uparrow d\uparrow u\downarrow + d\uparrow u\uparrow u\downarrow + u\uparrow u\downarrow d\uparrow + u\uparrow d\downarrow u\uparrow + d\uparrow u\downarrow u\uparrow + u\downarrow u\uparrow d\uparrow + u\downarrow d\uparrow u\uparrow + d\downarrow u\uparrow u\uparrow] \quad (1.64)$$

Descompunerea in $SU(3) \otimes SU(2)$ este:

$$\frac{1}{\sqrt{3}} (uud + udu + duu) \frac{1}{\sqrt{3}} (\uparrow\uparrow\downarrow + \uparrow\downarrow\uparrow + \downarrow\uparrow\uparrow) \quad (1.65)$$

unde cuarcii sunt ordonati dupa pozitie, si sunt considerate toate combinatiile posibile.

Considerind un set complet de functii de unda in $SU(3)$: Φ , si toate combinatiile de spin in $SU(2)$, χ , se obtin urmatoarele posibilitati (Tabelul 1.11).

Daca reprezentarea 56 este cea mai joasa din spectrul barionilor, atunci corelarea pentru $J = 1/2$ cu octetul si nu cu decupletul barionic este naturala, la fel ca si absenta starii de singlet si a structurii de nonet pentru familia nucleonului.

Tabelul 1.11
Structurile de simetrie pentru multipletii barionici

S:	$\Phi_S \chi_S \equiv (10,4)$		
	$\frac{1}{\sqrt{2}} (\Phi_{M,S} \chi_{M,S} + \Phi_{M,A} \chi_{M,A}) \equiv (8,2)$		
M _S	$\Phi_S \chi_{M,S} \equiv (10,2)$	M _A	$\Phi_S \chi_{M,A} \equiv (10,2)$
	$\Phi_{M,S} \chi_S \equiv (8,4)$		$\Phi_{M,A} \chi_S \equiv (8,4)$
	$\frac{1}{\sqrt{2}} (-\Phi_{M,S} \chi_{M,S} + \Phi_{M,A} \chi_{M,A}) \equiv (8,2)$		
	$\frac{1}{\sqrt{2}} (\Phi_{M,S} \chi_{M,A} + \Phi_{M,A} \chi_{M,S}) \equiv (8,2)$		
	$\Phi_A \chi_{M,A} \equiv (1,2)$		$\Phi_A \chi_{M,S} \equiv (1,2)$
A:	$\Phi_A \chi_S \equiv (1,4)$		
	$\frac{1}{\sqrt{2}} (\Phi_{M,S} \chi_{M,A} - \Phi_{M,A} \chi_{M,S}) \equiv (8,2)$		

Pentru starile cu masa in regiunea 1500 - 1700 MeV, paritatea negativa sugereaza apartenenta la 70-plet. Acestea sunt:

$$\begin{aligned}
 & (10,2) \frac{1}{2}^+ \cdot \frac{3}{2}^-; \\
 & (8,2) \frac{1}{2}^+ \cdot \frac{3}{2}^+; \\
 & (8,4) \frac{1}{2}^+ \cdot \frac{3}{2}^- \cdot \frac{5}{2}^+; \\
 & (1,2) \frac{1}{2}^+ \cdot \frac{3}{2}^+;
 \end{aligned} \tag{1.66}$$

1.6 Excitatii orbitale pentru barioni si mezoni

Presupunem o stare hadronica formata de simplul cuplaj intre spinii cuarcilor constituenti, cu spinul S . Considerind cuarcii intr-un potential, de exemplu intr-un potential de oscilator, atunci putem presupune aparitia unui moment cinetic L .

Conservarea momentului cinetic, adica invarianta la rotatie in spatiul 3-dimensional necesita o structura grupala de tip O(3).

Intr-un potential, structura grupala de simetrie totala este atunci $SU(6) \otimes O(3)$. Cuplajul $L \oplus S = J$ genereaza momentul cinetic total al sistemului, care se identifica cu hadronul format.

Există o regula care afirma că pentru starile barionice există numai reprezentari de tipul $(SU(6) \otimes O(3))_{\text{simetrice}}$. Aceasta este aşa numitul model de cuarc "simetric" pentru starile $SU(6) \otimes O(3)$.

Multipletul 56 este cel mai jos, și semnul paritatii este alternat la creșterea în masă.

Presupunem că toți cei 3 cuarci sunt în stare $(1S)$ într-un potențial de oscilator armonic. O stare $O(3)$ poate fi reprezentată prin:

$$(1s)(1s)(1s) \equiv (1s)^3 \rightarrow L^P = 0^+ \quad (1.67)$$

și este evident că aceasta este o stare simetrică la inversarea oricărei perechi din cele trei. În acest exemplu, starea $(1s)^3$ în $O(3)$ este simetrică S, și starea corespunzătoare din $SU(6)$ este de asemenea S (facind parte din multipletul 56), și atunci aceasta este cea mai joasă stare a spectrului.

Multipletul 56 conține atât barionii A cu $S = 3/2$, cât și N cu $S = 1/2$. Pentru că starea fundamentală are $L = 0$ și atunci prin convenție paritate pozitivă, starile cele mai joase ale spectrului cu $SU(3)$ cu spin sunt:

$$10: J^P = \frac{3}{2}^+ \quad (1.68a)$$

$$8: J^P = \frac{1}{2}^+ \quad (1.68b)$$

Acestea sunt consecințe directe ale restricțiilor, pentru starile $(SU(6) \otimes O(3))_{\text{simetrice}}$.

Dacă unul dintre cuarci este excitat din starea $(1s)$ în starea $(1p)$, atunci starile $O(3)$ devin

$$(1s)(1s)(1p) = (1s)^2(1p) \rightarrow L^P = 1^- \quad (1.69)$$

Pentru că una dintre stări diferează de cealaltă, se pot forma atât stări simetrice ca și stări $O(3)$ cu simetrie mixtă.

Exemplu:

Pentru o stare $(1s)^3$, funcția de undă ce exprimă această stare este $\Psi(\vec{r}_1, \vec{r}_2, \vec{r}_3)$, cu coordonatele $\vec{r}_1, \vec{r}_2, \vec{r}_3$ măsurate fata de origine și simetrice.

O stare $(1s)^2(1p)$ poate fi descrisă de funcțiile de undă $r_1\Psi_1$, $r_2\Psi_2$ sau $r_3\Psi_3$ depinzând de care cuarc este excitat, starile de simetrie mixtă fiind atunci:

$$\Psi_{M,A} \equiv \frac{1}{\sqrt{2}}(\vec{r}_1 - \vec{r}_2)\Psi \quad (1.70a)$$

$$\Psi_{M,S} \equiv \frac{1}{\sqrt{6}}(\vec{r}_1 + \vec{r}_2 - 2\vec{r}_3)\Psi \quad (1.70b)$$

iar cea simetrică este :

$$\Psi_S \equiv \frac{1}{\sqrt{3}} (\vec{r}_1 + \vec{r}_2 + \vec{r}_3) \Psi . \quad (1.70c)$$

Cu un singur cuarc excitat, nu se pot forma funcții de undă antisimetrice.

Dacă alegem originea sistemului de coordonate să coincidă cu centrul de masă pentru sistemul de 3 cuarci, atunci: $\vec{r}_1 + \vec{r}_2 + \vec{r}_3 \equiv 0$, și starea Ψ_1 este zero, existând numai stări de simetrie mixtă pentru primul nivel excitat.

Multipletul 70 conține ca subgrupuri SU(3) reprezentările 1, 8 și 10 cu spin total 1/2, și de asemenea un octet cu spinul 3/2.

Combinarea spinilor $S = 1/2$ sau $3/2$ cu $L = 1$ conduce la stările finale cu parități negative:

$$\begin{aligned} {}^2 10: & \left(S = \frac{1}{2}\right) \oplus (L = 1) \rightarrow J^P = \frac{1}{2}^-, \frac{3}{2}^- \\ {}^2 8: & \left(S = \frac{1}{2}\right) \oplus (L = 1) \rightarrow J^P = \frac{1}{2}^-, \frac{3}{2}^+ \\ {}^4 8: & \left(S = \frac{1}{2}\right) \oplus (L = 1) \rightarrow J^P = \frac{1}{2}^+, \frac{3}{2}^-, \frac{5}{2}^+ \\ {}^2 1: & \left(S = \frac{1}{2}\right) \oplus (L = 1) \rightarrow J^P = \frac{1}{2}^-, \frac{3}{2}^+ \end{aligned} \quad (1.71)$$

Reprezentările de singlet sunt:

$$\begin{aligned} \frac{1}{2}^-: & S_{01} - \Lambda(1405) \\ \frac{3}{2}^-: & D_{01} - \Lambda(1520) \end{aligned} \quad (1.72)$$

În modelul de oscilator armonic pentru un sistem de trei cuarci, celele stări excitate sunt degenerate. De exemplu, starea $(1s)^2(1d)$ este degenerată cu stările $(1s)(2s)$ și $(1s)(1p)^2$. Asignarea rezonanțelor barionice la multipletii din SU(6) este dificilă și controversată. Versiunea acceptată în "Review of Particle Properties" este prezentată în Tab. 1.12.

Tabelul 1.12
Aaignarea barionilor la multipleti SU(6) (dupa "Review of Particle Properties")

J^P	(B, L_N^P)	S	Membrii octetului			Singleti
$\frac{1}{2}^+$	(56, 0_0^+)	1/2	$N(939)$	$A(1116)$	$\Sigma(1193)$	$\Xi(1318)$
$\frac{1}{2}^+$	(56, 0_2^+)	1/2	$N(1440)$	$A(1600)$	$\Sigma(1660)$?
$\frac{1}{2}^-$	(70, 1_1^-)	1/2	$N(1535)$	$A(1670)$	$\Sigma(1620)$?
$\frac{3}{2}^-$	(70, 1_1^-)	1/2	$N(1520)$	$A(1690)$	$\Sigma(1670)$	$\Xi(1820)$
$\frac{1}{2}^-$	(70, 1_1^-)	3/2	$N(1650)$	(1800)	(1750)	?
$\frac{3}{2}^-$	(70, 1_1^-)	3/2	$N(1700)$?	?	?
$\frac{5}{2}^-$	(70, 1_1^-)	3/2	$N(1675)$	$A(1830)$	$\Sigma(1775)$?
$\frac{1}{2}^+$	(70, 0_2^+)	1/2	$N(1710)$	(1810)	(1880)	?
$\frac{3}{2}^+$	(56, 2_2^+)	1/2	$N(1720)$	(1890)	?	?
$\frac{5}{2}^+$	(56, 2_2^+)	1/2	$N(1680)$	$A(1820)$	$\Sigma(1915)$	$\Xi(2030)$
$\frac{7}{2}^-$	(70, 3_3^-)	1/2	$N(2190)$?	?	?
$\frac{9}{2}^-$	(70, 3_3^-)	3/2	$N(2250)$?	?	?
$\frac{9}{2}^+$	(56, 4_4^+)	1/2	$N(2220)$	$A(2350)$?	?
<hr/>						
Membrii decupletului						
$\frac{3}{2}^+$	(56, 0_0^+)	3/2	$\Delta(1232)$	$\Sigma(1385)$	$\Xi(1530)$	$\Omega(1672)$
$\frac{1}{2}^-$	(70, 1_1^-)	1/2	$\Delta(1620)$?	?	?
$\frac{3}{2}^-$	(70, 1_1^-)	1/2	$\Delta(1700)$?	?	?
$\frac{5}{2}^+$	(56, 2_2^+)	3/2	$\Delta(1905)$?	?	?
$\frac{7}{2}^+$	(56, 2_2^+)	3/2	$\Delta(1950)$	$\Sigma(2030)$?	?
$\frac{11}{2}^+$	(56, 4_4^+)	3/2	$\Delta(2420)$?	?	?

Pentru sisteme legate de fermioni-antifermioni, starea proprie de paritate este:

$$P = (-1)^{L+1} \quad (1.73a)$$

Conjugarea de sarcina aplicata la sisteme neutre, caracterizate prin moment orbital L si spin total S este:

$$C = (-1)^{L+S} \quad (1.73b)$$

Aplicate la sisteme $q\bar{q}$ pentru sisteme cu $S = 1$, $CP = +$, iar pentru $S = 0$, $CP = -$.

In cazul sistemelor cu $S = 0$, momentul cinetic total este egal cu momentul cinetic orbital, $J = L$, si atunci:

$$C = (-1)^J = -P \quad (1.73')$$

astfel ca secventa de numere cuantice normale este:

$$J^{PC} = 0^+, 1^+, 2^+, \dots \quad (1.74)$$

Nu pot fi formate stari caracterizate prin $CP = -$ cu:

$$P = (-1)^J = -C \quad (1.73'')$$

astfel ca $J^{PC} = 0^-, 1^-, 2^-$ reprezinta o secventa de stari "exotice" nenaturale in modelul cuarc comun.

Un tabel complet de combinatii posibile ale numerelor cuantice $J = \vec{L} + \vec{S}$, P si C pentru mezoni ca stari $q\bar{q}$ in modelul cuarc este indicat mai jos (Tabelul 1.13),

Tabelul 1.13
 J^{PC} pentru mezonii $q\bar{q}$

	$S = 0$	$S = 1$
$L = 0$	0^+	1^-
$L = 1$	1^+	0^{++}
		1^{++}
		2^{++}
$L = 2$	2^+	1^-
		2^-
		3^-

Nonetii cu $L = 0$ sunt bine stabiliți. Situația devine ambiguă pentru cei cu $L \geq 1$. O asigurare posibilă este prezentată în Capitolul 4.

In cazul sistemelor $q\bar{q}$ si qqq , pentru $L > 0$, se manifestă interacția spin - orbită intre cuarci. In esenta, in cazul in care consideram ca interacția se reduce numai la interacții biparticula, vor apărea termeni de tipul:

$$\sum_{i,j} L_i S_j \quad (1.75)$$

care conduce la separari între stările de masa caracterizate de aceleasi valori pentru L si S , dar cu J diferit.

Pentru ca $\vec{J} = \vec{L} \oplus \vec{S}$, atunci:

$$2L \cdot S \equiv J^2 - L^2 - S^2 \quad (1.76)$$

și atunci:

$$2\langle L \cdot S \rangle_{J,L,S} = J(J+1) - L(L+1) - S(S+1) \quad (1.77)$$

Marimea $\langle L \cdot S \rangle$, pentru cîteva stări de interes, este prezentată în Tabelul 1.14.

Tabelul 1.14
Valoarea lui $\langle L \cdot S \rangle$

J^{PC}	0^{++}	1^{++}	1^{+-}	2^{++}
$\langle L \cdot S \rangle$	-2	-1	0	1

In lipsa introducerii unui potential de interacție nu se poate fixa despicarea spin-orbită, dar considerind-o să avea valoarea Δm , se pot face o serie întreagă de predicții. Astfel:

$$\Delta m(2^{++} - 1^{++}) = 2\Delta m(1^{++} - 0^{++}) \quad (1.78)$$

Considerind numai contribuția datorată interacției spin - orbită, pentru stările discutate se poate observa în mare cea indicată în Tab. 1.14.

Existența în plus a interacției $\vec{S} \cdot \vec{S}$ poate modifica această succesiune de cuarci, astfel că situația experimentală poate deveni confuză. Este posibil ca pentru mezonii cu $J = 1$ stările reale să se aseze astfel:

$$0^{++}: a_0 (980); \quad 1^{+-}: b_1 (1275), \quad 1^{++}: a_1 (1260); \quad 2^{++}: a_2 (1320) \quad (1.79a)$$

iar pentru cei cu $J = 0$ să avem:

$$0^{++}: f_0 (975); \quad 1^{+-}: h_1 (1170), \quad 1^{++}: f_1 (1285); \quad 2^{++}: f_2 (1270). \quad (1.79b)$$

Dacă interacțiile $\vec{S} \cdot \vec{S}$ și $\vec{L} \cdot \vec{S}$ provin din schimbul unui gluon vectorial între cuarci, atunci potentialul care generează aceste interacții va avea o formă similară cu cel de la atomul de hidrogen, pe baza QED care se realizează prin schimbul unui foton.

In acest exemplu care ne este familiar, interacția $\vec{S} \cdot \vec{S}$ este o interacție de contact, de forma

$$S_i \cdot S_j \cdot \delta(\vec{r}_i - \vec{r}_j) \quad (1.80a)$$

și o alta formă tensorială:

$$S_i \cdot S_j - \frac{3S_i r S_j r}{|r|^2} \quad (1.80b)$$

In unda S:

$$\langle S_i \cdot S_j \rangle = 3 \langle S_i \cdot r S_j \cdot r / r^2 \rangle, \quad (1.81)$$

și în continuare contribuția să este absență, despicarea hiperfină datorindu-se numai termenului de contact.

Dar, pe de altă parte, interacția de contact contribuie numai în unda S, datorită prezentei funcției $\delta(r)$, caci, pentru momente cinetice mai mari funcția de undă este proporțională cu $|r|^2$, și practic efectul întărișării de contact spin - spin este zero.

Din punct de vedere spectroscopic, la limită, pentru mezonii cu $L = 0$, interacția tensorială este mică sau absență, iar contribuția interacției de contact apare numai în unda S.

Pentru barionii cu $L = 1$, situația este mult mai complicată. În SU(3), barionii se gasesc în reprezentările 1, 8 și 10. Starile "8" sunt de masă mai mare decât "8", datorită forței de interacție $\vec{S} \cdot \vec{S}$ care urcă starile cu spinul $S = 3/2$ față de cele cu $S = 1/2$, similar cu situația care apare în cazul despicării între Δ și N pentru cazul $L = 0$.

Să exemplificăm cu cazul **multipletului 70** din SU(6), cu $L = 1$. Forțele $\vec{S} \cdot \vec{S}$ produc despicărea starilor cu $S = 1/2$ și $3/2$. Separarea starilor 1, 8 și 10 este rezultatul unei forțe dependente de izospin. Dacă aceste forțe se manifestă între doi cuarci i și j, fiind de formă $F_i \cdot F_j$ (unde F_{ij} sunt generatorii grupului SU(3)), atunci $F_i \cdot F_j$ poate fi calculată analog produsului între operatorii de spin, astfel încât:

$$2 \langle F_{(i)} \cdot F_{(j)} \rangle \equiv F_{(i+j)}^2 - F_{(i)}^2 - F_{(j)}^2 \quad (1.82)$$

Valorile proprii pentru F^2 sunt operatorii Casimir ai grupului, și depind de reprezentare. Pentru cazurile de interes practic, valorile proprii sunt:

$$1; F^2 = 0; \quad 8; F^2 = 3; \quad 10; F^2 = 6,$$

pe cind pentru cuarci în reprezentarea 3, $F^2 = 4/3$.

Atunci, valorile așteptate pentru $2 \langle F_{(i)} \cdot F_{(j)} \rangle$ sunt:

$$- \text{pentru reprezentarea de singlet 1:} \quad 0 - \frac{8}{3} \equiv -\frac{8}{3}$$

- pentru reprezentarea de singlet in multipletul de octet **8**:

$$3 - \frac{8}{3} \equiv \frac{1}{3} \quad (1.83)$$

- pentru reprezentarea de singlet in reprezentarea **10**:

$$6 - \frac{8}{3} \equiv \frac{10}{3}$$

indicind o distanta egala intre despicarile dintre reprezentarile 1, 8 si 10.

In Fig. 1.4 sunt reprezentate aceste despicari

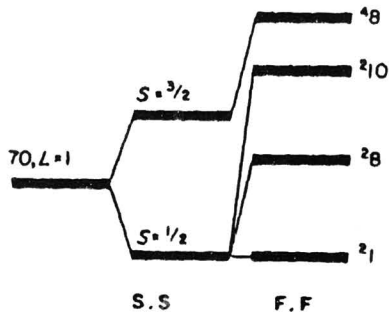


Fig. 1.4

- Multipletul barionic 70, cu $L = 1$. Sunt aratate despicarile datorate interacțiilor FF și SS

Masele medii pentru acesti multipleti sunt:

1: 1570 MeV

2: 1680 MeV

10: 1800 MeV

evaluate considerind ca Λ și Δ aparțin multipletelor 8 și 10 și adăugind circa 150 MeV pentru fiecare unitate de straneitate prin comparație cu valoarea masei pentru singletul Λ .

Interacția de izospin a fost introdusa ad-hoc. O cale naturală de a realiza acest lucru este de a apela la analogia cu interacția de contact din cazul spinului.

In cadrul fiecarui multiplet, despicarea dintre starile cu valori diferite pentru J se datoreste fortelelor de intearctie spin - orbita ($L \cdot S$). De exemplu, in cazul octetului cu spinul $3/2$, (48), despicarile spin-orbita sunt listate in Tabelul 1.15.

Tabelul 1.15

Despicarile spin orbita pentru octetul cu $S = 3/2$

J	$5/2$	$3/2$	$1/2$
$$	3	-2	-5

si acest tabel ne sugereaza ordonarea starilor:

$$\frac{1}{2}^-, \frac{3}{2}^-, \frac{5}{2}^- \quad (1.84)$$

Experimental, ordinea pare a fi alta, starile $\frac{1}{2}^-$, $\frac{3}{2}^-$ sunt comparabile si chiar mai grele decit $\frac{5}{2}^-$ (vezi Tabelul 1.16)

Tabelul 1.16
Masele starilor din multipletul 70

70	$J = 1/2^-$	$S = 3/2$	$N(1650)$	$A(1800)$	$\Sigma(1750)$	$\Xi(?)$
	$J = 3/2^-$	$S = 3/2$	$N(1700)$	$A(?)$	$\Sigma(?)$	$\Xi(?)$
	$J = 5/2^-$	$S = 3/2$	$N(16750)$	$A(1725)$	$\Sigma(1775)$	$\Xi(?)$

O situatie similara apare si in **cazul multipletului 28** , in care $\frac{1}{2}^-$ ar putea fi mai joase decit $\frac{3}{2}^-$ (Tabelul 1.17)

Tabelul 1.17
Masele starilor din multipletul 28 .

70	$J = 1/2^-$	$S = 3/2$	$N(1535)$	$A(1670)$	$\Sigma(1620)$	$\Xi(?)$
	$J = 3/2^-$	$S = 3/2$	$N(1520)$	$A(1690)$	$\Sigma(1670)$	$\Xi(?)$

Pentru singletul 21 , barionul cu spinul total $\frac{3}{2}^-$ este mai greu decit cel cu spinul $\frac{1}{2}^-$: este vorba despre $A(1520)$ si $A(1405)$.

O explicatie posibila a acestei situatii ar putea fi gasita daca se considera ca partea de intractie tensoriala in cazul barionilor este data de o forta de tipul:

$$F_i F_j - \frac{3F_i r F_j r}{r^2} \quad (1.85)$$

si nu este neglijabila.

In particular, starile cu acelasi J si apartinind multipletilor 28 si 48 trebuie sa se amestecce.

Capitolul 2

Culoarea si despicarile hiperfine in spectroscopia hadronilor

2.1 Singletul de culoare pentru hadroni

Daca cuarcii poarta numarul cuantic de culoare, atunci reprezentarea de triplet exprima reprezentarea pentru tripletul fundamental al grupului de culoare SU(3). Structurile formate de mai multi cuarci / anticuarci vor apartine din punctul de vedere al culorii unor reprezentari asa cum este aratat mai jos:

q :	3
$q\bar{q}$:	$3 \otimes \bar{3} = 1 \oplus 8$
qq :	$3 \otimes 3 = 6 \oplus \bar{3}$
$qq\bar{q}$:	$3 \otimes 3 \otimes \bar{3} = 3 \oplus \bar{6} \oplus \bar{3} \oplus 15$
qqq :	$3 \otimes 3 \otimes \bar{3} = 1 \oplus 8 \oplus 8 \oplus 10$

Dintre aceste combinatii, numai $q\bar{q}$ si qqq contin singleti SU(3) de culoare. Daca numai singletii de culoare au masele cele mai joase, atunci este usor de inteles ca numai $q\bar{q}$ si qqq apar in natura, pe cind q , qq , $qq\bar{q}$... nu apar.

Analogie cu fizica nucleara: Pentru doi nucleoni, in functie numai de izospin, combinatiile posibile sunt: nn , pp , np . Dintre acestea, starile np trebuie

antisimetrate. Dintre cele 4 stari posibile, numai combinatia izoscalara de singlet SU(3), deuteronul, este legata. Energia de legatura a acestei stari si cresterea de energie pentru starile $I=1$ reprezinta o consecinta a schimbului de izospin intre nucleoni. Analog, schimbul de gluoni colorati intre cuarci apare intre starile cele mai joase de singleti colorati.

Interactiile electromagnetice in hidrogen sunt proportionale cu sarcinile e_1 si e_2 ale electronului si protonului. Acest produs este negativ, si hidrogenul este legat. Prin analogie, schimbul de izospin intre doi fermioni este:

$$H_i \sim \vec{I}_1 \cdot \vec{I}_2 \quad (2.1)$$

Valoarea medie a izospinului a doua particule, de izospin I_1 si I_2 , rezultata din interacție este:

$$2\vec{I}_1 \cdot \vec{I}_2 \equiv (\vec{I}_1 + \vec{I}_2)^2 - \vec{I}_1^2 - \vec{I}_2^2 \quad (2.2)$$

deci:

$$\begin{aligned} \langle 2\vec{I}_1 \vec{I}_2 \rangle &\equiv I_{tot}(I_{tot}+1) - I_1(I_1+1) - I_2(I_2+1) = \\ &= I_{tot}(I_{tot}+1) - \frac{1}{2} \frac{3}{2} - \frac{1}{2} \frac{3}{2} = \\ &= \begin{cases} -3/2, & I_{tot} = 0 \\ +1/2, & I_{tot} = 1 \end{cases} \end{aligned} \quad (2.3)$$

In consecinta, pentru izospin zero, starea rezultanta este legata, pe cind pentru izospin unu starile sunt nelegate, si atunci starea cu izospin zero are masa mai joasa decit tripletul.

Prin similitudine, sa consideram schimbul de gluoni colorati intre cuarci colorati. In acest caz, interacția are forma:

$$H_i \sim \vec{F}_1 \vec{F}_2 \quad (2.4)$$

cu $\vec{F} \equiv \vec{\lambda}/2$, matricea de culoare in SU(3), si folosind relatia (2.2), rezulta:

$$\langle 2\vec{F}_1 \vec{F}_2 \rangle \equiv \lambda_{tot}^2 - \lambda_q^2 - \lambda_{\bar{q}}^2 \equiv \lambda_{tot}^2 - 2\lambda_q^2 \equiv \lambda_{tot}^2 - \frac{2}{3} \quad (2.5)$$

unde λ^2 este operatorul Casimir pentru SU(3), si are valoarea 4/3 pentru 3 sau $\bar{3}$, si valoarea 0 pentru singlet.

Pentru un sistem de N corpuri, hamiltonianul de interacție este:

$$H_i = \sum_{i,j} \vec{F}_i \vec{F}_j \quad (2.6)$$

si in acest caz:

$$\langle H_i \rangle \rightarrow \lambda_{tot}^2 - \frac{4}{3} N \quad (2.7)$$

Energia totala a sistemului de cuarci va avea o contributie provenind din masele cuarcilor, si o contributie din potentialul de schimb de gluoni:

$$E = Nm_q + V\langle \vec{F}_1 \vec{F}_2 \rangle \quad (2.8)$$

Atunci, introducind valorile asteptate ale interactiei provenind din gluoni colorati:

$$E = N\left(m_q - \frac{4}{3}V\right) + V\lambda_{tot}^2 \quad (2.9)$$

Daca $m_q \rightarrow \infty$ atunci $V = \frac{3}{4}m_q \xrightarrow{m_q \rightarrow \infty} \infty$, deci masa si potentialul cresc la fel.

Cerinta ca starea legata cuarc - anticuarc sa fie cu masa finita taie cresterea energiei datorita masei cuarcilor.

Energia sistemului provenind numai din culoare este, in consecinta

$$E = \frac{3}{4}\lambda_{tot}^2 m_q \quad (2.10)$$

unde λ_{tot}^2 este zero pentru starea de singlet de culoare si mai mare decit zero pentru orice stare de culoare diferita.

In consecinta, pentru orice stare care nu este de singlet de culoare, energia creste cu cresterea masei, si tinde la infinit pentru $m_q \rightarrow \infty$.

Revenind la scrierea potentialului, modificam forma acestuia la:

$$V = \frac{3}{4}(m_q - \varepsilon)$$

Atunci, energia sistemului va fi:

$$E = N\varepsilon + \frac{3}{4}\lambda_{tot}^2(m_q - \varepsilon) \quad (2.11)$$

In acest mod, starile care nu sunt singleti de culoare vor avea energie infinita, dar singletii de culoare vor avea energiile:

$$E = N\varepsilon \quad (2.12)$$

Fenomenologic, cantitatile ε sunt energiile efective ale cuarcilor in hadron ca "singleti de culoare", sau "masele efective" ale cuarcilor.

Se poate estimă că:

$$\varepsilon_{u,d} \cong 350 \text{ MeV}; \quad \varepsilon_S \cong 500 \text{ MeV}; \quad \varepsilon_C \cong 1500 \text{ MeV}.$$

2.2 Explicarea despicarilor hiperfine ale hadronilor cu ajutorul proprietatilor de culoare

In hadronii care sunt singleti de culoare, tinind seama de valoarea maselor efective pentru cuarci, (ε), este de asteptat ca masele mezonilor usori sunt de ordinul 700 MeV, iar masele barionilor de ordinul 1050 MeV, cind sistemele sunt in stare fundamentala.

In hidrogen, dependenta de spin sau magnetica a interactiei intre fermionii constituenti genereaza o contributie dependenta de spin la energia starii, si care se manifesta sub forma unei despicari hiperfine $^3S_1 - ^1S_0$ a nivelelor.

In mod analog, includerea culorii in schimbul cuarc - gluon vectorial genereaza pentru despicarea spin - spin pentru mezoni si barioni un semn corect al despicarii, si o relativa corectitudine a valorii absolute a acesteia.

Mai intii vom arata ca in absenta culorii, despicarile relative pentru barioni si mezoni sunt nesatisfacatoare.

Pentru mezoni, interactivitatea dependenta de spin are forma:

$$\langle 2\vec{S}_1\vec{S}_2 \rangle = S(S+1) - \frac{3}{2} \quad (2.13)$$

deci:

$$\Delta E_M = \begin{cases} -\Delta/2 & \text{pt. } 1^- \\ -3\Delta/2 & \text{pt. } 0^+ \end{cases} \quad (2.14)$$

si atunci diferența in masa intre mezonii pseudoscalari si vectoriali este 2Δ , unde Δ are dimensiuni de energie, a carei marime nu poate fi specificata in lipsa introducerii unui potential de interactivitate.

Pentru barioni,

$$\begin{aligned} \langle 2(\vec{S}_1\vec{S}_2 + \vec{S}_1\vec{S}_3 + \vec{S}_2\vec{S}_3) \rangle &= \left\langle (\vec{S}_1 + \vec{S}_2 + \vec{S}_3)^2 - \vec{S}_1^2 - \vec{S}_2^2 - \vec{S}_3^2 \right\rangle = \\ &= S(S+1) - \frac{9}{4} \end{aligned} \quad (2.15)$$

deci:

$$\Delta E_M = \begin{cases} +3\Delta/2 & \text{pt. } \frac{3}{2}^- \\ -3\Delta/2 & \text{pt. } \frac{1}{2}^+ \end{cases} \quad (2.16)$$

si atunci diferența in masa intre barionii $\frac{3}{2}^-$ si $\frac{1}{2}^+$ este pozitiva si are valoarea 3Δ .

Empiric, despigarile barionilor sunt mai mici decit cele ale mezonilor!

A doua problema este semnul despigarii.

In hidrogen, interacția electromagnetică dipol - dipol se scrie:

$$H_{ss} \sim \vec{\mu}_1 \cdot \vec{\mu}_2 \sim -\frac{e_1 e_2}{m_1 m_2} \vec{S}_1 \vec{S}_2 \quad (2.17)$$

Aici, e_1 și e_2 sunt sarcinile electrice ale particulelor, și atunci acestea dă taria cuplajului. Pentru două particule identice, $e_1 e_2 = e_1^2 > 0$, pe cind pentru particula - antiparticula $e_1 e_2 = -e_1^2 < 0$.

Atunci, din (2.17) rezultă:

$$E_{ss} \sim -\vec{S}_1 \vec{S}_2 \quad \text{pentru particula - particula} \quad (2.18)$$

și:

$$E_{ss} \sim +\vec{S}_1 \vec{S}_2 \quad \text{pentru particula - antiparticula.} \quad (2.19)$$

Pentru acest motiv, 3S_1 are energie mai mare decit 1S_0 în hidrogen.

Prin analogie, interacția mediata de gluoni are forma:

$$E_{ss} \sim -\vec{S}_1 \vec{S}_2 \quad \text{pentru } q - q \quad (2.20)$$

și

$$E_{ss} \sim +\vec{S}_1 \vec{S}_2 \quad \text{pentru } q - \bar{q} \quad (2.21)$$

și atunci pentru mezoni semnul este corect, dar pentru barioni se prezice că stările $\not{\chi}_2^+$ sunt mai grele decit stările $\not{\chi}_2^-$.

Culoarea: Cuplajul între cuarci colorați într-un singlet barionic de culoare are același semn ca între cuarci și anticuarci colorați, și reprezintă jumătate din marime, corespunzătoare perechii $q\bar{q}$

In cazul culorii, se introduce prin analogie "sarcina de culoare" în schimbul de gluoni colorați.

Valoarea așteptată este:

$$2\vec{F}_1 \cdot \vec{F}_2 = \left(\vec{F}_1 + \vec{F}_2 \right)^2 - \vec{F}_1^2 - \vec{F}_2^2 \quad (2.22)$$

Totii $q\bar{q}$ trebuie să fie în stare de singlet de culoare

qq trebuie să fie în stare de antitriplet de culoare $\mathbf{3}$, astfel încit din combinarea cu al treilea cuarc să ajungă la singlet de culoare

Pentru mezoni în starea de singlet de culoare

$$\left\langle 2\vec{F}_1 \cdot \vec{F}_2 \right\rangle = 0 - \lambda_{(3)}^2 - \lambda_{(\bar{3})}^2 = -2\lambda^2 = -\frac{8}{3} \quad (2.23)$$

unde λ^2 este operatorul Casimir pentru un triplet sau antitriplet.

Pentru barioni:

$$\left\langle 2\vec{F}_1 \cdot \vec{F}_2 \right\rangle = \lambda^2 - \lambda_{(3)}^2 - \lambda_{(\bar{3})}^2 = -\lambda^2 = -\frac{4}{3} \quad (2.24)$$

si atunci:

$$\left\langle 2\vec{F}_1 \cdot \vec{F}_2 \right\rangle_{qq \text{ barioni}} = \frac{1}{2} \left\langle 2\vec{F}_1 \cdot \vec{F}_2 \right\rangle_{q\bar{q} \text{ mezoni}} \quad (2.25)$$

In consecinta, apar urmatoarele efecte datorate colorii:

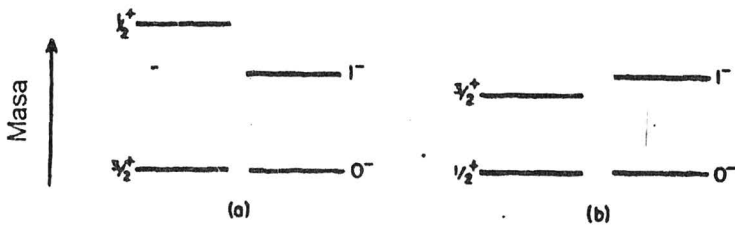


Fig. 2.1

Despicarea hiperfina a mezonilor si barionilor
 a) fara introducerea numarului cuantic de culoare
 b) cu numar cuantic de culoare

Capitolul 3

Despicarile maselor hadronilor

3.1 Despicarile in masa dependente de spin pentru barioni

3.1.1 Sistemul $\Delta - N$

Rezonantele Δ si N sunt formate din 3 cuarci usori si daca toti sunt in unda S , spinii lor conduc la valorile $3/2$ si $1/2$. Separarea in masa de circa 300 MeV intre Δ si N ($m_\Delta \cong 1230 - 1234$ MeV, $\Gamma = 115 - 125$ MeV, $m_N \cong 939$ MeV) este interpretata ca o manifestare hiperfina in QCD. Aceasta despicare este proportionala cu produsul momentelor magnetice si culorii dintre cuarci:

$$H_{ss} = -c^2 \sum_{j \neq k} F_j F_k S_j S_k / \varepsilon_j \varepsilon_k \quad (3.1)$$

unde F , S sunt operatori de culoare in $SU(3)$ si de spin in $SU(2)$, ε este o masura a masei efective pentru cuarc si c^2 este o constanta pozitiva de dimensiune $masa^3$, si care este o masura a acoperirii functiilor de unda.

In cele ce urmeaza, aceasta constanta, care da numai valoarea absoluta a despicarii, nu va intra in discutie. Daca consideram ca masa absoluta a cuarcelor u si d este aceiasi, $\varepsilon_u = \varepsilon_d$, atunci despicarea in masa a sistemului $\Delta - N$ este:

$$H_{ss} = \frac{2c^2}{3\varepsilon_a^2} (S_1 S_2 + S_2 S_3 + S_1 S_3) \quad (3.2)$$

pentru ca $\langle F_i F_j \rangle = -\frac{2}{3}$ pentru orice j si k .

Sunt posibile unele artificii de calcul, astfel ca:

$$S_1 S_2 + S_2 S_3 + S_1 S_3 \equiv \frac{1}{2} \left\{ (S_1 + S_2 + S_3)^2 - S_1^2 - S_2^2 - S_3^2 \right\} \quad (3.3)$$

si atunci, ca valori proprii:

$$\begin{aligned} S_1 S_2 + S_2 S_3 + S_1 S_3 &\equiv \frac{1}{2} \left\{ S_t (S_t + 1) - \frac{9}{4} \right\} = \\ &= \begin{cases} \frac{3}{4} & pt. \quad S_t = \frac{3}{2} \\ -\frac{3}{4} & pt. \quad S_t = \frac{1}{2} \end{cases} \end{aligned} \quad (3.4)$$

unde S_t este spinul total al sistemului de 3 cuarci, cu valoarea proprie $3/2$ daca toti spinii sunt paraleli, si respectiv $1/2$ daca 2 sunt paraleli si unul antiparalel. In consecinta, despicarea va fi:

$$\Delta E_M \equiv \langle H_{ss} \rangle_{\frac{3}{2}^+ - \frac{1}{2}^+} = \frac{c^2}{\varepsilon_u^2} \equiv \mu_u^2 \quad (3.5)$$

3.1.2 Sistemul $\Lambda - \Sigma - \Sigma^*$

Daca inlocuim in Δ unul dintre cuarci u sau d (notat q) cu unul straniu, cu charm sau bottom, notat i , atunci vom ajunge la sistemul $\Sigma_i^*(iqq)$. Pentru ca nucleonul are cuarci impeccheati, prin aceiasi inlocuire vom obtine si sistemele $\Sigma_i(iqq)$ si $\Lambda_i(iqq)$, dupa cum izospinul este $I = 1$ sau $I = 0$.

Particularizind pentru $i = s$ (cuarcul straniu), vom obtine:

$\Sigma^*(sqq)$ (1385)

$\Sigma(sqq)$.(1993)

$\Lambda(sqq)$ (1115)

Efectul substitutiei se manifesta in: cresterea masei sistemului final cu circa 150 - 200 MeV, descresterea despicarii in masa intre $3/2^+$ si $1/2^+$ si ruperea simetriei dupa izospin in Λ ($I = 0$) si Σ ($I = 1$).

Empiric, accasta substitutie poate fi inteleasa astfel:

$$\varepsilon_S \approx \varepsilon_u + (\varepsilon_S - \varepsilon_u) \equiv \varepsilon_u + (150 \div 200) \text{ MeV}$$

Cresterea masei efective duce la cresterea masei sistemului, simultan cu scaderea despicarii intre stari. Pe de alta parte, perechea nestranie in Λ trebuie sa fie in starea de spin 0, pe cind in Σ , in starea cu $S_{qq} = 1$, si incluzind cuplajul acestui perechi cu cuarcul straniu $\vec{S}_{qq} + \vec{S}_s$ apare evidenta diferenta in masa intre cele doua sisteme.

Intr-o tratare cantitativa, vom introduce termenul de hamiltonian corespunzator:

$$H_{ss} = - \sum_{j \neq k} F_j F_k S_j S_k \mu_j \mu_k \quad (3.6)$$

Pentru ca $\langle F_i F_j \rangle = -\frac{2}{3}$ pentru orice pereche de cuarci, rezulta:

$$H_{ss} = + \frac{2}{3} \sum_{j \neq k} \mu_j \mu_k S_j S_k \quad (3.7)$$

sau, considerind ca un cuarc este i ($= s, c, b, \dots$), si ceilalți doi cuarci sunt u sau d , rezulta:

$$\frac{3}{2} H_{ss} = \mu_q^2 S_2 S_3 + \mu_q \mu_i S_i (S_2 + S_3) \quad (3.8)$$

Putem evalua podusele dintre operatorii de spin. Astfel:

$$S_{tot} \equiv S_1 + S_2 + S_3 \quad \Rightarrow$$

$$S_{tot}^2 \equiv S_1^2 + (S_2 + S_3)^2 + 2S_1(S_2 + S_3) \quad \Rightarrow$$

$$2S_1(S_2 + S_3) = S_{tot}^2 - S_1^2 - S_2^2$$

deci:

$$\langle 2S_1(S_2 + S_3) \rangle = S_{tot}(S_{tot} + 1) - \frac{1}{2} \left(\frac{1}{2} + 1 \right) - S_d(S_d + 1) \quad (3.9)$$

unde S_{tot} și S_d reprezintă spinul total pentru sistemele de 3 cuarci, respectiv de dicuarci:

$$S_d^2 \equiv (S_2 + S_3)^2 = S_2^2 + S_3^2 + 2S_2 S_3 \quad (3.10)$$

si atunci, ca valori proprii:

$$2 \langle S_2 S_3 \rangle = S_d(S_d + 1) - 2 \frac{1}{2} \left(\frac{1}{2} + 1 \right) \quad (3.11)$$

Despicarea energetică spin - spin este:

$$\frac{3}{2} E_{ss} = \mu_q^2 \left(\frac{S_d(S_d + 1)}{2} - \frac{3}{4} \right) + \frac{1}{2} \mu_q \mu_i \left(S_{tot}(S_{tot} + 1) + S_d(S_d + 1) - \frac{3}{4} \right) \quad (3.12)$$

In aceasta relație, $S_{tot} \equiv 1/2$ pentru Σ și A , respectiv $3/2$ pentru Σ^* , iar $S_d = 0$ pentru A și 1 pentru Σ și Σ^* . In consecință obținem:

$$\text{- pentru } \Sigma^*: \quad \frac{3}{2} E_{ss} = \frac{1}{4} \mu_q^2 + \frac{1}{2} \mu_q \mu_i \quad (3.13)$$

$$\text{- pentru } \Sigma: \quad \frac{3}{2} E_{ss} = \frac{1}{4} \mu_q^2 - \mu_q \mu_i \quad (3.14)$$

$$\text{- pentru } \Lambda: \quad \frac{3}{2} E_{ss} = -\frac{3}{4} \mu_q^2 \quad (3.15)$$

Diferentele in masa intre stari sunt:

$$\begin{aligned} \Sigma_i^* - \Sigma_i &= \mu_q \mu_i \\ \Sigma_i^* - \Lambda_i &= \frac{2}{3} \mu_q (\mu_q - \mu_i) \end{aligned} \quad (3.16)$$

sau:

$$\frac{2\Sigma_i^* + \Sigma_i}{3} - \Lambda_i = \frac{2}{3} \mu_q^2 \quad (3.17)$$

relatie care este independenta de cuarcul greu i .

In cazul in care $i = q$, regasim relatia anterioara $\Delta - N = \mu_q^2$.

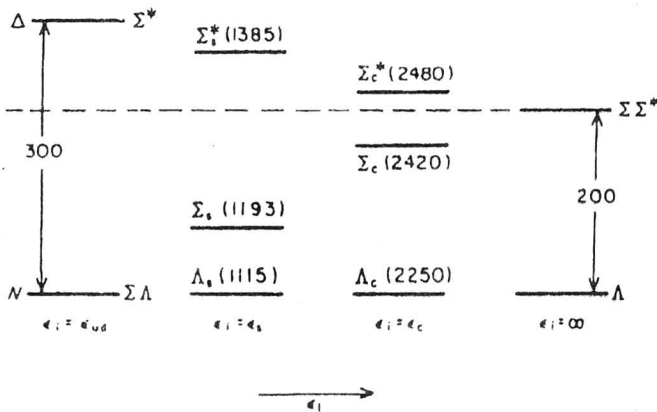


Figura 3.1

Despicarea hiperfina in sistemul $(\Lambda \Sigma^*)$ la cresterea lui ϵ , de la simetria exacta ($\epsilon_l = \epsilon_{u,d}$) la infinit

Putem verifica rezultatele obtinute, comparindu-le cu masele cunoscute. Astfel:

$$\frac{\Sigma_i^* - \Sigma_i}{\Delta - N} = \frac{\mu_i}{\mu_q} \quad (3.18)$$

$$\frac{\Sigma_i^* - \Sigma_i}{\Delta - N} = \frac{3}{2} \frac{\mu_q - \mu_i}{\mu_q} \quad (3.19)$$

$$\frac{2\Sigma_i^* + \Sigma_i}{3} - \Lambda_i = \frac{2}{3} (\Delta - N) \text{ independent de } i \quad (3.20)$$

$$(\text{experimental}, \frac{2 \cdot 1385 + 1189}{3} - 1115 = \frac{2}{3}(1232 - 938), \text{ adica } 171 \text{ MeV} \cong 196 \text{ MeV})$$

Daca $\varepsilon_s \approx \varepsilon_q$, atunci Σ_s si Λ_s sunt degenerate. Pentru $\varepsilon_c \rightarrow \infty$, Σ_c si Σ_c^* vor deveni degenerate.

O reprezentare diagramatica a despigarilor hiperfine ale sistemului $(\Lambda \Sigma \Sigma^*)$, functie de cresterea ε_i este reprezentata simbolic in Figura 3.1

Pentru cuarcii usori u si d , $\varepsilon_u = \frac{m_{\text{proton}}}{2.79} \cong 336 \text{ MeV}$.

Din raportul intre $\frac{\Sigma_q^* - \Sigma_q}{\Delta - N}$, rezulta ca $\varepsilon_s \approx \frac{3}{2} \varepsilon_u = 510 \text{ MeV}$, si in

consecinta:

$$\varepsilon_s - \varepsilon_u \approx 170 \text{ MeV}$$

Aceasta diferență in masa este comparabila cu cea dintre membrii decupletului barionic, care presupun inlocuirea succesiva a cîte unui cuarc usor cu unul straniu:

$$\begin{array}{ccccccc} \Delta^- & - & \Sigma^{*-} & - & \Xi^{*-} & - & \Omega^- \\ (1232 & - & 1385 & - & 1530 & - & 1673) \text{ MeV} \\ 153 & & 145 & & 143 & & \end{array}$$

In SU(3), raportul intre momentele magnetice pentru Λ si p , in ipoteza maselor egale, conduce la:

$$\frac{\mu(\Lambda)}{\mu(p)} = -\frac{1}{3} \quad (\text{experimental, } \cong -0.24 \pm 0.02).$$

Introducerea diferențelor de masa intre cuarci are ca rezultat:

$$\frac{\mu(\Lambda)}{\mu(p)} = -\frac{1}{3} \frac{\varepsilon_q}{\varepsilon_s} = -\frac{1}{3} \frac{336}{570} = -0.22 \quad (3.21)$$

valoare care se apropie foarte mult de valorile experimentale.

Introducerea charmului conduce la sistemele Σ_c , Σ_c^* si Λ_c ; relatiile anterioare raman valabile, dar implica $\varepsilon_c \geq 1.5 \text{ GeV}$. Obtinem:

$$\begin{aligned} \frac{\varepsilon_u}{\varepsilon_c} &\approx \frac{336}{1500} \approx \frac{1}{5} \\ \frac{\varepsilon_s}{\varepsilon_c} &\approx \frac{510}{1500} \approx \frac{1}{3} \end{aligned} \quad (3.22)$$

si in consecinta

$$\frac{\mu_u}{\mu_c} \approx 5, \quad \frac{\mu_s}{\mu_c} \approx 3 \quad (3.23)$$

conducind la:

$$(\Sigma^* - \Sigma)_c = \frac{\mu_c}{\mu_s} (\Sigma^* - \Sigma)_s \approx 60 \text{ MeV} \quad (3.24)$$

$$(\Sigma - \Lambda)_c = \frac{\mu_u - \mu_c}{\mu_u - \mu_s} (\Sigma - \Lambda)_s = \frac{1 - \frac{\mu_c}{\mu_u}}{1 - \frac{\mu_s}{\mu_u}} (\Sigma - \Lambda)_s \approx 2(\Sigma - \Lambda)_s \approx 160 \text{ MeV}$$

$$(3.25)$$

3.1.3 Sistemul Ξ - Ξ^* si Ω

Analiza sistemelor Ξ^* , Ξ presupune inlocuirea a doi cuarci usori cu doi grei: straniu cu charm sau bottom. Daca $i \neq s$, atunci sistemele Ξ_i^* , Ξ^i ($i \neq q$) reprezinta barionii familiari $\Xi_s(1320)$ si respectiv $\Xi_s^*(1530)$, pe cind $i = c$ conduce la Ξ_{cc} si Ξ_{cc}^* .

Prin aplicarea relatiilor anterioare (3.16), rezulta:

$$\Sigma_i^* - \Sigma_i = \mu_q \mu_i \quad (3.26)$$

cu inversarea u (d) $\rightarrow s$ sau $q \rightarrow i$ se obtine:

$$\Xi_i^* - \Xi_i = \mu_i \mu_q \equiv \Sigma_i^* - \Sigma_i \quad (3.27)$$

pentru $i = s, c, b, \dots$ relatie care este extrem de interesanta pentru ca naiv ne-am fi asteptat ca despicarile sa scada pe masura ce cuarcul i este mai greu.

Intreaga fenomenologie dezvoltata aici privitoare la masele barionilor poate fi summarizata pentru octetul si decupletul barionilor.

Pentru aceasta vom porni de la masele cuarcilor u sau d (notate ε), iar cresterea de masa pentru cuarc straniu este Δm ; daca g este proportionala cu constanta de cuplaj cuarc - gluon, din ecuatiiile:

$$(3.4) \quad S_1 S_2 + S_2 S_3 + S_1 S_3 \equiv \frac{1}{2} \left\{ S_t (S_t + 1) - \frac{9}{4} \right\} \text{ cu } S_t = 3/2 \text{ sau } 1/2,$$

$$(3.5) \quad \Delta E = \frac{c^2}{\varepsilon^2} = \mu^2$$

$$(3.13 - 3.15) \quad \frac{3}{2} \Delta E \begin{pmatrix} \Sigma^* \\ \Sigma \\ \Lambda \end{pmatrix} = \mu_q^2 \begin{pmatrix} \frac{1}{4} \\ \frac{1}{4} \\ -\frac{3}{4} \end{pmatrix} + \mu_q \mu_i \begin{pmatrix} \frac{1}{2} \\ -1 \\ 0 \end{pmatrix}$$

$$(3.27) \quad \Xi_i^* - \Xi_i = \Sigma_i^* - \Sigma_i = \mu_i \mu_q$$

se obtin rezultatele grupate in Tabelul 3.1.

Tabelul 3.1
Masele pentru membrii octetului si decupletului

	8	10
$N:$	$3\varepsilon - g^2 \mu_q^2$	$\Delta: 3\varepsilon + g^2 \mu_q^2$
$\Sigma^0:$	$3\varepsilon + \Delta m - \frac{1}{3}g^2(4\mu_q\mu_s - \mu_q^2)$	$\Sigma^*: 3\varepsilon + \Delta m + \frac{1}{3}g^2(2\mu_q\mu_s + \mu_q^2)$
$A:$	$3\varepsilon + \Delta m - \frac{1}{3}g^2 \mu_q^2$	$\Xi^*: 3\varepsilon + \Delta m + \frac{1}{3}g^2(2\mu_q\mu_s + \mu_s^2)$
$\Xi:$	$3\varepsilon + 2\Delta m - \frac{1}{3}g^2(4\mu_q\mu_s - \mu_q^2)$	$\Omega: 3\varepsilon + 3\Delta m + g^2 \mu_q^2$

Daca $\Delta m = 0$, si $g = 0$, atunci toate particulele din cei doi multipleti vor fi degenerate, cu valoarea de $3\varepsilon \approx 1100$ MeV, ca in SU(6) (vezi Fig. 3.2 a).

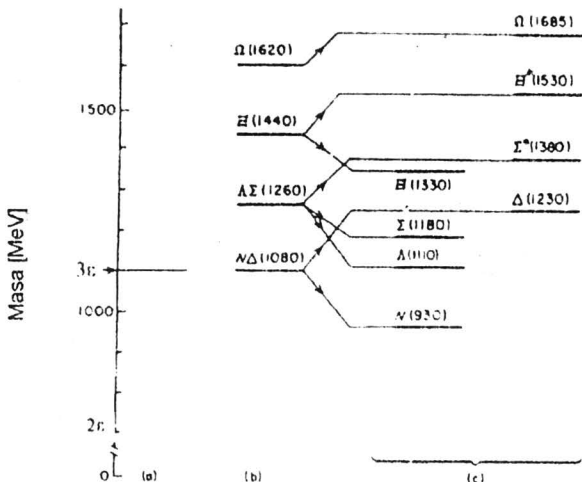


Figura 3.2

- (a) Despicarea de masa in 56-pletul cu $L = 0$
- (b) Masa cuarecului stranim conduce la despicari in patru nivele care difera prin straneitate
- (c) despicarea hiperfina separa nivelele $J = 3/2$ din reprezentarea **10** de cele $J = 1/2$ din reprezentarea **8**, si de asemenea Σ^0 de A

Introducerea diferenței în masa între cuarcii cu/sări strânsitate conduce la o separare între (N, Δ) , $(\Lambda, \Sigma, \Sigma^*)$, (Ξ, Ξ^*) și Ω de cîte $\Delta m \approx 170$ MeV (Fig. 3.2 b). Despicarea spin - spin apare atunci cînd $g \neq 0$. Marimea acestora depinde de o serie de alegeri pentru parametri. Dacă $\varepsilon_{u,d} \approx 350$ MeV, atunci $\varepsilon_c \approx 530 - 540$ MeV, și în consecință

$$\frac{\mu_s}{\mu_{u,d}} = \frac{\varepsilon_{u,d}}{\varepsilon_s} \approx \frac{2}{3} \quad (3.28)$$

Alegind pentru simplitate $g^2 \mu_u^2 = 150$ MeV și $g^2 \mu_s^2 = 66$ MeV, atunci $g^2 \mu_s \mu_{u,d} = 100$ MeV, adică stările de decuplet cu spinul $3/2^+$ sunt urecate în timp ce octetul cu spinul $1/2^+$ este coborit în masa și în plus apare despicarea între Ξ și Λ (Fig. 3.2 c).

Rezultatele prezentate pot fi îmbunătățite într-o tratare mai amanuntită. Astfel, hamiltonianul care exprimă interacția tare și electromagnetică are forma:

$$H = L(r_1, r_2, \dots) + \sum \left(m_i + \frac{p_i^2}{2m_i} + \dots \right) + \sum_{ij} (\alpha Q_i Q_j + k \alpha_s) S_i \quad (3.29)$$

Interacția universală între cuarci este exprimată prin pozitii, mase și impulsuri. S_{ij} este interacția de două corpuri, avind o dependență de tip coulombian. Interacția electromagnetică are ponderea data de constanta de cuplaj α și este proporțională cu sarcinile Q_i și Q_j ale cuarcilor, în timp ce interacția tare este introdusă prin schimbul de gluoni cu culoare, cu constanta de cuplaj $k \alpha_s$ (cu $k = -4/3$ pentru mezoni și $-2/3$ pentru barioni). Neglijind corectiile relativiste, interacția S_{ij} are forma:

$$\begin{aligned} S_{ij} = & \frac{1}{|r|} - \frac{1}{2m_i m_j} \left(\frac{\vec{p}_i \vec{p}_j}{|r|} + \frac{\vec{r}(\vec{r} p_i) p_j}{|r|^3} \right) - \frac{\pi}{2} \delta^3(\vec{r}) \left(\frac{1}{m_i^2} - \frac{1}{m_j^2} + \frac{6 \vec{S}_i \vec{S}_j}{3m_i m_j} \right) - \\ & - \frac{1}{2|r|^3} \left(\frac{1}{m_i^2} (\vec{r} \times \vec{p}_i) \cdot \vec{S}_j - \frac{1}{m_j^2} (\vec{r} \times \vec{p}_j) \cdot \vec{S}_i + \right. \\ & \left. + \frac{1}{m_i m_j} \left[2(\vec{r} \times \vec{p}_i) \cdot \vec{S}_j - 2(\vec{r} \times \vec{p}_j) \cdot \vec{S}_i - 2\vec{S}_i \vec{S}_j + \frac{6(\vec{S}_i \cdot \vec{r})(\vec{S}_j \cdot \vec{r})}{|r|^2} \right] \right) \end{aligned} \quad (3.30)$$

unde $\vec{r} = \vec{r}_i - \vec{r}_j$ reprezintă distanța relativă între cuarci i și j, iar S_i spinul cuarcului i.

Masele hadronilor sunt valorile proprii ale acestui hamiltonian, dacă se utilizează funcțiile de undă corespunzătoare.

Pentru stări fundamentale în undă S, interacțiile de formă $\vec{L} \cdot \vec{S} |(\vec{r} \times \vec{p}) \cdot \vec{S}|$ nu aduc nici o contribuție.

Notind valorile proprii ale operatorilor

- energie cinetica: $\langle \Psi_0 | \frac{p_i^2}{2} | \Psi_0 \rangle$

- interactie coulombiana: $\langle \Psi_0 | \frac{1}{r_{12}} | \Psi_0 \rangle$

- interactie Darwin- Breit: $\frac{1}{2} \langle \Psi_0 | \frac{r_{12}^2 p_1 \cdot p_2 + r_{12} (r_{12} p_1) p_2}{|r_{12}|^3} | \Psi_0 \rangle$

- interactia punctuala: $\langle \Psi_0 | \delta^3(r_{12}) | \Psi_0 \rangle$

respectiv cu a, b, c si d , masele barionilor in unda S pot fi scrise ca:

$$M = M_0 + \sum_i \left[\Delta m_i + a \left(\frac{1}{m_s} - \frac{1}{m_{u,d}} \right) \right] + \\ + \sum_{i,j} \left(\alpha Q_i Q_j - \frac{2}{3} \alpha_s \right) \left[b - \frac{c}{m_i m_j} - d \left(\frac{1}{m_i^2} + \frac{1}{m_j^2} - \frac{16 S_i S_j}{3 m_i m_j} \right) \right] \quad (3.31)$$

unde:

$$M_0 \equiv \sum L(r_1, r_2, \dots) + \sum_i \left(m_{u,d} + \frac{p_i^2}{2m_{u,d}} \right) \quad (3.32)$$

Aceasta expresie da masa degenerata in supermultipletii SU(6) cu includerea proprietatilor de spin. In aceasta relatie intervin 4 parametri. Contributiile Δm_i depind de diferența de masa intre $(m_i - m_{u,d})$.

3.2 Despicarile in masa dependente de spin pentru mezoni

Mezonul are o structura cuarc-anticuarc, iar interactia spin - spin este proportionala cu momentele magnetice ale celor doi cuarci. Despicarea pentru mezonii 0^- si 1^- , cu continut diferit de cuarci, va conduce la

$$\frac{(V - P)_g}{(V - P)_k} = \frac{\mu_i \mu_j}{\mu_k \mu_l} \quad (3.33)$$

unde V se refera la mezonii vectoriali, iar P la mezonii pseudoscalari.

De exemplu,

$$(K^* - K)_{su} = \frac{\mu_s}{\mu_u} (\rho - \pi)_{su} \\ (D^* - D)_{cu} = \frac{\mu_c}{\mu_u} (K^* - K)_{su} \quad (3.34)$$

$$(D_s^* - D_s)_{CS} = \frac{\mu_s}{\mu_u} (D^* - D)_{eu}$$

Atunci, pentru ca $\mu_u < \mu_s < \mu_c$, este de asteptat ca:

$$(D_s^* - D_s) < (D^* - D) < (K^* - K) < (\rho - \pi) \quad (3.35)$$

Experimental, se obtine:

$$(2112 - 1968) < (2010 - 1869) < (892 - 493) < (770 - 139)$$

adica:

$$144 < 141 < 399 < 631$$

Despicarile maselor sunt intr-o concordanta si mai buna cu datele experimentale daca consideram ca:

$$\mu_s \sim \frac{2}{3} \mu_u \text{ si } \mu_c \sim \frac{1}{3} \mu_u \quad (3.36)$$

si atunci:

$$\begin{aligned} (K^* - K) &\sim \frac{2}{3} (\rho - \pi); \\ (D^* - D) &\sim \frac{1}{3} (K^* - K); \\ (D_s^* - D_s) &\sim \frac{2}{3} (D^* - D) \end{aligned} \quad (3.37)$$

Contributiile electromagnetice la masa hadronului se manifesta in:

- contributiile electromagnetice la masa cuarcului, care fac ca $m_u \neq m_d$.
- interactiile electromagnetice intre orice pereche de sarcini
- interacitia magnetica intre orice pereche de cuarci.

Efectul acestor contributii este vizibil la scara particulelor reale prin diferente in masa in functie de starea de sarcina (de exemplu $m_{\pi^+} - m_{\pi^0} = 4.6 \text{ MeV}$, $m_{K^+} - m_{K^0} = -4 \pm 0.13 \text{ MeV}$) ca si prin modurile de interactie, evidențiate de canalele de interactie si dezintegrare si ponderile lor.

Exemple

In cazul mezonilor π^+ si π^0 , numarul de cuarci este acelasi:

$$\pi^+ = u\bar{d}$$

$$\pi^0 = \frac{1}{\sqrt{2}} (u\bar{u} - d\bar{d})$$

In consecinta, diferența in masa intre u si d nu contribuie la diferența de masa pentru π . Atunci, efectul in masa este datorat interacțiilor coulombiene si magnetice.

Pentru ca $m_u \approx m_d$, contributia sarcinilor se va manifesta in distantele de separare intre cuarci. Pentru $\pi^+(u\bar{d})$, contributia pur coulombiana va fi proportionala cu $\frac{2}{9} \left\langle \frac{1}{R} \right\rangle$, in timp ce

pentru $\pi^0(u\bar{u} - d\bar{d})$ vom obtine $-\frac{5}{18} \left\langle \frac{1}{R} \right\rangle$. Atunci, diferența in masa a fi:

$$m_{\pi^+} - m_{\pi^0} = \frac{2}{9} \left\langle \frac{1}{R} \right\rangle + \frac{5}{18} \left\langle \frac{1}{R} \right\rangle = \frac{1}{2} \left\langle \frac{1}{R} \right\rangle = 4.6 \text{ MeV}$$

In consecinta, $\left\langle \frac{1}{R} \right\rangle$ pentru pion este 9.6 MeV.

Pentru sistemul de kaoni, diferența de masa este:

$$m_{K^+} - m_{K^0} = -m_u + m_d - \left\langle \frac{1}{R} \right\rangle_K \left(\frac{2}{9} + \frac{1}{9} \right) \equiv \Delta m_{u,d} - \frac{1}{3} \left\langle \frac{1}{R} \right\rangle_K$$

Pentru ca $m_S > m_{u,d}$, atunci $\mu_S > \mu_{u,d}$, si atunci contributia magnetica a interactiei coulombiene va fi diferita de cazul pionului.

Daca se considera ca

$$\left\langle \frac{1}{R} \right\rangle_\pi = \left\langle \frac{1}{R} \right\rangle_K = 9.2 \text{ MeV}$$

atunci diferența de 4 MeV observata, dintre K^0 si K^+ , va conduce la o diferența de masa intre u si d de circa $\Delta m_{u,d} \approx -7 \text{ MeV}$, adica cuarcul d este mai greu decit cuarcul u , in acord cu QCD si in acord cu realitatea fizica, care indica ca neutronul, avind un exces de d fata de proton, este mai greu decit acesta.

Pentru mezonii pseudoscalari cu charm avem:

$$m_{D^+} - m_{D^0} = -m_u + m_d + \left\langle \frac{1}{R} \right\rangle_D \left(\frac{2}{9} + \frac{4}{9} \right) \equiv \Delta m_{u,d} + \frac{2}{3} \left\langle \frac{1}{R} \right\rangle_D$$

Atit diferența in masa intre u si d , cit si contributia coulombiana conduc la cresterea relativă a masei D^+ fata de D^0 .

Daca

$$\left\langle \frac{1}{R} \right\rangle_D = \left\langle \frac{1}{R} \right\rangle_{\pi \text{ sau } K}$$

atunci:

$$\Delta m_{D^+, D^0} = 7 \text{ MeV} + \frac{2}{3} \cdot 9.2 \text{ MeV} \sim 13 \text{ MeV}$$

deci, teoretic, D^+ este mai greu decit D^0 . Experimental, $m_{D^{*-}} = 1869.3 \pm 0.5 \text{ MeV}$, iar $m_{D^0} = 1864.5 \pm 0.5 \text{ MeV}$.

Pentru ca $\mu_C < \mu_{S,d}$, contributia magnetica datorata cuarcelor cu charin este micsorata, si efectul este:

$$\left\langle \frac{1}{R} \right\rangle_D < \left\langle \frac{1}{R} \right\rangle_{\pi, K}$$

ceea ce conduce la micsorarea distantei intre D^+ si D^0 sub 13 MeV.

Sa incercam sa aplicam acum un rationament similar pentru barioni.

Nucleonul este cel mai usor sistem barionic, in care neutronul este mai greu decit protonul cu circa 1.5 MeV.

In modelul cuarc,

$$m_n - m_p \equiv m_{udd} - m_{uud} = \Delta m_{d,u} - \frac{1}{3} \left\langle \frac{1}{R} \right\rangle_N$$

Daca folosim rezultatele obtinute in cazul mezonilor, unde $\Delta m_{du} \cong 7$ MeV, si in ipoteza:

$$\left\langle \frac{1}{R} \right\rangle_N < \left\langle \frac{1}{R} \right\rangle_\pi = 9.2 \text{ MeV}$$

obtinem o diferență de masa intre proton și neutron de $\Delta m_{p,n} \cong 4$ MeV.

Pentru a obtine o valoare corecta pentru $\left\langle \frac{1}{R} \right\rangle_{\text{barion}}$ vom incerca sa facem o astfel de

evaluare pornind de la un sistem in care contributia $\Delta m_{d,u}$ nu apare. Astfel, pentru sistemul Σ avem:

$$\frac{1}{2}(\Sigma^+ + \Sigma^-) - \Sigma^0 \equiv \frac{1}{2}(1190 + 1197.3) - 1192.5 = 1.15 \text{ MeV}$$

$$\frac{1}{2}(uus + dds) - uds = \frac{1}{2} \left\langle \frac{1}{R} \right\rangle_\Sigma$$

ceea ce conduce la:

$$\left\langle \frac{1}{R} \right\rangle_\Sigma = 2.3 \text{ MeV}$$

In datele experimentale, diferență de masa intre Σ^+ și Σ este de:

$$(1189.37 \pm 0.07) \text{ MeV} - (1197.436 \pm 0.033) \text{ MeV} \cong -8.06 \text{ MeV}$$

Pe baza modelului cuarc,

$$M_{\Sigma^-(dds)} - M_{\Sigma^+(uus)} = 2\Delta m_{d,u} - \left\langle \frac{1}{R} \right\rangle \text{ (interactia } u(d) \xleftrightarrow{r} s)$$

Considerind in plus ca interacția cu schimb de fotoni este identică pentru tranzitiiile $u \leftrightarrow s$ și $d \leftrightarrow s$, atunci:

$$2\Delta m_{d,u} = 8.06 \text{ MeV}$$

rezultat care este verificat pentru sistemele mezonice cu o structura de cuarc usor - cuarc straniu.

Pentru sistemele barionice cu doi cuarci stranii:

$M_{\Xi^0(uus)} = (1314.9 \pm 0.6) \text{ MeV}$ si $M_{\Xi^-(dds)} = (1321.32 \pm 1.3) \text{ MeV}$, diferență de masa este de aproximativ 6.4 MeV, si interpretarea pe baza modelului cuarc conduce la o concordanță excelentă cu datele experimentale.

3.3 Contributiile gluonului la masele mezonilor pseudoscalari si vectoriali

Producerea de gluoni, efect al anihilarii caurc - anticuarc, $q\bar{q} \leftrightarrow$ gluoni are, in principal, doua efecte: amestecul intre stari si o contributie suplimentara la masa.

In SU(3) matricea de masa pentru cuarci poate fi scrisa sub forma:

$$M = \begin{pmatrix} 2u & 0 & 0 \\ 0 & 2d & 0 \\ 0 & 0 & 2s \end{pmatrix} \quad (3.38)$$

si care actioneaza in baza ($u\bar{u}$, $d\bar{d}$, $s\bar{s}$).

Daca perechile $u\bar{u}$, $d\bar{d}$, $s\bar{s}$ pot anihila, presupunind ca amplitudinea de anihilare este A, aceiasi pentru toate perechile, atunci acestea vor contribui la masa printr-o contributie suplimentara, provenind din matricea H_i :

$$H_i = \begin{pmatrix} A & A & A \\ A & A & A \\ A & A & A \end{pmatrix} \quad (3.39)$$

Lucrind in baza $|8,1\rangle$ si $|1,1\rangle$, matricea de masa pentru stari cu $I = 1$ va fi:

$$M = \begin{pmatrix} \langle 8,1 | M | 8,1 \rangle & \langle 8,1 | M | 1,1 \rangle \\ \langle 1,1 | M | 8,1 \rangle & \langle 1,1 | M | 1,1 \rangle \end{pmatrix} \quad (3.40)$$

Pentru starea de singlet:

$$1 = \frac{1}{\sqrt{3}} (u\bar{u} + d\bar{d} + s\bar{s}) \quad (3.41)$$

elementul de masa $M(1,1)$ este:

$$M(1,1) = 3A + \frac{A}{3} (4u + 2s) \quad (3.42)$$

unde am considerat ca contributiile provenind din cuarci u si d sunt identice, si am introdus efectul anihilarii.

Pentru $\langle 8,1 | M | 8,1 \rangle$, cu:

$$8 = \frac{1}{\sqrt{6}} (u\bar{u} + d\bar{d} - 2s\bar{s}) \quad (3.43)$$

anihilarea nu contribuie, si rezultatul este:

$$\langle 8,1|M|8,1\rangle = \frac{1}{3}(4s - 2u) \quad (3.44)$$

Daca masele cuarcilor u si s sunt diferite, atunci va aparea un amestec intre singlet si octet.

$$\begin{aligned} \langle 1,1|M|8,1\rangle &= \langle 8,1|M|1,1\rangle = \\ \frac{1}{\sqrt{3}}(u\bar{u} + d\bar{d} + s\bar{s})M|\frac{1}{\sqrt{6}}(u\bar{u} + d\bar{d} - 2s\bar{s}) &= \frac{2\sqrt{2}}{3}(u - s) \end{aligned} \quad (3.45)$$

si in consecinta starile reale de particule vor fi amestecate.

Astfel, matricea de masa pentru stari cu $I = 0$ are urmatoarele elemente:

$$\hat{M} = \begin{pmatrix} \frac{1}{3}(4s + 2u) & \frac{2\sqrt{2}}{3}(u - s) \\ \frac{2\sqrt{2}}{3}(u - s) & 3A + \frac{1}{3}(4u + 2s) \end{pmatrix} \quad (3.46)$$

care, pentru mezonii pseudoscalari se exprima in:

$$\begin{pmatrix} \frac{1}{3}(4K - \pi) & \frac{2\sqrt{2}}{3}(\pi - K) \\ \frac{2\sqrt{2}}{3}(\pi - K) & 3A + \frac{1}{3}(2K + \pi) \end{pmatrix} \quad (3.47)$$

si valorile proprii vor fi asociate cu masele starilor η si η' .

In mod similar, in cazul mezonilor vectoriali, aceste stari sunt ω si Φ .

Rezolvind sistemul de 2 ecuatii cu 2 necunoscute (λ_1 si λ_2):

$$\begin{aligned} \lambda_1 + \lambda_2 &= 3A + 2K && \text{(masa ele mentelor diagonale)} \\ \lambda_1 \lambda_2 &= 2K\pi - \pi^2 + A(4K - \pi) && \text{(din dezvoltarea determinantului)} \end{aligned}$$

daca $A = 0$, atunci:

$$\lambda_1 \lambda_2 = 2K \quad (3.48)$$

relatie care este satisfacuta pentru stari vectoriale: $\Phi + \omega = 2K$ * sugerind ca anihilarea este neglijabila in cazul nonetului vectorial. Situatia este complet diferita pentru mezonii pseudoscalari. Relatia $\eta + \eta' \neq 2K$ implica ca contributia anihilarii nu este neglijabila. In consecinta, exista 3 parametrii distincti: m_u , m_s si m_A , pentru a explica cele 4 stari fizice π , K , η si η' , si deci una dintre relatii trebuie sa fie fara constringerii datorate parametrilor. Aceasta este obtinuta eliminind dependenta de A din sistemul:

$$\begin{aligned} \lambda_1 + \lambda_2 &= 3A + 2K \\ \lambda_1 \lambda_2 &= 2K\pi - \pi^2 + A(4K - \pi) \end{aligned} \quad (3.49)$$

Se obtine:

$$(\eta + \eta') (4K - \pi) - 3\eta\eta' = 8K^2 - 8K\pi + 3\pi^2 \quad (3.50)$$

relatie cunoscuta ca regula de suma a lui Schwinger.

Verificind pe datele experimentale aceasta relatie, se obtine:

$$(548.8 + 957.5) (4 \cdot 493.6 - 139.6) - 3 \cdot 548.8 \cdot 957.5 = \\ = 8 \cdot 493.6^2 - 8 \cdot 493.6 \cdot 1396.6 - 3 \cdot 139.6 \cdot 139.6$$

valoare care nu concorda cu realitatea fizica. Pentru iesirea din impas, s-au facut diferite sugestii. Una dintre acestea presupune amestecul suplimentar al perechii $c\bar{c}$ cu η si η' , prin intermediul anihilarii prin intermediul gluonului. Consideram, ca o consecinta generala, includerea unei componente suplimentare $|R\rangle$ (care nu contine perechi $u\bar{u}$, $d\bar{d}$, $s\bar{s}$) la singletul din SU(3). Daca $|a\rangle$ este starea rezultanta din SU(3) in urma amestecului, atunci:

$$|a\rangle = \cos\alpha|1\rangle + \sin\alpha|R\rangle \equiv \frac{\cos\alpha}{\sqrt{3}}(u\bar{u} + d\bar{d} + s\bar{s}) + \sin\alpha|R\rangle \quad (3.51)$$

Daca $|R\rangle \equiv |c\bar{c}\rangle$, atunci:

$$|a\rangle = \frac{\cos\alpha}{\sqrt{3}}(u\bar{u} + d\bar{d} + s\bar{s}) + \sin\alpha|c\bar{c}\rangle \quad (3.52)$$

si din comparatia cu datele experimentale, in ipoteza unei relatii patratice in masa,

$$\cos^2\alpha = \frac{1}{4}, \text{ si atunci:}$$

$$|a\rangle = \frac{1}{2\sqrt{3}}(u\bar{u} + d\bar{d} + s\bar{s}) + \frac{\sqrt{3}}{2}|c\bar{c}\rangle = \frac{1}{2\sqrt{3}}(u\bar{u} + d\bar{d} + s\bar{s} + 3c\bar{c}) \quad (3.53)$$

putindu-se trage concluzia existentei unei componente suplimentare, semnificative, de $c\bar{c}$ (cel putin) la structura lui η si η' .

Capitolul 4

Modele pentru descrierea hadronilor

4.1 Modele potențiale pentru descrierea sistemelor $q\bar{q}$

Conceptul de cuarc da o solutie excellenta pentru a rezolva calitativ spectroscopia mezonilor.

Modelele teoretice permit predictii ale maselor, latimilor si rapoartelor de dezintegrare, si unele dintre aceste modele, aparent naive, apar a avea o surprinzator de mare putere de predictie.

4.1.1 Problema a doua corpuri

In acest paragraf voi prezenta o mica sinteza a problemei a doua corpuri asa cum este ea de interes pentru mezoni in modelul cuarc nerelativist. Voi trece in revista rezultatele matematice referitoare la ordinea nivelor energetice, distanta intre nivele, dependenta acestora de masa si de energie.

Ecuatii de baza

Cele mai simple modele care descriu mezonii ca stari legate cuarc - anticuarc presupun scrierea unui hamiltonian nerelativist de forma:

$$H = \frac{p_1^2}{2m_1} + \frac{p_2^2}{2m_2} + U(r_{12}) \quad (4.1)$$

unde U reprezinta partea centrala a potentialului cuarc - anticuarc presupusa independenta de sarcina specifica a cuarcului. Acest potential poate fi suplimentat de componente de interacție spin - spin, spin - orbită sau tensoriale, în scopul descrierii structurii fine sau hiperfine pentru multipleti, dar despre care nu discutam aici.

Misarea centrului de masa este exprimata prin introducerea variabilelor Jacobi, definite ca:

$$\begin{aligned}\vec{R} &= \frac{m_1 \vec{r}_1 + m_2 \vec{r}_2}{m_1 + m_2} \\ \vec{r} &= \vec{r}_2 - \vec{r}_1\end{aligned}\quad (4.2)$$

cit și de \vec{P} și de \vec{p} , alese astfel încât să fie conjugate în raport cu \vec{R} și \vec{r} . Atunci, hamiltonianul devine:

$$H = \frac{P^2}{2(m_1 + m_2)} + \tilde{H} = \frac{P^2}{2(m_1 + m_2)} + \frac{p^2}{\mu} + U(r) \quad (4.3)$$

unde $\mu = \frac{2m_1 m_2}{m_1 + m_2}$

Rezolvarea ecuației de valori proprii:

$$\tilde{H}\Psi = E\Psi \quad (4.4)$$

este facuta aproape intotdeauna in coordonate sferice.

Considerind invarianta la rotație a potentialului, starile legate pot fi caracterizate de momentul cinetic orbital.

Explicitind funcția de undă prin separarea partii radiale de cea unghiulară, se obține:

$$\Psi(r) = \left[\frac{u(r)}{r} \right] Y_l^m(\theta, \varphi) \quad (4.5)$$

unde partea radială a funcției de undă satisfacă ecuația:

$$u''(r) - [l(l+1)/r]u(r) + \mu[E - V(r)]u(r) = 0 \quad (4.6)$$

In aceasta ecuație, l reprezintă momentul cinetic, m este numărul magnetic (valoarea proprie a lui l), și n numărul de noduri pentru funcția de undă $u(r)$ în intervalul $[0, +\infty]$. E și $u(r)$ nu depind de m .

4.1.2 Proprietati ale functiilor de unda

Daca $U(r)$ nu este foarte singular in origine, atunci, pentru $r \rightarrow 0 \Rightarrow u(r) \sim r^{l+1}$.

Pentru r mare, $u(r)$ descreste exponential. In cazul particular pentru care $U(r) = Br^\beta$, cu $\beta > 0$, atunci, pentru $r \rightarrow \infty$ rezulta:

$$u(r) \sim \text{polinom} \times \exp\left\{-\left[2 / (\beta + 2)\right]\sqrt{\mu B}r^{1+\beta/2}\right\} \quad (4.7)$$

Functia radiala corespunzatoare starii $(n+1)$ are n noduri $r_i^{(n)}$ ($i = 1, \dots, n$), si in consecinta, in concordanta cu teorema Sturm - Liouville, conduce la urmatoarea ordonare a acestora:

$$0 < r_1^{(n+1)} < r_1^{(n)} < r_2^{(n+1)} \dots < r_n^{(n)} < r_{n+1}^{(n+1)} \quad (4.8)$$

Functia de unda $u_{n,l}$ satisface conditia de ortonormare:

$$\int_0^{\infty} u_{n,l} u_{n',l'} dr = \delta_{n,n'} \quad (4.9)$$

Starile u pot fi gasite daca potentialul este real.

De interes practic este calculul probabilitatii de a gasi un cuarc si un anticuarc in acelasi loc, adica functia de suprapunere. Aceasta probabilitate este de interes pentru latimile leptonice de dezintegrare sau despigarile hiperfine ale starilor S:

$$\delta_n = \left| \Psi_{n,0}(0) \right|^2 = u_{n,0}^2 / 4\pi = \frac{\mu}{4\pi} \int_0^{\infty} V'(r) u_{n,0}^2(r) dr \quad (4.10)$$

Legi de scalare

Cele mai simple reguli de scalare deriva din potentialele de tip putere. Daca:

$$V(r) = Be(\beta)r^\beta \quad (4.11)$$

este un potential atractiv ($B > 0$ si ε este functia de unda de semn +/-), atunci energia corespunzatoare nivelului caracterizat prin numerele cuantice (n, l) este:

$$E_{n,l}(\mu, B) = E_{n,l}(1,1) \mu^{-\beta/(\beta+2)} \quad (4.12)$$

si functia de unda se scaleaza ca :

$$u(r; \mu, B) = r_0^{-1/2} u(r/r_0; 1,1) \quad (4.13)$$

unde $r_0 = (\mu B)^{-1/(\beta+2)}$ joaca rolul de "raza Bohr" pentru un potential de tip putere.

Intr-un potential logaritmic: $V = B \ln r$, dimensiunea pentru functia de unda este guvernata de legea de scalare anteroara, dar cu $r_0 = (\mu B)^{-1/2}$, in timp ce nivelele energetice se schimba in acord cu legea:

$$E_{n,l}(\mu, B) = BE_{n,l}(1,1) - \frac{1}{2}B \ln \mu - \frac{1}{2}B \ln B \quad (4.14)$$

Pentru B fixat, distanta intre nivelele energetice este independenta de masa redusa. Astfel de legi de scalare exista pentru diferite potențiale.

4.1.3 Metode numerice de rezolvare a ecuatiei Schrodinger radiale

In rezolvarea ecuatiei Schrodinger radiale pentru potențiale de constringere, se utilizeaza curent metode numerice, pentru ca in multe situatii nu pot fi gasite relatii analitice.

In cele ce urmeaza voi schita pe scurt o varianta numérica de rezolvare, si anume metoda Numerov. Se cauta determinarea valorilor proprii de energie prin integrarea numérica dupa r a ecuatiei pentru fiecare n fixat. Ecuația Schrodinger radiala (4.6) poate fi rescrisa ca:

$$u''(r) = f(r)u(r) \quad (4.15)$$

si se cauta solutii pornind din vecinatatea originii, unde $u_{out} \sim r^{l+1}$, si de la distante mari, unde $u_n(r) \sim \exp(-\int \sqrt{f} dr)$.

Utilizind dezvoltarea in serie Taylor se poate arata ca valoarea u_n (pentru cazul u_{out} , respectiv u_{in}), pentru distante egale $r = nh$ verifica ecuația:

$$u_{n+1}\left(1 - \frac{1}{12}h^2 f_{n+1}\right) + u_{n-1}\left(1 - \frac{1}{12}h^2 f_{n-1}\right) = 2u_n\left(1 + \frac{5}{12}h^2 u_n\right) + O(h^6) \quad (4.16)$$

cea ce da un algoritm iterativ, caracterizat de o buna acuratete, si stabil, pentru determinarea lui u_n .

Determinarea energiei proprii E_n se realizeaza in modul urmator: energia de proba E este deasupra nivelului E_n , daca solutia "out" are cel putin $(n+1)$ noduri in intervalul $[0, r_c]$, unde r_c este punctul elastic de intoarcere, pentru care $E = V(r_c)$. Cautarea se realizeaza in intervalul $a_n < E_n < b_n$, in care E_n are numai o valoare proprie. Daca in intervalul considerat exista o valoare proprie E_n , atunci sunt indeplinite conditiile:

$$u_{in}(r_0) = u_{out}(r_0) \quad (4.17)$$

$$\int_0^{r_0} u_{out}^2(r) dr + \int_{r_0}^{\infty} u_{in}^2(r) dr = 1$$

Daca $u'_{in}(r_0) \neq u'_{out}(r_0)$, pentru o energie de probă \tilde{E} , atunci o estimare mai buna E_n a energiei proprii se realizeaza prin modificarea valorii pentru energie:

$$\tilde{E} \rightarrow \tilde{E} + d\tilde{E} = \tilde{E} - [u(r_0)/\mu] \cdot [u'_{in}(r_0) - u'_{out}(r_0)] \quad (4.18)$$

si aceasta procedura conduce la o convergenta rapida catre E_n .

4.1.4 Aproximatii semiclasice

Aproximativa WKB (Wentzel-Kramers-Brillouin) da o metoda de determinare a starilor proprii energetice, caracterizate de numerele cuantice radiale sau orbitale mari. Cu toate acestea, aproximatia WKB conduce la rezultate foarte bune si pentru strari joase, facind sa fie larg utilizata in rezolvarea starilor mezonice.

In aproximatia WKB, starile proprii energetice $E_{n,\theta}$ pentru unde S sunt date de:

$$\int_0^{r_c} \sqrt{\mu(E - V(r))} dr = \left(n + \frac{3}{4} \right) \pi \quad (4.19)$$

unde r_c este punctul clasic de intoarcere pentru $V(r_c) = E$. Aceasta formula este exacta pentru un potential de oscilator armonnic; pentru potențialele putere $B r^\beta$, cu $\beta > 0$, starile de energie proprie pentru unde S si generalizarile pentru excitari orbitale, in cazul $\mu = B = 1$ pot fi exprimate intr-o forma analitica simpla:

$$E_{n,l}^{WKB} = \left[\frac{2\beta\sqrt{\pi}\Gamma\left(\frac{3}{2} + \frac{1}{\beta}\right)}{\Gamma\left(\frac{1}{\beta}\right) \cdot \left(n + \frac{3}{4} + \frac{l}{2}\right)} \right]^{\frac{2\beta}{\beta+2}} \quad (4.20)$$

In cazul potențialelor de tip oscilator armonnic, aproximatia variationala obtinuta prin folosirea unei functii de unda de proba de tipul $r^{l+1} \exp\left(-\frac{1}{2}\alpha r^2\right)$ conduce la:

$$E_{0,l}^{\text{var}} = 3\left(\frac{3}{2} + l\right) \cdot \left[\frac{\Gamma(2+l)}{\Gamma(3/2+l)} \cdot \frac{1}{3+2l} \right]^{3/2} \quad (4.21)$$

Calitatea aproximatiei WKB pentru l mari este buna, dar nu exceptională.

4.1.5 Ordinea nivelelor

Vom trece in revista cteva proprietati matematice pentru un hamiltonian de doua corpuri.

Orice potential, unu sau doi dimensional, cu caracter atractiv, conduce la cel putin o strare legata. In trei dimensiuni, afirmatia anterioara nu mai este totdeauna adevarata. De exemplu, un potential de tip Yukawa: $V = -B \exp(-\alpha r) / r$, cu $\alpha > 0$, nu conduce la stari legate daca constanta B este prea mica. Pe de alta parte, pentru $\alpha = 0$, potentialul Yukawa trece intr-un potential coulombian care are un numar infinit de stari legate cu $E < 0$, ca si un spectru continuu de energii pozitive.

In modelele simple pentru cuarconium, se cauta acele potențiale care prezinta proprietatea de constringere si care suporta un numar infinit de stari legate.

Din teorema Sturm-Liouville si din caracterul pozitiv pentru bariera centrifugala: $\frac{l(l+1)}{r^2}$, rezulta ca starea cea mai joasa corespunde la $n = 0$ si $l = 0$, si energia creste odata cu cresterea lui n sau l .

Pozitiile relative intre excitatii radiale si/sau orbitale depend de potential. Voi exemplifica pe cteva cazuri de interes.

Sa ne reamintim ca n reprezinta numarul de noduri, si nu numarul cuantic principal.

In cazul potentialului coulombian: $V(r) = -r^{-1}$, $E_{n,l} = E_{n-1,l-1}$.

Pentru potentialul de oscilator armonic, $V(r) = r^2$, $E_{n,l} = E_{n+1,l+2}$.

In aceste doua cazuri, o mica perturbatie poate rupe degenerarea. Astfel, pentru potentialul coulombian, daca:

$$\Delta V(r) > sau < 0, \Rightarrow E_{n,l} < sau > E_{n+1,l-1} \quad (4.22)$$

in timp ce pentru oscilator:

$$\Delta V(r) > sau < 0, \Rightarrow E_{n,l} < sau > E_{n+1,l+2} \quad (4.23)$$

In cazul oscilatorului armonic, pentru l fixat, dependenta energiei este ca $E_{n,l} \sim 3 + 4n + 2l$, adica depinde liniar de n .

Dependenta de masa a energiei de legatura

Daca \tilde{H} reprezinta hamiltonianul redus al sistemului de doua corpuri, si $E(\mu)$ reprezinta energiile proprii corespunzatoare functiei de unda $\Phi(\mu)$, in conformitate cu teorema Feynmann -Hellmann se poate stabili dependenta de masa a hamiltonianului redus. Astfel:

$$\frac{d\tilde{I}}{d\mu} = - \left(\frac{1}{\mu^2} \right) \left\langle \Phi(\mu) \left| \vec{P}^2 \right| \Phi(\mu) \right\rangle_F - \left(\frac{1}{\mu} \right) T(\mu) \quad (4.24)$$

\tilde{I} depinde liniar de μ^{-1} .

Daca hamiltonianul depinde liniar de un parametru λ , utilizind teorema generala, se gaseste ca starea sa fundamentala este concava cind:

$$H = A + \lambda B, \text{ atunci rezulta } d^2E_0/d\lambda^2 \leq 0$$

Pentru masele starii fundamentale, independent de momentul cinetic I , exista urmatoarea inegalitate intre masele starilor si ale constituentilor:

$$M_{0,I}(m_1, m_1) + M_{0,I}(m_2, m_2) \leq 2M_{0,I}(m_1, m_2) \quad (4.25)$$

$$\text{sau: } (Q\bar{Q})_I + (q\bar{q})_I \leq 2(Q\bar{q})_I \quad (4.26)$$

Accasta inegalitate, consecinta a convexitatii, nu poate fi scrisa pentru excitatii radiale.

Inegalitatea este bine verificata experimental.

4.1.6 Modele potențiale nerelativiste

a) Analogie intre sistemele mezonice si cazul sistemelor electromagnetice de tip atom de hidrogen

Pozitronium este un atom de hidrogen in care protonul este inlocuit cu pozitronul, astfel ca sistemul obtinut devine unul simetric e^+e^- .

In acord cu aceasta schimbare, constanta Rydberg devine:

$$R = R_i \left(\frac{m_1}{m_1 + m_2} \right) \quad (4.27)$$

$$R(e^+e^-) = \frac{R_i}{2} \quad (4.28)$$

$$\text{cu } R_i = \frac{m_e e^4}{8\epsilon_0^2 h^3 c} = 1.097 \cdot 10^7 \text{ m}^{-1}$$

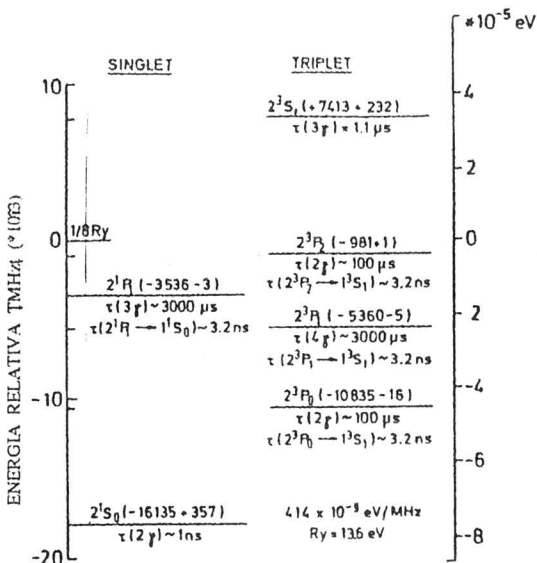
Solutia ecuatiei Schrodinger pentru un potential coulombian $V(r) \sim \frac{\alpha}{r}$ stabileste un spectru energetic pentru valorile proprii, analog cu cel al atomului de hidrogen:

$$E_n = -\frac{6.8}{n^2} (eV)$$

Corecturile relativiste si interacțiile spin-orbita produc despărțirea fină:

$$\Delta E_{DF} = |E_n| \cdot \frac{\alpha^2}{n} \left(\frac{3}{4n} - \frac{1}{j-1/2} \right) \quad (4.29)$$

Pentru nivelul $n = 2$ al pozitroniumului, starile degenerate $S_{1/2}$, $P_{1/2}$, sunt cborite de la 1.7 eV cu $2.6 \cdot 10^{-5}$ eV, si respectiv $0.53 \cdot 10^{-5}$ eV.



$$n = 1 : \begin{array}{cccc} ^3S_1 & \xrightarrow{14 \mu sec} & 3\gamma & C = -1 \\ ^1S_0 & \xrightarrow{0.12 nsec} & 2\gamma & C = +1 \end{array}$$

Figura 4.1
Spectrul energetic al pozitroniumului

Momentul magnetic al pozitronului este de 2000 ori mai mare decit al protonului, si atunci rolul structurii hiperfine devine mai important. Acest efect va ramane valabil si in cazul inlocuirii electronilor cu cuarci:

$$\Delta E_{HF} \sim a \vec{S}_1 \vec{S}_2 \cdot Z^2, \quad a > 0$$

si atunci pentru $L = 0$, in stare 3S_1 :

$$\vec{S}_1 \vec{S}_2 = \frac{1}{2} \left(\langle J \rangle^2 - S_1^2 - S_2^2 \right) = \frac{1}{2} \left[J(J+1) - S_1(S_1+1) - S_2(S_2+1) \right] = \frac{1}{4} \quad (4.30)$$

si in stare 1S_0 :

$$\vec{S}_1 \cdot \vec{S}_2 = \frac{1}{2} \left(\langle J \rangle^2 - S_1^2 - S_2^2 \right) = \frac{1}{2} \left[0 - \frac{6}{4} \right] = -\frac{3}{4} \quad (4.31)$$

ceea ce implica ca:

$$m(^3S_1) > m(^1S_0) \quad (4.32)$$

În cazul mezonilor, de exemplu, $m_{J/\psi} > m_{\eta_c}$, $m_Y > m_{\eta_s}$, $m_\rho > m_{\pi^+}$.

Atunci, aşa cum am mentionat mai înainte, are loc despărțirea 3S_1 și 1S_0 ; analogia cu $P_{1/2}$ și $P_{3/2}$ conduce la 1P_1 , 3P_0 , 3P_1 , 3P_2 .

Spectrul energetic simplificat al pozitroniumului (pentru $n = 2$) este indicat în Fig. 4.1.

Compararea între sistemele e^+e^- , $c\bar{c}$, $b\bar{b}$ (Fig. 4.2) sugerează o analogie calitativa între stările legate ale cuarcilor grei în interacția $q\bar{q}$ și interacțiile electromagnetice ale sistemului legat e^+e^- : semințul despărțirilor în undă P concordă cu valori absolute și ordine de marime unele cu altele:

pentru $n = 2$, pentru e^+e^- , $c\bar{c}$, $b\bar{b}$:

$$m(^3P_0) < m(^3P_1) < m(^3P_2) < m(^3S_1) \quad (4.33)$$

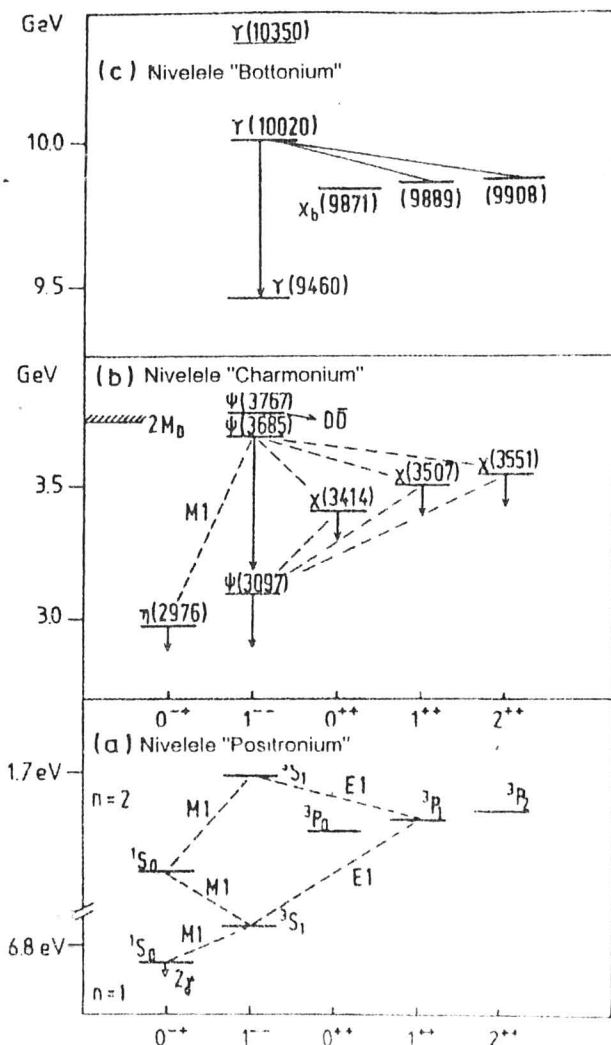


Fig. 4.2
Comparatie intre sistemele e^+e^- , cc , bb

Separarea intre nivele da o idee asupra ordinilor de marime pentru constanta de cuplaj α_s in QCD: constanta pentru structura fina α este inlocuita de $4/3 \alpha_s$.

Termenul $4/3$ provine din medicarea interactiei intre q si \bar{q} in singuletul de culoare al celor 8 gluoni, adica ai celor 8 generatori pentru culoare in SU(3): $\lambda_i / 2$.

$$\left\langle \left(q\bar{q}\right)_s \left| \frac{g \frac{\lambda_i}{2}(q) g \frac{\lambda_i}{2}(\bar{q})}{4\pi r} \right| \left(q\bar{q}\right)_s \right\rangle \text{ cu } i = 1, 2, \dots, 8. \quad (4.34)$$

si:

$$\left| \left(q\bar{q}\right)_s \right\rangle = \frac{1}{\sqrt{3}} \left(\left(q\bar{q}\right)_{rosu} + \left(q\bar{q}\right)_{albastru} + \left(q\bar{q}\right)_{verde} \right) \quad (4.35)$$

(luind numai contributia lui λ_3 multiplicata cu 8).

$$\alpha_s = \frac{g^2}{4\pi r} \quad (4.36)$$

$$V(q\bar{q}) = -\frac{8}{2\sqrt{3} \cdot \sqrt{3}} \alpha_s \frac{1}{r} = -\frac{4}{3} \alpha_s \frac{1}{r} \quad (4.37)$$

Pentru $m_e = 1.5$ GeV si $m_b = 5$ GeV:

$$\frac{\Delta E_{e^+e^-}}{\Delta E_{c\bar{c}}} = \frac{\left(2^3 S_1 - 1^3 S_1\right)_{e^+e^-}}{\left(2^3 S_1 - 1^3 S_1\right)_{c\bar{c}}} = \frac{5.2}{589 \cdot 10^6} = \frac{m_e \alpha^2}{m_c \frac{16}{9} \alpha_s^2} \quad (4.38)$$

adica $\alpha_s = 1.07$, si:

$$\frac{\Delta E_{e^+e^-}}{\Delta E_{b\bar{b}}} = \frac{\left(2^3 S_1 - 1^3 S_1\right)_{e^+e^-}}{\left(2^3 S_1 - 1^3 S_1\right)_{b\bar{b}}} = \frac{5.2}{561 \cdot 10^6} = \frac{m_e \alpha^2}{m_b \frac{16}{9} \alpha_s^2} \quad (4.39)$$

adica $\alpha_s = 0.54$.

Descresterea constantei de cuplaj odata cu cresterea masei cuarcului este descrisa corect. Valoarea absoluta pentru α_s este cu un factor de 3 mai mare decit cea provenita din presupunerea unui potential coulombian pur. Aceste sisteme sunt puternic legate pentru a fi dominate numai de partea de scurta distanta a potentialului.

b) Modele potențiale pentru cuarcii gri

Un potential coulombian prezinta degenerare intre starile S si P pentru $n = 2$. Un potential de oscilator armonic 3D ($V(r) \sim r^2$) conduce la valori proprii ale energiei in acord cu:

$$E_n = \left(N + \frac{3}{2} \right) \hbar \omega \quad (4.40)$$

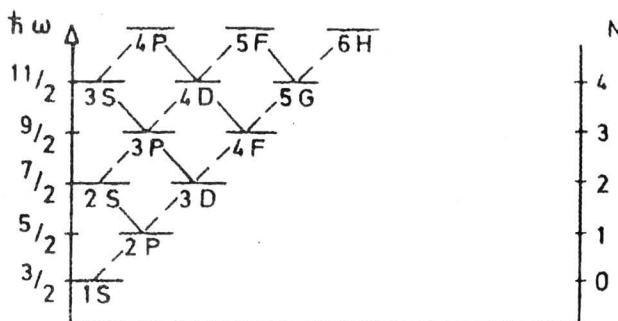


Figura 4.3
Schema de nivele pentru oscilatorul armonic 3D

Schema de nivele pentru oscilatorul armonic 3D este data in Fig. 4.3. Doua trasaturi importante ale acestor spectre de nivele trebuie mentionate: excitările radiale sunt echidistante și nivelul nP este localizat la energia medie între nivelele $(n-1)S$ și nS , adică:

$$\frac{(n-1)S + nS}{2} \quad (4.41)$$

Prima trasatura este verificată atât pentru sistemul $c\bar{c}$ cât și pentru $b\bar{b}$, dar nivelele P pentru $c\bar{c}$ nu sunt situate la valoarea medie aritmetică între predicția coulombiană ($nS \approx nP$) și predicțiile de oscilator. Atunci interpolăm pentru $V_{qq}(r) \sim r^x$ astfel că:

$$-1(coulombian) \leq x \leq +2(oscillator)$$

La distanțe mai mari, s-a sugerat folosirea unui potential liniar: $x = l$: $V(r) = kr$; pentru k , cele mai simple extinderi provin pentru mase tipice de 1 GeV și distanță tipică de 1 fm = 5 GeV⁻¹ conducând la o densitate de energie de ordinul $k = 0.2$ GeV². În multe modele, alegerea este:

$$k = 0.18 \text{ GeV}^2 \approx \frac{1 \text{ GeV}}{1 \text{ fm}}$$

Considerind energia de legătură ca diferența între m (prag deschis) și $m(^3S_1)$, atunci raportul:

$$\beta = \frac{\text{energia de legătură}}{\text{masa constituentelor}} \quad (4.42)$$

are valoarea $\approx \frac{0.6}{3}$ pentru $c\bar{c}$ ($m_c \approx 1.5$ GeV), $\approx \frac{1.2}{10}$ pentru $b\bar{b}$ ($m_b \approx 5$ GeV)

Raportul este mic pentru o tratare nerelativistă dar este foarte mare în comparație cu e^+e^- .

Sugestia este de a presupune în modelele de potențial un termen coulombian pentru partea de distanță scurtă și un termen liniar pentru partea de distanță mare:

$$V(r) = -\frac{4}{3}\alpha_s \frac{1}{r} + kr + C \quad (4.43)$$

În general, rezolvarea nerelativista a ecuației Schrödinger pentru potențialele $V(r) = kr^v$ prezice următoarele comportări (vezi Tab. 4.1):

Tabelul 4.1:
Soluțiile ecuației Schrödinger pentru diferite potențiale

	x	ΔE	$\left \psi(0) \right ^2$	$\langle r^2 \rangle$	$\langle r^2 v^2 \rangle$
oscilator armonic	2	$-\frac{1}{2}$	$\frac{3}{4}$	$-\frac{1}{4}$	$-\frac{1}{2}$
potențial liniar	1	$-\frac{1}{3}$	0	$-\frac{1}{3}$	$-\frac{2}{3}$
potențial coulombian	-1	0	v^3	v^{-1}	v^{-2}
potențial logarithmic	0*	const.	$\frac{3}{2}$	$\frac{1}{2}$	v^{-1}

* $x \approx 0$ – pt. ca $\lim_{x \rightarrow 0} \left(\left(\frac{r}{r_0} \right)^v - 1 \right) = 0$

** calculat din $\langle T \cdot v \rangle = m_Q \cdot \langle v^2 \rangle = \frac{1}{2} \cdot \langle \vec{r}^2 \rangle \cdot \vec{v}(\langle \vec{r}^2 \rangle)$ – teorema virialului

*** $\langle T \cdot v \rangle = \langle \nabla \cdot v \rangle = E_b$

**** în general $\left| \psi(0) \right|^2 = (\frac{m^{3/2}}{q}) E_n^{1/2} \cdot \frac{dE_n}{dn}$

- pentru o masa redusă $\mu = m_e / 2$: $\Delta E \sim \mu^{-v/(v+2)}$

$$\begin{aligned} \left| \psi(0) \right|^2 &\sim \mu^{v/(v+2)} \\ \langle r^v \rangle &\sim \mu^{-v/(v+2)} \quad v = 1, 2 \end{aligned} \quad (4.44)$$

Majoritatea calculelor pentru spectroscopia ($c\bar{c}$) și ($b\bar{b}$) sunt bazate pe potențialele din tabelul 4.1 sau combinații între ele.

Dacă o soluție exactă nu este posibilă (asa cum se întâmplă cind se introduce și un potențial liniar, pentru stări $L \geq 1$), se încearcă o procedură de tratare a termenului coulombian ca o mică perturbatie. O altă cale, utilizată cu succes pentru a descrie spectroscopia barionilor, este de a rezolva un potențial de oscilator și a ajusta parametrii acestuia la starea fundamentală data de un potențial coulombian plus liniar.

O lista cu potențiale tipice utilizate pentru a exprima interacțiile qq și $q\bar{q}$ este prezentată în Tabelul 4.2.

Tab. 4.2
Potentiale pentru exprimarea interacțiilor qq și $q\bar{q}$

$V(r)$
$-\frac{\Lambda}{r} + Kr + V_0$
$-\frac{4}{3} \int \frac{d^3 q}{(2\pi)^3} e^{i\vec{q} \cdot \vec{r}} \cdot \frac{1}{\vec{q}^2} \cdot \frac{16\pi^2}{\ln(1 + \frac{\vec{q}^2}{\Lambda^2})}$
$-\frac{4}{3} \frac{a_s}{r} + \left \frac{32\pi (a_s B)^{1/4}}{3} + C(a_s^3 B)^{1/4} \right.$
$\left. A \ln(r/r_0) \right.$
$a + br^x \quad x \sim 0.1$

Acste potențiale pot fi clasificate în două categorii: potențiale inspirate de QCD și potențiale fenomenologice.

In potențialele provenite din modele din QCD comportarea de distanță scurtă este descrisă de libertatea asimptotică, dependența constantei de cuplaj de distanță fiind, într-o formă posibilă, urmatoarea:

$$\alpha_s(r) = \frac{12\pi}{25 \log\left(\frac{1}{r^2 \Lambda_{\overline{MS}}^2}\right)} \quad (4.45)$$

De notat că ecuația prezintă un pol la $r = r_{\text{confinare}} = 1/\Lambda_{\overline{MS}}$ și care în alegerea consistentă cu datele experimentale este $r_{\text{confinare}} = 1/\Lambda_{\overline{MS}} \sim 3 \text{ GeV}^2 = 0.7 \text{ fm}$.

Pentru distanțe mai mari, contribuie partea liniară a potențialului.

Așa cum s-a explicat anterior, diferența în masa, egală între stările $2^3S_1 - 1^3S_1$ pentru sistemele $c\bar{c}$ și $b\bar{b}$ este reproducă bine de modelele fenomenologice, ca cele date de potențiale date în Tabelul 4.2.

Trebuie remarcat că predicțiile diferitelor modele nu difere foarte mult între ele.

Urmatorul pas în analiza îl constituie includerea dependenței de spin a potențialelor:

$$V = V_0 + V_{\text{spin}} \quad (4.46)$$

Contributia de spin include 4 termeni: V_{Thomas} , $V_{\text{spin-orbita}}$, V_{tensor} , si $V_{\text{spin-spin}}$. In cazul unui potential coulombian, aceste 4 contributii sunt proportionale cu $-\alpha/r$, $-\alpha/r^2$, $-\alpha/r^3$ si respectiv $\nabla^2(-\alpha/r)$.

Pentru pozitronium, in ordinul cel mai de jos:

$$V_{\text{spin}} = \frac{3}{2} \frac{\vec{L}(\vec{S}_1 + \vec{S}_2)}{m^2} \cdot \frac{\alpha}{r^3} + \frac{\alpha}{m^2 r^3} [3 \cdot (\vec{S}_1 \cdot \vec{r}_1)(\vec{S}_2 \cdot \vec{r}_2) - \vec{S}_1 \cdot \vec{S}_2] + \frac{8\pi\alpha}{3} \cdot \frac{\vec{S}_1 \cdot \vec{S}_2}{m^2} \delta(\vec{r}) \quad (4.47)$$

Trecind in QCD, ordinul cel mai de jos (schimbul unui gluon) se obtine inlocuind α cu $\frac{4}{3}\alpha_s$.

In QCD, desfacerea potentialului in V_0 si V_{spin} nu este posibila. Partea de distanta mare necoulombiana a potentialului V_0 influenteaza V_{Thomas} conducind la presupuneri nerealiste asupra schimbului de gluoni.

Atunci, ecuatia pentru V_{spin} se schimba in acord cu:

$$V_{\text{Thomas}} \sim V_0 = V_{\text{scurta distanta}} + V_{\text{distanta mare}} = -\frac{4}{3} \cdot \frac{\alpha_s}{r} + kr \quad (4.48a)$$

$$V_{\text{spin-orbita}} \sim \frac{4}{3} \alpha_s \cdot \frac{1}{r} \quad (4.48b)$$

$$V_{\text{tensor}} \sim \frac{4\alpha_s}{r^3} \quad (4.48c)$$

$$V_{\text{spin-spin}} \sim -\frac{4}{3} \alpha_s \nabla^2 \left(\frac{1}{r} \right) \quad (4.48d)$$

Rezulta astfel:

$$\begin{aligned} V_{\text{spin}} = & -\frac{1}{2m^2} \vec{L} \cdot \vec{S} \cdot \frac{k}{r} + \frac{1}{2m^2} \frac{\alpha_s}{r^3} \vec{L} \cdot \vec{S} + \\ & + \frac{4}{3} \frac{1}{m^2} \frac{\alpha_s}{r^3} [3 \cdot (\vec{S}_1 \cdot \vec{r}_1)(\vec{S}_2 \cdot \vec{r}_2) - \vec{S}_1 \cdot \vec{S}_2] + \frac{32\pi\alpha_s}{9} \cdot \frac{\vec{S}_1 \cdot \vec{S}_2}{m^2} \delta(\vec{r}) \end{aligned} \quad (4.49)$$

Luind in consideratie numai "contributia hiperfina" $(-\vec{S}_1 \cdot \vec{S}_2)$ din ecuatia anterioara si contributia potentialului liniar, se obtine pentru $\Delta(m_{J/\psi} - m_{\eta_c}) = 120 \text{ MeV}$, in acord excelent cu valoarea experimentală: $120 \pm 6 \text{ MeV}$.

Starea pseudoscalara a sistemului $b\bar{b}$ (neobservata experimental) poate fi estimata cu ajutorul ecuatiei:

$$\Delta m(Y - \eta_b) = \frac{8}{9} \frac{\Gamma_{cc}(Y)}{e^2 \alpha^2} \alpha_s(m_b) \left[1 + \frac{5 \cdot 6 \alpha_s(m_b)}{\pi} \right] \quad (4.50)$$

care, impreuna cu ecuatia pentru $\alpha_s(r)$ ofera posibilitatea determinarii lui $\Lambda_{\overline{MS}}$. Astfel: $\Delta m(Y - \eta_b) = 27 / 35 / 42 \text{ MeV}$, respectiv pentru $\Lambda_{\overline{MS}}$ egal cu $100 / 200 / 300 \text{ MeV}$.

Mai mult, se poate arata ca pentru un potential liniar, contributia lui $[m^2(^3S_1) - m^2(^1S_0)]$ va fi independenta de "flavour" cuarcului.

Pentru stari cu $J \neq 0$, care nu contin amestec, se obtin valorile:

$$\begin{aligned} m_\rho^2 - m_\pi^2 &= 0.574 \text{ GeV}^2 \\ m_{D^*}^2 - m_D^2 &= 0.546 \text{ GeV}^2 \\ m_{B^*}^2 - m_B^2 &= 0.551 \text{ GeV}^2 \end{aligned} \quad (4.51)$$

Pe de alta parte, potentialele de spin-orbita si tensorial produc despicarea starilor P; pentru sistemele $c\bar{c}$ si $b\bar{b}$, raportul experimental:

$$\frac{m_{2^{++}} - m_{1^{++}}}{m_{1^{++}} - m_{0^{++}}} \approx 0.47 \text{ pentru } c\bar{c}, \text{ respectiv } 0.66 \text{ pentru } b\bar{b}, \text{ in timp ce calculul teoretic conduce la valoarea 2 daca se ia in consideratie numai } V_{LS} \text{ si respectiv 0.4 numai pentru partea tensoriala.}$$

Valoarea acestui raport pentru sistemul $c\bar{c}$ este utilizata ca un argument ca partea de distanta mare a potentialului nu are caracter vectorial. In acest caz, independent de forma potentialului, raportul este ≥ 0.8 .

Diferitele contributii la V_{spin} au dependente diferite de masa, in functie de cuarc. Aceasta dependenta poate fi utilizata pentru a prezice despicarea hipersfina a mezonilor daca se atribuie o anumita valoare masei cuarcului. Se obtine, de exemplu, ca despicarea dupa spin a starii fundamentale pentru mezonii B este:

$$\frac{m_{D^*} - m_D}{m_{B^*} - m_B} \approx \frac{m_b}{m_c} \quad (4.52)$$

dе unde $m_{B^*} - m_B = \frac{m_c}{m_b} (m_{D^*} - m_D) \approx \frac{1.5}{5} (2.010 - 1863) \approx 45 \text{ MeV}$ care trebuie comparat cu valoarea experimentală $(5325 - 5279) \approx 45 \text{ MeV}$.

Acste modele ofera de asemenea predictii si asupra latimilor rapoartelor de dezintegrare.

Latimile leptonice de dezintegrare Γ_{ee} :

$$\Gamma_{ee} = \frac{16\pi\alpha^2 3Q^2}{3m_v^2} \left| V_{q\bar{q}}(0) \right|^2 \quad (4.53)$$

dau o masura directa a lui $|\Psi_{q\bar{q}}(0)|^2$.

De exemplu, un potential liniar nu conduce la nici o dependenta de n a lui $|\Psi_n(0)|^2$; in consecinta, $\Gamma_{ee}(\Psi') = \Gamma_{ee}(\Psi)$. Experimental, s-a observat ca $\Gamma_{ee}(\Psi') = 2.37 \cdot \Gamma_{ee}(\Psi)$ indicind contributia semnificativa a potentialului coulombian in interactia $c\bar{c}$.

De asemenea, asa cum am aratat, latimile de dezintegrare ale orto- si parapozitroniumului sunt proportionale de asemenea cu $|\Psi(0)|^2$. Aceste rezultate pot fi direct transferate in cazul sistemelor $q\bar{q}$.

Astfel,

$$\Gamma(\eta_c \rightarrow \gamma\gamma) = \frac{64\pi\alpha_s^2}{27m_c^2} |\Psi(0)|^2 \quad (4.54)$$

Dezintegarile pur hadronice ale starilor ${}^1S_0({}^3S_1)$ se realizeaza prin intermediul a 2 (3) gluoni. Astfel, ne asteptam ca:

$$\frac{\Gamma(\Psi' \Psi \rightarrow \text{hadrom})}{\Gamma(\eta_c {}^1S_0 \rightarrow \text{hadroni}) \text{ sau } \Gamma(\Psi / \Psi \rightarrow e^+ e^-)} \sim \frac{\alpha_s^3}{\alpha_s^2 \text{ sau } \alpha^2} \quad (4.55)$$

Aceasta permite determinarea lui $\alpha_s(m_{\text{hyp}}) \sim 0.2$ din $\Psi \rightarrow e^+ e^-$, nu ca pe o masuratoare precisa, ci ca pe un rezultat ce relieveaza caracterul nerelativist al procesului si contributia importanta in ordinul cel mai de jos.

Latimile radiative de dezintegrare reprezinta un alt test important al modelor potențiale.

In ordinul cel mai de jos de aproximatie, pentru tranzitiile de dipol electric, latimile de dezintegrare sunt:

$$\Gamma({}^3S_1 \rightarrow {}^3P_J + \gamma) = \frac{(2J+1)4\alpha k^3 q_c^2}{27m_c^2} |I_1({}^3S_1, {}^3P_J)|^2 \quad (4.56)$$

unde k este impulsul particulei γ , iar $I_1({}^3S_1, {}^3P_J)$ reprezinta integrala de acoperire intre functiile de unda radiale.

$$I_n = \int_0^\infty r^{n+2} R_s(r) R_p(r) dr$$

Tranzitiile de dipol magnetic au latimea de dezintegrare:

$$\Gamma({}^3S_1 \rightarrow {}^3P_J + \gamma) = \frac{4\alpha k^3 q_c^2}{3m_c^2} |I_0({}^3S_1, {}^1S_0)|^2 \quad (4.57)$$

Neglijind contributiile provenind de la integralele de suprapunere, raportul latimilor de dezintegrare va fi proportional cu $(2J+1)k^3$ in cazul tranzitiilor de dipol electric.

Intr-un potential de interacție standard (potentialul liniar + coulombian), predictiile latimilor tranzitiilor de dipol electric: Γ_0 , Γ_1 și Γ_2 pentru sistemul $c\bar{c}$ sunt 50, 45 și respectiv 29 KeV, mai mari decât cele experimentale: 18, 17 și 16 KeV, rezultat care este interpretat ca efect al neconsiderării efectelor relativiste.

Cu presupunerile similare cu cele anterioare, raportul latimilor de tranzitie de dipol magnetic pentru sistemul $c\bar{c}$ este:

$$\frac{\Gamma(\Psi' \rightarrow \eta')}{\Gamma(\Psi \rightarrow \eta_c + \gamma)} = 117 \pm 2$$

fata de valoarea experimentală: $\frac{(0.2 \pm 1.3) \cdot 10^{-3} \cdot 277}{1.3 \cdot 10^{-2} \cdot 87} \text{ KeV}$

ceea ce indică o concordanță slabă, datorită probabilității acoperire pentru cele două stări să fie diferențiale, adică:

$$I_0(\Psi, \eta_c) \neq I_0(\Psi', \eta'_c) \neq 1$$

dar $I_0(\Psi, \eta'_c) = 0$.

In sectorul mezonilor ușori, atât sistemele $s\bar{s}$ cât și $u\bar{u}$ și respectiv $d\bar{d}$ și $\bar{s}\bar{u}$ și $\bar{d}\bar{u}$ prezintă similaritate fata de pozitroniu (vezi Fig. 4.4 a, b și c).

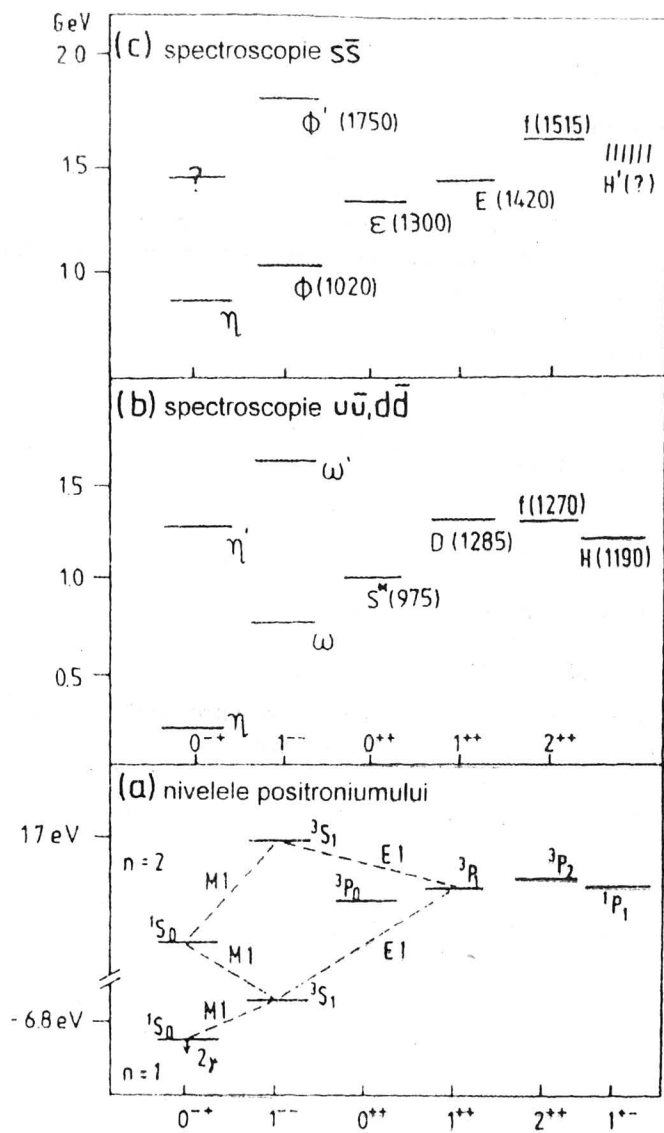


Figura 4.4
Schema de nivele ale mezonilor

Daca pentru spectroscopia sistemelor $c\bar{c}$ si $b\bar{b}$ alegerile maselor pentru cuarci ca parametrii liberi sunt putin sensibile intr-un interval de aproximativ 300 MeV in jurul unor valori de $m_c \sim 1.5$ GeV, respectiv $m_b \sim 5$ GeV (vezi Tab. 4.3 si 4.4), problema este mult mai delicata pentru cuarcii usori.

Tabelul 4.3

Comparatie intre valorile experimentale si rezultatele obtinute pe baza de model pentru functiile $(c\bar{c})$ si $(b\bar{b})$: diferente intre nivelele energetice si rapoarte de dezintegrare

1 ⁻⁻ (starea fundamentală)	$c\bar{c}$			$b\bar{b}$		
	3095 MeV			9460 MeV		
	(Exp.)	Buchmüller	Martin	(Exp.)	Buchmüller	Martin
(masa cuarcului)		1480 MeV	1800 MeV		4870 MeV	5174 MeV
2S - 1S	589	600	592	561	560	560
$r_{ee} (2S) / r_{ee} (1S)$	0.46 +0.06	0.45	0.40	0.43	0.44	0.41
3S - 1S	935	1020	937	890	890	900
$r_{ee} (3S) / r_{ee} (1S)$	0.16?	0.32	0.25	0.32	0.32	0.35
4S - 1S	1319?	1380	1185	1116	1160	1140
$r_{ee} (4S) / r_{ee} (1S)$				0.21	0.26	0.27

Tabelul 4.4

Comparatie intre valorile experimentale si rezultatele obtinute pe baza de model pentru functiile $(c\bar{c})$ si $(b\bar{b})$: despicari hiperfine

	Exp.*	Buchmüller	Eichten Feinberg	Beavis
$c\bar{c}$	$2^{++} - 1^{++}$	46 MeV	57 MeV	70 MeV
	$1^{++} - 0^{++}$	95 MeV	83 MeV	71 MeV
$b\bar{b}$	$2^{++} - 1^{++}$	21 MeV	19 MeV	26 MeV
	$x_b^+ 1^{++} - 0^{++}$	32 MeV	28 MeV	24 MeV
x_b^+	$2^{++} - 1^{++}$	16 MeV	18 MeV	17 MeV
	$1^{++} - 0^{++}$	15 MeV	21 MeV	24 MeV

Pentru sistemele usoare, rezultatele obtinute de Metsh si Petry pe baza unui model relativist sunt ilustrate in Figurile 4.5, 4.6 si 4.7.

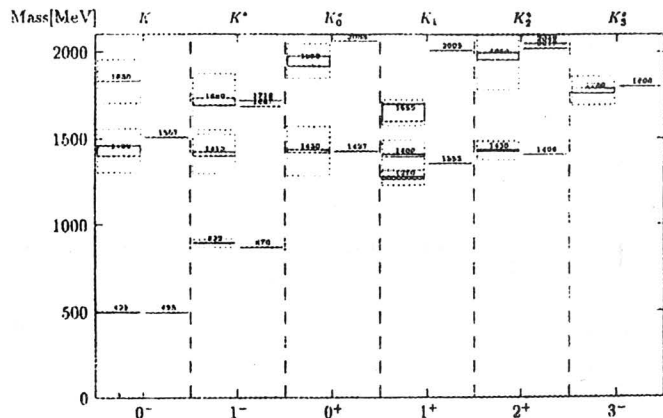


Figura 4.5

Spectrul mezonilor stranii. In partea stanga se indica pozitia experimentală a rezonantei și eroarea (printr-un dreptunghi), largimea de dezintegrare (dreptunghi punctat).
Linile din partea dreapta reprezinta masele calculate

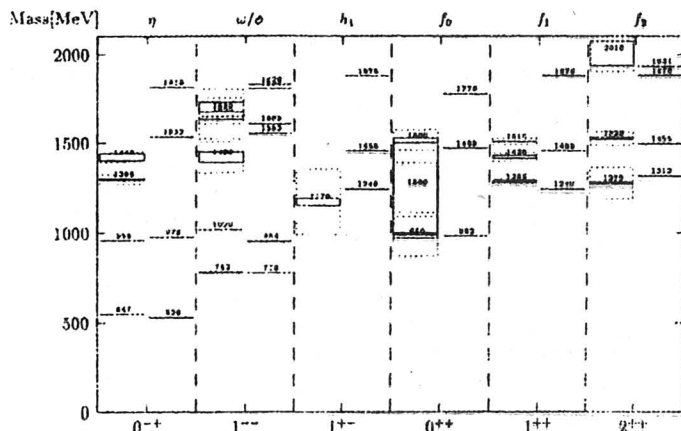


Figura 4.6
Spectrul mezonilor isoscalari.

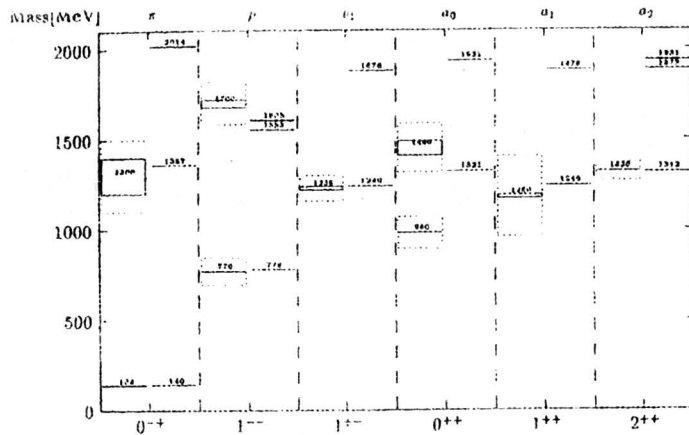


Figura 4.7
Spectrul mezonilor izovectori

Din dezintegrapile radiative ale sistemelor ρ , ω , Φ se pot sugera pentru masele de constituenti pentru cuarci valori în domeniul $m_u = m_d \sim 300 \div 400 \text{ MeV}$, $m_s \sim 500 \text{ MeV}$, adică valori cu două ori mai mari decât cele care rezultă din QCD ($m_u = 2 \div 8 \text{ MeV}$, $m_s \sim 5 \div 15 \text{ MeV}$, $m_c = 100 \div 300 \text{ MeV}$), adică în limita asimptotica $q^2 \rightarrow \infty$.

In modelele potențiale, în special cele nerelativiste, masele cuarcilor sunt mari în comparație cu energiile de legătură: dacă pentru $c\bar{c}$ $E_{leg}/2m_c \approx 0.25$, pentru sistemele de cuarci ușoare $E_{leg}/2m_u$ este în jur de 1 pentru modelele de constituenți, și mult mai mare de 1 pentru QCD.

Din analiza potențialului de spin rezultă că, datorită contribuției masei la potențial, despărțările spin-spin și spin-orbită devin mai mari pentru sistemele formate din cuarci ușoare decât pentru cele formate din cuarci grei.

$$(m_\rho - m_\pi) > m_{J/\psi} - m_{\eta_c} \quad (4.58)$$

(experimental: $(720 - 140) \text{ MeV} > (3.097 - 2.979) \text{ MeV}$).

Acest aspect face ca pentru potențialul $V_{\text{spin-spin}}$ nu este aplicabilă teoria perturbărilor.

Acest potențial este datorat exclusiv termenului coulombian de interacție, și pentru că este proporțional cu $\delta^3(r)$, dispare pentru undele P.

Atunci, masa stării 1P_J se asează în centrul de greutate pentru stările 3P_J ($J = 0, 1, 2$), astfel că:

$$m({}^1P_1) = \frac{5}{9}m({}^3P_2) + m({}^3P_1) + \frac{1}{9}m({}^3P_0) \quad (4.59)$$

ecuația prezice, în cazul sistemului, că această stare este situată la 3522 MeV.

Pentru cuarcii usori, starile $'P_1$ acceptate sunt: $b_1(1235)$: $J^G(J^{PC}) = 1^+(1^{++})$ si $K_1(1400)$: $I(J^P) = 1/2 (1^+)$. Concordanta calculelor de model cu aceste valori este remarcabila:

$$m(b_1) = \frac{1}{9} (5a_2(1320) + 3a_1(1260) + a_0(980)) = 1263 \text{ MeV} \quad (4.60a)$$

$$m(K_1) = \frac{1}{9} (5K_2^*(1430) + 3K_1^*(1270) + K_0^*(1430)) = 1365 \text{ MeV} \quad (4.60b)$$

4.2 Modele de sac de cuarci

Modelele de sac de cuarci au cunoscut un mare succes in perioada anilor '70 - '75, succes care s-a mentinut si ulterior.

In aceasta descriere a hadronilor, caracterul de constringere a cuarcilor este introdus printr-o separare a spatiului in doua faze. In regiunea de faza exterioara, considerata "vidul neperturbativ pentru QCD" orice constituenti colorati de tip cuarci si gluoni sunt interzisi. Pentru faza interioara a hadronilor, "vidul este perturbativ", si cuarcii se misca cuasilibre. Suprafata care separa cele doua faze reprezinta suprafata sacului. La masa fiecarui hadron contribuie esential energia cinetica a cuarcilor din interiorul sacului, si energia de volum a acestuia, produsa de fortele de presiune exercitate de faza externa asupra fazei interne. Deci, in aceasta imagine, hadronii sunt intelesi ca "bule" perturbative ale vidului, de volum V , imersate intr-o stare fundamentala neperturbativa.

In varianta cea mai simpla se considera cavitatea care reprezinta hadronul de forma sferica.

Constringerea cuarcilor intr-o regiune limitata a spatiului verifica ecuatie Dirac:

$$\partial\Psi(x) = m\Psi(x) \quad (4.61a)$$

presupunind pentru acestia o masa m .

Valorile proprii ale energiei cuarcilor intr-o astfel de cavitate, pentru un potential sferic, cu pereti de inaltime infinita, se scrie:

$$E_n = \frac{2.04}{R} \cdot n \quad (4.61b)$$

unde n este numarul de (anti)cuarci constrinsi in sac, si R raza sacului.

Energia totala $E(R)$ este suma dintre energia cuarcilor si energia de volum datorata fluctuațiilor vidului:

$$E(R) = \frac{2.04}{R} \cdot n + \frac{4}{3}\pi R^3 \beta \quad (4.62)$$

care trebuie minimizata in raport cu R :

$$\frac{dE}{dR} = 0 \quad (4.63)$$

rezulta ca $R = \left(\frac{n}{2\pi B}\right)^{1/2}$ si $m = E = \frac{8}{3} \frac{n}{R}$

Pentru proton, $E = m_p$ si $n = 3$, si atunci

$$R = 1.6 \text{ fm}, \text{ de unde } B^{1/4} = 100 \text{ MeV}, \text{ deci } B = 12.5 \text{ MeV/fm}^3.$$

Acest rezultat este mai mare decit raza tipica a protonului, dar este plauzibil si acceptabil, tinind cont de simplitatea evaluarii.

Introducind o energie de zero proportionala cu R^{-1} , interactia spin-spin mediată de schimbul unui gluon, o masa a cuarcului straniu de ordinul 350 MeV, si o valoare pentru constanta de cuplaj de ordinul 2.2 (foarte mare!), se pot obtine pentru mezonii mase in concordanta cu modelele potențiale; astfel, masa mezonului este:

$$m_{\text{meson}}(R) = E_0 + E_V + E_Q + E_M + E_e \quad (4.64)$$

unde: $E_0 = -\frac{Z_0}{R}$ - energia de zero

$$E_V = \frac{4}{3} \pi R^3 B$$

$$E_Q = N_{ud} \frac{\sqrt{x^2 + m_{ud}^2 R^2}}{R} + N_s \frac{\sqrt{x^2 + m_s^2 R^2}}{R}$$

cu N_q , m_q - numarul, masa si sarcina specifica a cuarcului, si x este impulsul cuarcului in unitati de R^{-1} .

Se observa ca $E_Q + E_V = E(R)$ daca $m = 0$, adica, daca impulsul (in unitati R^{-1}) este $x = 2.04$ (in cazul extrem relativist, $m \rightarrow 0$):

$$E_M = a_{ud,ud} M_{ud,ud} + a_{ud,s} M_{ud,s} + a_{s,s} M_{s,s}$$

unde M semnifica interacția magnetică de culoare, iar $a_{q,q}$ este un număr care depinde de sarcina specifică a mezonului.

In ciuda rezultatelor obtinute, există o serie de dificultăți ale acestor modele. Modelele de sac de cuarci sunt departe de a fi perfecte. Ele nu dau o bună descriere a excitărilor radiale și orbitale. Acest defect este legat de problema centrului de masa. O calitate a unor variante ale modelelor de sac de cuarci este aceea că cuarci sunt tratați relativist. Pretul platit pentru aceasta este că fiecare hadron este descris ca având funcția de undă - produs al funcțiilor de undă pentru cuarci individuali, și în consecință centrul de masa al hadronului nu este în repaus. Nu există o metodă simplă de a înălța această dificultate, și diferențele variante utilizate pentru a realiza corectă conduc la dezacord.

Toate teoriile microscopice ale forțelor nucleare trebuie să regăsească la distanțe de separare mari modelul schimbului de pioni (Yukawa), deci există o serie de

teste care pot fi verificate experimental, mai ales în cazul deuteronului. Rezolvarea acestei situații presupune introducerea suplimentară a unei contribuții difuse la suprafața sacului, presupunând un cuplaj direct cuarc - pion, sau presupunerea că mecanismul dominant la distanță mare îl reprezintă schimbul unei perechi cuarc - anticuarc. Acest fapt face ca structura sacului să fie mai complexă decât simplă adăugare a unei perechi $q\bar{q}$.

4.3 Modele nerelativiste pentru barioni

4.3.1 Modelul de oscilator armonic în studiul barionilor. **Consideratii generale**

Pentru inceput, voi considera cazul oscilatorului armonic unidimensional. Hamiltonianul corespunzător acestei probleme se exprima ca:

$$H = \frac{P^2}{2M} + \frac{1}{2}kX^2 \quad (4.65)$$

și poate fi scris sub forma:

$$H = \frac{1}{2} \sqrt{\frac{k}{m}} h = \frac{1}{2} \sqrt{\frac{k}{m}} \left(-\frac{d^2}{dx^2} + x^2 \right) \quad (4.66)$$

unde am folosit relația de scalare: $x = \sqrt{km}X$. Hamiltonianul redus are valorile proprii

$$\epsilon_n = 1 + 2n \quad \text{cu } n = 0, 1, 2, \dots$$

și funcțiile proprii:

$$\Phi_n(x) = \pi^{-1/2} \exp\left(-\frac{1}{2}x^2\right) \quad (4.67a)$$

$$\Phi_n(x) = (2^n n!) \left(x - \frac{d}{dx} \right)^n \Phi_0(x) = (2^n n!)^{1/2} H_n(x) \Phi_0(x) \quad (4.67b)$$

unde $H_n(x)$ sunt polinoamele Hermite, care au forma:

$$H_n(x) = (-1)^n \exp(x^2) \left[\left(\frac{d^2}{dx^2} \right) \exp(-x^2) \right] \quad (4.68)$$

(a nu se confunda cu H care exprima hamiltonianul!)

Cazul oscilatorului armonic tridimensional este complet rezolvabila si poate se scrie ca o baza convenabila pentru alte potentiiale.

Notind cu h_3 partea independenta de scala a hamiltonianului:

$$H = \frac{P^2}{2M} + \frac{1}{2}kR^2 = \frac{1}{2}\sqrt{\frac{k}{M}}h_3 = \frac{1}{2}\sqrt{\frac{k}{M}}(-\Delta + \vec{r}^2) \quad (4.69)$$

se vede ca aceasta poate fi scrisa ca:

$$h_3 = h_1(x) + h_1(y) + h_1(z) \quad (4.70)$$

rezultand valorile proprii:

$$\varepsilon_N = 3 + 2N, \text{ cu } N = 0, 1, 2, \dots \quad (4.71)$$

O baza posibila pentru functiile de unda este:

$$\Psi_{n_x, n_y, n_z}(\vec{r}) = \Phi_{n_x}(x)\Phi_{n_y}(y)\Phi_{n_z}(z) \quad (4.72)$$

degenerarea este: $d_N^{(3)} = \frac{1}{2}(N+1) \cdot (N+2)$

O cale alternativa de abordare o constituie utilizarea coordonatelor sferice. Aceasta tratare conduce la o notatie noua a valorilor proprii:

$$\varepsilon_{n,l} = 3 + 4n + 2l \quad (4.73)$$

Aici l reprezinta momentul kinetic orbital si n reprezinta numarul de noduri pentru functia de unda radiala redusa $u_{n,l}(\vec{r})$, a carei expresie este:

$$u_{n,l}(\vec{r}) = \sqrt{\frac{2n!}{\Gamma\left(n+l+\frac{3}{2}\right)}} r^{l+1} L_n^{l+1/2}(r^2) \exp\left(-\frac{1}{2}r^2\right) \quad (4.74)$$

L reprezinta polinoamele Laguerre; forma generala pentru acestea este:

$$L_n^\alpha(x) = \sum_{m=0}^n \frac{\Gamma(n+\alpha+1)}{\Gamma(n-m+1)\Gamma(\alpha+m+1)} \frac{(-x)^m}{m!} \quad (4.75a)$$

iar functia generatoare este data de:

$$(1-v)^{-\alpha-1} \exp\left(\frac{xv}{v-1}\right) = \sum_{n=0}^\infty v^n L_n^\alpha(x) \quad (4.75b)$$

Relatii matematice utile

$$\left[-\frac{d}{dr} - \frac{l+1}{r} + r \right] u_{n+1,l}(r) = -\sqrt{4n+4} u_{n,l+1}(r) \quad (4.76a)$$

$$\left[-\frac{d}{dr} - \frac{l+1}{r} + r \right] u_{n,l+1}(r) = -\sqrt{4n+4} u_{n+1,l}(r) \quad (4.76b)$$

$$\left[-\frac{d}{dr} - \frac{l+1}{r} - r \right] u_{n+1,l+1}(r) = -\sqrt{4n+4l+6} u_{n,l+1}(r) \quad (4.76c)$$

$$\left[-\frac{d}{dr} - \frac{l+1}{r} - r \right] u_{n,l+1}(r) = -\sqrt{4n+4l+6} u_{n+1,l+1}(r) \quad (4.76d)$$

$$\int_0^{\infty} u_{0,l}^2(r) r^{\beta} dr = \frac{\Gamma\left(\frac{3}{2} + l + \frac{\beta}{2}\right)}{\Gamma\left(\frac{3}{2} + l\right)} \quad (4.77)$$

Așa cum am arătat, există cel puțin două baze diferite pentru exprimarea funcțiilor proprii, $|n_x, n_y, n_z\rangle$ și $|n, l, m\rangle$. Între cele două baze există relația de legătură:

$$N = n_x + n_y + n_z = 2n + l \quad (4.78)$$

4.3.2 Oscilatorul armonic în cazul unui sistem de trei corpuri de mase egale

În această situație, hamiltonianul este simetric, și are forma:

$$H = \frac{\vec{p}_1^2}{2m} + \frac{\vec{p}_2^2}{2m} + \frac{\vec{p}_3^2}{2m} + \frac{1}{2} k (\vec{r}_{12}^2 + \vec{r}_{23}^2 + \vec{r}_{31}^2) \quad (4.79)$$

unde $\vec{r}_{ij} = \vec{r}_i - \vec{r}_j$ reprezintă distanța relativă între corpuri. Introducerea coordonatelor Jacobi permite separarea hamiltonianului într-o parte corespunzătoare miscării centrului de masă (care este zero în sistemul de referință al barionului), și o parte de interacție între constituenți.

Coordonatele Jacobi au forma:

$$\begin{aligned} \vec{\rho} &= \vec{r}_2 - \vec{r}_1 \\ \vec{\lambda} &= (2\vec{r}_3 - \vec{r}_1 - \vec{r}_2) / \sqrt{3} \\ \vec{R} &= (\vec{r}_1 + \vec{r}_2 + \vec{r}_3) / 3 \end{aligned} \quad (4.80)$$

și corespondentul acestora se definesc impulsurile conjugate: \vec{p}_{ρ} , \vec{p}_{λ} , \vec{p}_R . Prin aceasta schimbarea de variabilă, hamiltonianul sistemului (4.79) capătă forma:

$$H = \frac{\vec{p}_R^2}{6m} + \frac{\vec{p}_\rho^2}{m} + \frac{\vec{p}_\lambda^2}{m} + \frac{3}{4}k(\vec{\rho}^2 + \vec{\lambda}^2) \quad (4.81)$$

In aceasta scriere, hamiltonianul de interactie apare ca o suma de termeni reprezentind cazul a doi oscilatori armonici tridimensionali. Atunci, valorile proprii sunt:

$$E_N = \sqrt{\frac{3}{4}} \frac{k}{m} (6 + 2N), \text{ cu } N = 2n_\rho + l_\rho + 2n_\lambda + l_\lambda \quad (4.82)$$

Degenerarea asociata este:

$$d_N^{(6)} = \frac{1}{120} (N+1)(N+2)(N+3)(N+4)(N+5) \quad (4.83)$$

Indicele (6) se refera la cei doi oscilatori.

Baza pentru starile proprii poate fi exprimata ca:

$$|n_\rho, l_\rho, m_\rho; n_\lambda, l_\lambda, m_\lambda\rangle = |n_\rho, l_\rho, m_\rho\rangle \otimes |n_\lambda, l_\lambda, m_\lambda\rangle \quad (4.84)$$

care poate fi stabilita utilizand coeficientii Clebsch - Gordon pentru cuplarea a doua stari la o stare totala de moment unghiular: $I = I_\rho + I_\lambda$

Trebuie tinut cont de proprietatile de simetrie si de principiul Pauli, si aceasta implica recombinarea starii cu acelasi numere cuantice N, I si m , pentru a obtine stari cu simetrie bine definita la permutari (grupul de permutari corespunzator este cunoscut ca S_3).

Pentru 3 cuarci, exista 6 permutari distincte, generate de 2 operatori:

$$P_{\rightarrow}(1,2,3) = (2,3,1) \quad (4.85a)$$

$$P_{12}(1,2,3) = (2,1,3) \quad (4.85b)$$

Există trei tipuri de comportări de bază, sau în alte cuvinte trei tipuri de reprezentări ireductibile pentru grupul S_3 :

i) comportare complet simetrică:

$$\vec{\rho}^2 + \vec{\lambda}^2 = \frac{2}{3}(\vec{r}_{12}^2 + \vec{r}_{23}^2 + \vec{r}_{31}^2)$$

$$(\vec{\lambda}^2 - \vec{\rho}^2)^2 = 4(\vec{\lambda} \cdot \vec{\rho})^2$$

ii) comportare complet antisimetrică:

$$P_{\rightarrow} f = f = -P_{12} f \text{ cu posibilele exemple: } \epsilon_{\mu k}, \vec{\rho}, \vec{\lambda}$$

iii) comportare cu simetrie mixta, prototipul fiind chiar coordonatele Jacobi \vec{r}^i și $\vec{\lambda}^i$.

Orice functie de trei cuarci poate fi separata intr-o suma de functii cu comportarile de baza, utilizind identitatatile de mai jos:

$$\begin{aligned} 1 &= \frac{1}{2}(1 + P_{12}) + \frac{1}{2}(1 - P_{12}) \\ 1 &= \frac{1}{3}(1 + P_{\rightarrow} + P_{\rightarrow}^2) + \frac{1}{3}(1 + jP_{\rightarrow} + j^2 P_{\rightarrow}^2) + \frac{1}{3}(1 + j^2 P_{\rightarrow} + jP_{\rightarrow}^2) \end{aligned} \quad (4.86)$$

unde: $P_{\rightarrow}z = jz$

$P_{\rightarrow}^2 z = j^2 z$

$P_{12}z = z^*$

iar $j = \exp(2i\pi/3)$ este valoarea uzuala.

Asa cum am aratat anterior, in cromodinamica, numarul cuantic de culoare respecta regulile de simetrie tot ale grupului SU(3). In barioni, in urma cuplarii la cei trei cuarci a numarului cuantic de culoare, functia de unda rezultanta trebuie sa formeze un singlet, notat schematic ca $\Phi_c = \epsilon_{ijk}\Phi_c^i\Phi_c^j\Phi_c^k$, si care este antisimetric la schimbari intre ei ai constituentilor. Aceasta proprietate reprezinta in fapt ratiunea introducerii numarului cuantic de culoare. In completarea functiei de unda pentru barioni trebuie introduse componente de spin si de izospin, cu pastrarea caracterului antisimetric al functiei de unda totale.

4.3.3 Oscilatorul armonic in cazul unui sistem de trei corpuri de mase inegale

Pentru mase inegale, in rezolvarea oscilatorului armonic se pot alege tot coordonate Jacobi, definite ca:

$$\vec{\rho} = \vec{r}_2 - \vec{r}_1 \quad (4.87)$$

$$\vec{\lambda} = \left(\vec{r}_3 - \frac{m_1 \vec{r}_1 + m_2 \vec{r}_2}{m_1 + m_2} \right) \cdot \left(\frac{m_3(m_1 + m_2)^2}{m_1 m_2 (m_1 + m_2 + m_3)} \right)^{1/2} \quad (4.88)$$

In cazul general, prin utilizarea acestor coordonate, hamiltonianul nu este complet separabil.

Daca doi dintre constituenti au mase egale:

$$m_1 = m_2 = m$$

$$m_3 = m'$$

coordonatele Jacobi devin:

$$\vec{\rho} = \vec{r}_2 - \vec{r}_1 \quad (4.87')$$

$$\vec{\lambda} = \left(2\vec{r}_3 - \vec{r}_1 - \vec{r}_2 \right) \cdot \left(m' (2m + m') \right)^{1/2} \quad (4.88)$$

si hamiltonianul corespunzator oscilatorului armonic este rezolvabil exact. Astfel, hamiltonianul redus este:

$$H = \sum_i \frac{\vec{p}_i^2}{2m_i} + \frac{1}{2} k \sum_{i,j} \vec{r}_i^2 \quad (4.89)$$

si capata forma separabila:

$$\tilde{H} = \frac{\vec{p}_{\rho}^2}{m} + \frac{3}{4} k \rho^2 + \frac{\vec{p}_{\lambda}^2}{m} + \frac{3}{4} k \frac{m}{\mu} \lambda^2 \quad (4.90)$$

unde: $\frac{1}{\mu} = \frac{1}{3m} + \frac{2}{3m'}$

Corespunzator acestui hamiltonian, starile proprii energetice sunt:

$$E(n_{\rho}, l_{\rho}, n_{\lambda}, l_{\lambda}) = \left(\frac{3k}{4m} \right)^{1/2} (3 + 4n_{\rho} + 2l_{\rho}) + \left(\frac{3k}{4\mu} \right)^{1/2} (3 + 4n_{\lambda} + 2l_{\lambda}) \quad (4.91)$$

iar functiile de unda:

$$\Psi(n_{\rho}, l_{\rho}, n_{\lambda}, l_{\lambda}; \vec{\rho}, \vec{\lambda}) = (\alpha_{\rho} \alpha_{\lambda})^{3/4} \left[\Phi_{n_{\rho}, l_{\rho}, m_{\rho}}(\alpha_{\rho} \vec{\rho}) + \Phi_{n_{\lambda}, l_{\lambda}, m_{\lambda}}(\alpha_{\lambda} \vec{\lambda}) \right]_{l_m}$$

unde: $\alpha_{\rho} = \left(\frac{3km}{4} \right)^{1/2}$, $\alpha_{\lambda} = \left(\frac{3km'}{4} \right)^{1/2}$.

Daca $m' > m$, ca in cazul barionilor A , A_c sau A_b , atunci $\mu > m$, si excitatiile de tipul λ sunt mai joase decit analogul lor de tipul ρ . Inversul este adevarat daca $m' < m$.

4.3.4 Metoda variationala

Extinderi ale interacitiei presupun includerea fortelelor spin - spin, sau ale interactiei de trei corpuri. Tratarea matematica este realizata cu ajutorul metodelor variationale.

Calculele variationale, bazate pe principiul Rayleigh - Ritz permit determinarea starii fundamentale:

$$E_0 = \langle \Psi_0 | \tilde{H} | \Psi_0 \rangle \equiv \min \langle \varphi | \tilde{H} | \varphi \rangle \quad (4.93)$$

Prin aceasta metoda, energia de legatura este mai bine aproximata decit functia de unda, si acest fapt trebuie sa fie utilizat in aplicatii.

Aceasta procedura de minimizare poate fi aplicata pentru fiecare stare fundamentala, pentru orice sector cu paritate, moment cinetic sau proprietati de permutare definite. Energia starii poate fi aproximata folosind functiile de unda de proba, care poarta numere cuantice apropiate.

Dificultati serioase apar pentru excitatiile radiale. Se pot ignora problemele legate de ortogonalitate si se cauta valorile stationare pentru functionala:

$$E[\varphi] = \langle \varphi | \tilde{H} | \varphi \rangle \quad (4.94)$$

pentru fiecare nivel in mod independent, dar fara nici o garantie de succes.

O cautare mai sistematica consta in introducerea unui set de n functii de unda ortogonale $f_i(\alpha; \vec{\rho}, \vec{\lambda})$, care apartin subspatiului $H_n(\alpha)$, unde α este o notatie generica pentru toti parametrii. Pentru orice α dat, se diagonalizeaza hamiltonianul redus \tilde{H} , rezultind valorile proprii $\varepsilon_0(\alpha), \varepsilon_1(\alpha), \dots, \varepsilon_n(\alpha)$. Cea mai buna aproximatie a starii j se obtine impunind conditiile de minim, in raport cu toti parametrii α nivelului $\varepsilon_{j-1}(\alpha)$. In general se obtin seturi diferite de parametri pentru fiecare nivel, si in consecinta ortogonalitatea starilor s-a pierdut. Pentru restabilirea ortogonalitatii, se va adopta un set de valori de compromis pentru parametrii prin includerea tuturor nivelelor de interes.

Ca rezultat al aplicarii metodelor variationale, se obtin cteva concluzii interesante. Astfel, in cazul unei interactii de tip putere intre constituenti, $\sum B_{ij} r_{ij}^\beta$, energia de legatura obtinuta variational are dependenta:

$$E \sim \mu^{-\beta/(\beta+2)} \gamma^{\beta/(\beta+2)} \quad (4.95)$$

daca toti cuarcii au nivelele multiplicate cu ν , si coeficientii B_{ij} depind de γ .

Daca Ψ este aproximatia variationala pentru functia de unda corespunzatoare hamiltonianului, T fiind operatorul de energie cinetica, atunci:

$$\langle \Psi | T | \Psi \rangle = \frac{1}{2} \langle \Psi | \sum r_i \frac{\partial^2}{\partial r_i^2} | \Psi \rangle \quad (4.96)$$

care este teorema virialului.

Pentru un potential independent de sarcina specifica a cuarcului, sunt valabile inegalitatile:

$$E^{\text{var}}(Q\bar{Q}) + E^{\text{var}}(q\bar{q}) \leq 2E^{\text{var}}(Q\bar{q})$$

$$E^{\text{var}}(qq\bar{q}) \geq \frac{3}{2} E^{\text{var}}(q\bar{q})$$

Metoda de studiu variational folosind oscilatori armonici este posibila atit pentru barioni, cit si pentru mezoni.

In principiu, parametrul variational k va fi optimizat pentru fiecare $N = 2n_\rho + l_\rho + 2n_\lambda + l_\lambda$. Pentru valori mari ale lui N sunt necesare calcule laborioase, si apar probleme de stabilitate numérica. Atunci, in practica se optimizeaza k pentru cîteva valori mici, pentru N' , si cu k fixat se face extinderea spre stari mai inalte.

In practica, există o serie de parametrizari alternative pentru functia de unda, care dau rezultate foarte bune. Un astfel de exemplu este parametrizarea functiei de unda cu gaussiene, metoda larg folosita in fizica moleculei.

Vom discuta metoda in cazul cel mai simplu al unui sistem de doua corpuri.

Functia de unda radiala se scrie in acest caz:

$$R_{n,l} = \frac{u_{n,l}(r)}{r} = \sum_{i=1}^q c_i \left(\frac{\Gamma(3/2)}{\Gamma(3/2+l)} \right)^{1/2} \left(\sqrt{\alpha_i} r \right) \left(\frac{\alpha_i}{\pi} \right)^{3/4} \exp\left(-\frac{1}{2} \alpha_i r^2\right) \quad (4.97)$$

si se optimizeaza α_i si c_i . Pentru α_i dati, c_i pot fi obtinuti printr-o simpla diagonalizare de matrice. α_i sunt determinati prin algoritmi standard de minimizare. Termenul cu $i = 1$ coincide cu $N = 0$ din dezvoltarea de oscilator armonic.

Pentru barioni simetrici:

$$\Psi = \varphi_\alpha^3 = \left(\frac{\alpha}{\pi} \right)^{3/2} \exp\left[-\frac{1}{2} \alpha (\rho^2 + \lambda^2)\right] \quad (4.98)$$

Aceasta stare, cu $N = 0$, corespunde in dezvoltarea gaussiana la starea 1S, cu $l_\rho = l_\lambda = 0$. Similar, se pot defini parametrizările 2S, 3S, etc., presupunind $q = 2, 3, \dots$, adica $\Psi = \sum_{i=1}^q c_i \varphi_{\alpha_i}^S$. Introducerea excitarilor unghiulare $l_\rho = l_\lambda > 0$ va conduce

la configuratii de tipul qP, qD, care pot fi adaugate la cele qS.

Astfel:

$$\begin{aligned} \varphi_\alpha^P(\rho, \lambda) &= \frac{2}{\sqrt{3}} \alpha \bar{\rho} - \bar{\lambda} \varphi_\alpha^S(\rho, \lambda) \\ \varphi_\alpha^D(\rho, \lambda) &= \frac{2}{3\sqrt{5}} \alpha^2 \left[3(\bar{\rho}\bar{\lambda})^2 - \rho^2 \lambda^2 \right] \varphi_\alpha^S(\rho, \lambda) \end{aligned}$$

In cazul particular al starii fundamentale qqq pentru stari de masa $m = 1$ legate printr-un potential $V = \frac{1}{2} \sum r_{ij}$ se obtin rezultate concordante intre cele doua metode discutate pînă la $N = 6$.

In cazul unor barioni in care doi dintre cuarci au masele egale, de exemplu qqQ , Qqq , cu $q \ll Q$, functia de unda variationala va contine doi parametri asociati variabilelor ρ si λ , adica va fi de forma:

$$\varphi_{\alpha\beta}^S = \left(\frac{\alpha}{\pi}\right)^{3/4} \left(\frac{\beta}{\pi}\right)^{3/4} \exp\left[-\frac{1}{2}\left(\alpha\vec{p}^2 + \beta\vec{\lambda}^2\right)\right] \quad (4.99)$$

Considerind si numai un parametru, aproximatia pentru sistem este satisfacatoare pentru ca valorile acestuia se vor ajusta in acord cu asimetria sistemului. Pentru sistemele cu configuratie Qqq , excitatiile orbitale interne joaca un rol mai putin important decit descrierea corecta si detaliata in unda S.

4.4 Relatii de ingalitate intre masele hadronilor

In acest paragraf vom discuta mai intii dependenta de masa a energiei de legatura de 3 corpuri, si vom stabili o serie de relatii intre masele barionilor, functie de cuarcii constituenti.

i) dependenta de masa a energiei de legatura pentru 3 corpuri. Hamiltonianul:

$$H = \sum_i \frac{\vec{p}_i^2}{2m_i} + U(\vec{r}_1, \vec{r}_2, \vec{r}_3)$$

depinde invers proportional de masa constituentilor, asa ca pentru $E_0(m_1, m_2, m_3)$, energia cea mai mica este o functie concava depinzind de fiecare m_i^{-1} . Acest aspect reprezinta o consecinta importanta a independentei de sarcina a unui potential central U .

Ca o prima aplicatie, se pot compara masele sistemelor $\Lambda_b(bud)$, $\Lambda_c(cud)$, si $\Lambda(sud)$. Se gaseste urmatoarea relatie:

$$E(\Lambda_b) \leq \frac{m_b^{-1} - m_c^{-1}}{m_s^{-1} - m_c^{-1}} E(\Lambda) + \frac{m_b^{-1} - m_s^{-1}}{m_c^{-1} - m_s^{-1}} E(\Lambda_c) \quad (4.101)$$

Daca in hamiltonian se tine cont si de interactia de spin, atunci aceasta parte a interactiei se exprima ca:

$$H_{HF} = \sum_{i,j} U_{ss}(\vec{r}) \frac{\vec{\sigma}_i \cdot \vec{\sigma}_j}{m_i m_j} \quad (4.102)$$

unde $U_{ss}(\vec{r})$ reprezinta potentialul de contact pentru interactia de spin si este independent de cuarc. Hamiltonianul ramane in continuare cu dependenta de m_i^{-1} , si inegalitatea (4.101) se pastreaza.

Un alt exemplu il constituie cel al barionilor cu doi cuarci grei: $\Xi_{bb}(bbq)$, $\Xi(ccq)$, si $\Xi(ssq)$. Daca aproximatia hamiltonianului central ramane valabila, atunci:

$$E(\Xi_{bb}) \leq \frac{m_b^{-1} - m_c^{-1}}{m_s^{-1} - m_c^{-1}} E(\Xi) + \frac{m_b^{-1} - m_c^{-1}}{m_c^{-1} - m_s^{-1}} E(\Xi_{cc}) \quad (4.103)$$

Corectile hiperfine se manifesta ca $(m_q m_q)^{-1}$, si acest termen este liniar in m_Q^{-1} , dar mai apare si o dependenta de forma $U_{ss}(r_{12}) m_Q^{-2}$, care din pacate strica concavitatea in m_Q^{-1} .

Intr-un alt sector barionic poate fi analizata secventa: $\Xi^*(ssq)$, $\Omega^-(sss)$, $\Omega_c^*(ssc)$, in care cele trei particule implicate au spinul 3/2. Diferentele intre ele apar prin substituirea succesiva a unui cuarc usor cu unul straniu sau cu charm. Hamiltonianul, incluzind si termenul hiperfin este liniar in inversul masei acestui constituent, si in consecinta este valabila relatia:

$$E(\Omega_c^*) \leq \frac{m_b^{-1} - m_c^{-1}}{m_s^{-1} - m_c^{-1}} E(\Omega) + \frac{m_b^{-1} - m_c^{-1}}{m_c^{-1} - m_s^{-1}} E(\Xi^*) \quad (4.104)$$

Limitele superioare pentru relatia prezentata depind de masele constituentilor, fapt care face ca comparatia cu datele experimentale sa nu fie directa si sa depinda de model. Din aceasta cauza este de dorit gasirea unor inegalitati mai comode. Daca se considera, de exemplu, cazul a doua particule, relatia care se obtine este:

$$Q\bar{q} + q\bar{q} < 2Q\bar{q} \quad (4.105)$$

si care se poate generaliza direct pentru barioni:

$$B(MM') + B(mmm') \leq 2B(mmm') \quad (4.106)$$

Aceasta inegalitate este satisfacuta in toate evaluariile numerice bazate pe potentiiale rezonabile, netede.

O problema interesanta care se pune in contextul discutat este urmatoarea: in cazul unui sistem de N particule, daca $E(J)$ exprima energia starii fundamentale in cazul in care momentul cinetic total este J , atunci $E(J) > E(0)$, pentru $J \geq 1$.

Aceasta proprietate de interes pentru cazul barionilor nu a fost demonstrata, dar a fost verificata intr-o serie de situatii particulare. Astfel, in cazul fortelelor de interacție de tip oscilator armonic, in variabile Jacobi nivelele energetice sunt date de expresia:

$$E(n_\rho, l_\rho) + C(2n_\lambda + l_\rho + 3)$$

unde C este o constanta iar $E(n_\rho, l_\rho)$ este o functie crescatoare de l_ρ , pentru n_ρ fixat.

Starea fundamentală corespunde la $n_\rho = n_\lambda = 0$. Alegerile corespunzatoare pentru l_ρ si l_λ sunt:

$$|I_\lambda - I_\rho| \leq J \leq I_\lambda + I_\rho \quad (*)$$

si este clar ca singura posibilitate este: $J = I_\lambda + I_\rho$, altfel energia ar descreste daca am micsora valorile lui I_ρ sau I_λ .

In baza generata de variabilele Jacobi se poate exprima orice stare ca o suma de componente. In cazul unui sistem slab legat, operatorul de energie cinetica are, pentru mase egale, expresia:

$$\langle T \rangle = -\frac{1}{m} \frac{d^2}{d\rho^2} + \frac{1}{m} \frac{I_\rho(I_\rho + 1)}{\rho^2} - \left(\frac{1}{m} + \frac{1}{2m} \right) \cdot \frac{d^2}{d\lambda^2} + \frac{3}{2m} \frac{I_\rho(I_\rho + 1)}{\lambda^2}$$

si, utilizind inegalitatea:

$$-\frac{d^2}{dr^2} > \frac{1}{4r^2}$$

se obtine:

$$\langle T \rangle = \frac{1}{m} \frac{I_\rho(I_\rho + 1/2)}{\rho^2} + \frac{3}{2m} \frac{I_\rho(I_\rho + 1/2)}{\lambda^2}$$

si tinind seama si de (*), $\langle T \rangle$ poate fi minimizata in raport cu I_ρ facind alegerea $J = I_\lambda + I_\rho$. Aceasta conduce la:

$$T \geq \frac{(J+1)^2}{m} \frac{1}{\rho^2 + 2\lambda^2 / 3}$$

care poate fi reexprimata ca:

$$T \geq \frac{3}{2} \frac{(J+1)^2}{m(r_{12}^2 + r_{23}^2 + r_{13}^2)}$$

si atunci:

$$E(J) \geq \inf \left[\frac{3}{2} \frac{(J+1)^2}{m(r_{12}^2 + r_{23}^2 + r_{13}^2)} + \sum V_\theta(\mathbf{r}_\theta) \right]$$

In cazul particular in care este attractiv, valoarea obtinuta coincide cu cazul clasic.

4.5 Relatii intre potențialele cuarc - anticuarc și cuarc - cuarc

In scopul deducerii simultane a spectrelor mezonilor si barionilor se poate adopta sa numita "regula 1/2", in acord cu care:

$$V_{q\bar{q}} = \frac{1}{2} V_{q\bar{q}} \quad (4.107)$$

Aceasta regula lucreaza fenomenologic rezonabil de bine. Am aratat anterior, in Cap. 2 pe baza proprietatilor de culoare, cum apare si cum se manifesta aceasta proprietate. In cele ce urmeaza, vom discuta cteva argumente in favoarea acestei reguli.

In configurațiile particulare in care doi cuarci coincid, al treilea cuarc trebuie sa fie intr-un multiplet de culoare $\bar{3}$, astfel ca regula sa functioneze exact.

Daca potentialul este imperechiat, atunci in canalul t el contine un singlet de schimb cu un octet de schimb:

$$V_{q\bar{q}} = V_1 + V_8 \quad (4.108)$$

si, din simpla algebra de culoare in SU(3), rezulta:

$$V_{q\bar{q}} = V_1 + \frac{1}{2} V_8 \quad (4.109)$$

Cea mai simpla alegere consta in presupunerea $V_1 = 0$. Dar aceasta presupunere nu poate elimina posibilitatea unei parti care nu are confinare.

Potentialul cunoscut:

$$V = -\frac{a}{r} + br \quad (4.110)$$

poate fi interpretat ca o suprapunere intre o parte de schimb a unui gluon, pentru care regula 1/2 este exacta, si o parte de constringere liniara. Cea mai plauzibila generalizare a termenului $(br = 0)$ pentru barioni, care sa respecte proprietatile de invarianta consta in asa-numitul potential de forma Y, adica:

$$V = b \cdot \min(d_1 + d_2 + d_3) \quad (4.111)$$

minimul fiind realizat in raport cu J . Deci suma distantei intre cuarci trebuie sa fie minima, astfel incit sa se minimizeze potentialul. Se gaseste ca este valabila urmatoarea expresie:

$$\frac{1}{2} \sum r_y \leq \min(d_1 + d_2 + d_3) \quad (4.112)$$

astfel ca regula 1/2 actioneaza aproape exact.

Consideram ca reprezinta energia cea mai joasa a unui sistem de trei cuarci identici, corespunzatoare hamiltonianului:

$$H\left(m, \frac{1}{2}V\right) \geq \frac{3}{2} E_2(m; V) \quad (4.113)$$

Aceasta inegalitate poate fi generalizata pentru un sistem de N bozoni ca:

$$E_N\left(m, \frac{1}{2}V\right) \geq \frac{1}{2} N(N-1) E_2(m(N-1); V) \quad (4.114)$$

In cazul starilor fundamentale pentru mezoni si barioni este valabila inegalitatea simpla:

$$QQQ \geq \frac{3}{2} Q\bar{Q} \quad (4.115)$$

Daca cuarcii constituenti sunt diferiti, atunci:

$$Q_1 Q_2 Q_3 \geq \frac{1}{2} (Q_1 \bar{Q}_2 + Q_2 \bar{Q}_3 + Q_3 \bar{Q}_1) \quad (4.116)$$

fiind indeplinita conditia pentru fiecare pereche. Independenta de sarcina specifica nu este necesara.

O alta relatie care deriva imediat este:

$$QQQ + \overline{QQQ} \geq 3Q\bar{Q} \quad (4.117)$$

care poate explica cum rearanjarea cuarcilor este un mecanism permis pentru anihilarea simetrica barion - antibarion.

Daca raportul de mase pentru cuarcii Q si q este mare, adica: $M/m \gg 1$, atunci este valabila relatie:

$$\overline{QQQ} + qqq > 3\bar{Q}q \quad (4.118)$$

sugерind ca, de exemplu, un antibarion greu, cu charm $C = -3$, nu poate anihila in materie ordinara si va fi imprastiat elastic inainte de a dezintegra slab.

Introducerea efectelor de spin poate fi realizata in aceasta inegalitate. Astfel, pentru unda S, potentialul poate fi exprimat ca:

$$V_y = V_C(r_y) + \vec{\sigma}_i \cdot \vec{\sigma}_j V_{ss}(r_y) \quad (4.119)$$

cu o parte centrala si una spin-spin. Daca vom tine seama ca in partea de interacție a hamiltonianului intervine si dependenta de masele constituentilor, se pot compara imediat barionii cu spin 3/2 cu mezoni vectoriali utilizand potentialul de triplet de spin. Astfel, se obtin urmatoarele inegalitati, care pot fi comparate cu valorile experimentale exprimate in MeV/c².

$$\begin{aligned}\Omega > \frac{3}{2} \Phi &\quad \left(1672 > \frac{3}{2} \cdot 1020 = 1520 \right) \\ \Delta > \frac{3}{2} \rho &\quad \left(1232 > \frac{3}{2} \cdot 770 = 1155 \right) \\ K^* > K^* + \frac{1}{2} \rho &\quad (1385 > 1275) \\ \Xi^* > \rho + \frac{1}{2} \Phi &\quad (1530 > 1280)\end{aligned}\tag{4.120}$$

Sunt posibile de asemenea o serie de predictii asupra maselor unor stari care nu au fost pus in evidenta experimental:

$$\Omega_{ccc} > \frac{3}{2} J/\Psi = 4545 \text{ MeV}/c^2\tag{4.121a}$$

$$\Sigma_b^* > B^* + \frac{1}{2} \rho = 5710 \text{ MeV}/c^2\tag{4.121b}$$

In sectorul barionilor cu spin 1/2, dintre cei 3 cuarci constituenti, putem considera ca:

- o pereche are spinul 1, pentru care $\sigma_y \equiv \langle \vec{\sigma}_i \cdot \vec{\sigma}_j \rangle = 1$, ca perechea ss in Ξ si din cuplajul cu cel de-al treilea cuarc se obtine spinul 1/2;
sau

- o pereche are spin 0, pentru care $\sigma_y = 3$, ca in cazul perechii ud din Λ , si singura posibilitate de cuplare conduce la $S = 1/2$.

In barionii ca Λ , $\sigma_u = 0$, iar in Σ , $\sigma_u = -2$.

Pentru ca hamiltonianul depinde liniar de $\vec{\sigma}_i \cdot \vec{\sigma}_j$, se poate utiliza teorema de concavitate (daca hamiltonianul depinde liniar de un parametru λ , adica $H = A + \lambda B$, rezulta ca $d^2 E_0 / d\lambda^2 \leq 0$), astfel ca sunt valabile inegalitatatile:

$$\begin{aligned}M(\sigma = -2) &> \frac{3}{4} M(\sigma = -3) + \frac{1}{4} M(\sigma = 1) \\ M(\sigma = 0) &> \frac{1}{4} M(\sigma = -3) + \frac{3}{4} M(\sigma = 1)\end{aligned}\tag{4.122}$$

In cazul unor barioni cu structura qqQ , adica din familiile si, sunt valabile relatiile:

$$\begin{aligned}\Lambda_Q &> \frac{1}{2}(q\bar{q})_{J=0} + \frac{3}{4}(Q\bar{q})_{J=1} + \frac{1}{4}(Q\bar{q})_{J=0} \\ \Sigma_Q &> \frac{1}{2}(q\bar{q})_{J=0} + \frac{1}{4}(Q\bar{q})_{J=1} + \frac{3}{4}(Q\bar{q})_{J=0}\end{aligned}\tag{4.123}$$

care, in inlocuirile concrete sunt verificate; in paranteza, pentru control, sunt date valorile experimentale exprimate in MeV/c^2 .

$$\begin{aligned}\Lambda &> \frac{1}{2}\pi + \frac{3}{4}K^* + \frac{1}{4}K & (1116 > 863) \\ \Lambda_c &> \frac{1}{2}\rho + \frac{3}{4}D^* + \frac{1}{4}D & (2282 > 2042)\end{aligned}\quad (4.123')$$

si permit predictii pentru barionii bottom sau charm:

$$\begin{aligned}\Lambda_b &> \frac{1}{2}\pi + \frac{3}{4}B^* + \frac{1}{4}B = 5379 \text{ MeV/c}^2 \\ \Sigma_b &> \frac{1}{2}\rho + \frac{3}{4}B + \frac{1}{4}B^* = 5670 \text{ MeV/c}^2 \\ \Xi_{cc} &> \frac{1}{2}J/\Psi + \frac{3}{4}D + \frac{1}{4}D^* = 3441 \text{ MeV/c}^2 \\ \Xi_c &> \frac{1}{2}K^* + \frac{3}{8}D + \frac{3}{8}D_s^* = 2400 \text{ MeV/c}^2\end{aligned}\quad (4.124)$$

Extinderea acestor relatii in cazul barionilor constituiti din cuarci diferiti necesita modificarile ale relatiilor initiale. Astfel, energiile cinetice pot fi exprimate ca:

$$\frac{\vec{p}_1^2}{2m_1} + \frac{\vec{p}_2^2}{2m_2} + \frac{\vec{p}_3^2}{2m_3} = \frac{1}{2} \frac{(\vec{p}_1 + \vec{p}_2 + \vec{p}_3)^2}{m_1 + m_2 + m_3} + \frac{1}{2} \sum_{i < j} \frac{(m_j \vec{p}_i - m_i \vec{p}_j)^2}{(m_1 + m_2 + m_3)} \quad (4.125)$$

Atunci, daca introducem variabilele mai comode pentru o astfel de situatie, adica:

$$p_y = \frac{m_j \vec{p}_i - m_i \vec{p}_j}{m_i + m_j}, \quad \mu_y = \frac{m_i m_j}{m_i + m_j}, \quad \tilde{\mu}_y = \frac{m_1 + m_2 + m_3}{m_i + m_j} \quad (4.126)$$

hamiltonianul redus pentru barion este:

$$h_3 = \frac{1}{2} \sum_{i < j} \left[\tilde{p}_y^2 / \tilde{\mu}_y + v(r_y) \right] \quad (4.127)$$

si in aceasta exprimare:

$$E_3(m_1, m_2, m_3; \frac{1}{2}v) \geq \frac{1}{2} \sum_{i < j} E_2(\tilde{\mu}_y, v) \quad (4.128)$$

care corespunde unei aproximatii foarte bune.

Există cîteva trasaturi noi. În cazul în care $m_1 = m_2 = m$ și $m_3 = M$, obținem:

$$E_3(m, m, M; \frac{1}{2}v) \geq \frac{1}{2} E_2(m, v) + E_2(2mM / (m + M), v) \quad (4.129a)$$

$$E_3\left(m, m, M; \frac{1}{2}v\right) \geq \frac{1}{2}E_2\left(\frac{1}{2}m, +\frac{1}{4}M, v\right) + E_2\left(mM(M+2m)/\left(m+M\right)^2, v\right)$$
(4.129b)

Pentru $M < 2m$, masele constituentilor cerute de inegalitatea (4.129b) sunt mai mici decit cele corespunzatoare la (4.129a), si in consecinta limita este mai buna. Pentru M mari, cele doua inegalitati conduc la relatiile mai simple:

$$\begin{aligned} E_3 &> \frac{1}{2}E_2(m) + E_2(2m) \\ E_3 &> \frac{1}{2}E_2(\infty) + E_2(m) \end{aligned}$$
(4.130)

E_2 este o functie concava in raport cu inversul masei reduse. Pentru cazul particular al unui potential putere, limitele relatiilor (4.129a) si (4.129b) sunt proportionale respectiv cu functiile:

$$\begin{aligned} A &= \frac{1}{2} + \left[2x/(1+x)\right]^\gamma \\ B &= \frac{1}{2}\left(\frac{1}{2} + \frac{x}{4}\right)^\gamma + \left[\frac{x \cdot (2+x)}{(1+x)^2}\right]^\gamma \end{aligned}$$
(4.131)

unde:

$$\gamma = -\frac{\beta}{\beta+2}$$

si

$$x = \frac{M}{m}$$

Extinderea acestor inegalitati pentru stari excitate nu este o problema simpla, si nu o vom aborda aici.

Capitolul 5

Hadroni exotici

5.1 Hadronii multicuarci

Am aratat anterior ca pentru un sistem de n cuarci colorati care interacioneaza prin schimb de gluoni vectoriali aflati in stari de octet, energia (masa) starii se calculeaza ca:

$$M(n) = \sum_i m_{q_i} + V\left(\lambda_{tot}^2 - \frac{4}{3} \cdot n\right) \quad (5.1)$$

λ_{tot}^2 fiind operatorul Casimir de culoare in SU(3), corespunzator reprezentarii sistemului. Daca potentialul de interactie este:

$$V = \frac{3}{4}(m_q - \varepsilon) \quad (5.2)$$

atunci, in ipoteza ca toti cuarcii au aceiasi masa,

$$M(n) = \frac{3}{4}m_q\lambda_{tot}^2 + \frac{3}{4}\varepsilon \cdot \left(\frac{4}{3}n - \lambda_{tot}^2\right) \quad (5.3)$$

Atunci cind masa cuarcului $m_q \rightarrow \infty$, masa sistemului rămîne finită numai cind $\lambda_{tot}^2 = 0$, situație care se realizează numai pentru singletii de culoare, caz în care masa sistemului este $M(n) = n \cdot \varepsilon$.

Fenomenologic, putem considera că, pentru mezonii sau barionii formati numai din cuarci u și/sau d , de exemplu mezonul $\rho(770)$, și nucleonul $N(939)$, valoarea estimată pentru masa cuarcului este $\varepsilon \approx 310 \pm 380$ MeV; pentru hadronii stranii $\varepsilon \approx 510 \pm 560$ MeV (de exemplu $\Phi(1019)$, $\Omega(1672)$), respectiv $\varepsilon \approx 1500$ MeV pentru cuarcul c , iar cantitatea de excitare unghiulară contribuie cu circa 400 MeV.

Atunci masele tipice pentru singletii de culoare sunt:

$$M(q\bar{q})_{L=0} \sim 700 \text{ MeV} \text{ (pentru sisteme formate numai din } u \text{ și } d\text{);}$$

$$M(q\bar{q})_{L=0} \sim 800 \text{ MeV} \text{ (pentru mezonii cu un cuarc straniu);}$$

$M(q\bar{q})_{L=0} \sim 1000 \text{ MeV}$ (pentru cei stranii) pe cind pentru barioni aceste evaluari conduc la:

$$M(qqq)_{L=0} \sim 1100 \text{ MeV} \text{ (în cazul N și } \Delta\text{), și respectiv}$$

$$M(qqq)_{L=0} \sim 1500 \text{ MeV} \text{ în cazul } N^*, \text{ etc.}$$

Introducerea cuplajelor izospin-izospin și spin-spin în schimbul de gluoni va deplasa nivelele de energie ale discretelor stări de spin în același multiplet.

Reamintesc că $\langle F_1 \cdot F_2 \rangle = -\frac{4}{3}$ este relevantă în schimbul de gluoni între q și \bar{q} , iar $\langle F_1 \cdot F_2 \rangle_3 = -\frac{2}{3}$ apare între qq .

Faptul că în ambele cazuri semnul este negativ, conduce la concluzia că stările 0^+ sunt mai joase în masa decit cele 1^+ , și respectiv stările $\frac{1}{2}^+$ mai joase decit stările $\frac{3}{2}^+$.

Interacțiile izospin - izospin FF și spin - spin SS conduc la deplasări în masa în raport cu energia medie a multipletului. Pentru că valoarea acestei deplasări nu poate fi fixată fără introducerea unui potential concret, consider că aceasta valoare este Δ .

În consecință vom obține:

$$0^+ - \Delta; 1^+ + \frac{1}{3}\Delta \quad (5.4a)$$

și respectiv:

$$\frac{1}{2}^+ - \frac{1}{2}\Delta; \frac{3}{2}^+ + \frac{1}{2}\Delta \quad (5.4b)$$

Din identificarea cu stări fizice mezonice și barionice, valoarea acestei deplasări este $\Delta \approx 300$ MeV, și atunci:

$$\begin{aligned}
 M(u\bar{u}, d\bar{d})_0 &\sim 400 \text{ MeV } (\eta) \\
 M(u\bar{u}, d\bar{d})_1 &\sim 800 \text{ MeV } (\rho) \\
 M(uud)_{\frac{1}{2}} &\sim 950 \text{ MeV } (N) \\
 M(uud)_{\frac{3}{2}} &\sim 1250 \text{ MeV } (\Delta)
 \end{aligned} \tag{5.5}$$

care este intr-o concordanta buna cu lumea particulelor reale.

Dupa $q\bar{q}$, cel mai simplu sistem mezonic ca singlet de culoare este $qq\bar{q}\bar{q}$ (notat $q^2\bar{q}^2$).

Cu masele estimate mai inainte, pentru sistemul $q^2\bar{q}^2$ in unda S masa va fi de ordinul 1400 MeV ($u^2\bar{u}^2$), pina la 2000 MeV pentru $s^2\bar{s}^2$ inainte de introducerea despicarilor dependente de spin. Pentru aceste sisteme in unda S vom avea: $J^P = 0^+, 1^+, 2^+$. Aceste numere cuantice coincid cu cele pe care le au sistemele $q\bar{q}$ in unda P, pentru care ma astept ca masele sa fie de ordinul 1100 MeV inainte de includerea despicarilor dependente de spin. Dupa ce despiciarea spin-spin este inclusa, starile cele mai joase vor fi coborite in masa. Starile 0^+ pentru sistemele $q\bar{q}$ si $q^2\bar{q}^2$ pot fi de acelasi ordin de marime.

Un sistem $(q\bar{q})$ este continut in reprezentarile: $3 \otimes 3 = 6 \oplus \bar{3}$ din SU(3) de sarcina. Continutul explicit si sarcinile acestor multipleti sunt aratare in Tabelul 5.1.

Tabelul 5.1
Structura si sarcinile pentru multipletii $\bar{3}$ si 6 din SU(3)

$3 \otimes 3$	=	6	\oplus	$\bar{3}$
		$uu \rightarrow \frac{4}{3}$		$\frac{1}{\sqrt{2}}(ud - du) \rightarrow \frac{1}{3}$
		$\frac{1}{\sqrt{2}}(ud + du) \rightarrow \frac{1}{3}$		$\frac{1}{\sqrt{2}}(us - su) \rightarrow \frac{1}{3}$
		$dd \rightarrow -\frac{2}{3}$		$\frac{1}{\sqrt{2}}(ds - sd) \rightarrow -\frac{2}{3}$
		$\frac{1}{\sqrt{2}}(us + su) \rightarrow \frac{1}{3}$		
		$\frac{1}{\sqrt{2}}(ds + sd) \rightarrow -\frac{2}{3}$		
		$ss \rightarrow -\frac{2}{3}$		

In consecinta, $\bar{3} \otimes \bar{3} = \bar{6} \oplus \bar{3}$ va conduce la multipleti cu structura si sarcina electrica inversata.

Sistemul $q^2\bar{q}^2$ va avea structura:

$$(3 \otimes 3) \otimes (\bar{3} \otimes \bar{3}) = (6 \oplus \bar{3}) \otimes (\bar{6} \oplus 3) = 6 \otimes \bar{6} + 6 \otimes 3 + \bar{3} \otimes \bar{6} + \bar{3} \otimes 3 \quad (5.6)$$

Cu diagrame de ponderi, pentru sistemul qq in multipletul $\bar{3}$ avem (vezi Fig. 5.1):

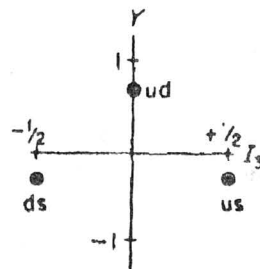


Fig. 5.1
Diagrama de ponderi pentru sistemul qq

in timp ce pentru perechea $\bar{q}\bar{q}$ obtinem Fig. 5.2:

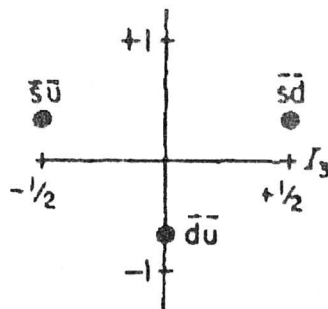


Fig. 5.2
Diagrama de ponderi pentru sistemul $\bar{q}\bar{q}$

Pentru sistemul $q^2\bar{q}^2$ corespunde o structura de nonet, asa cum este indicat in Figura 5.3.

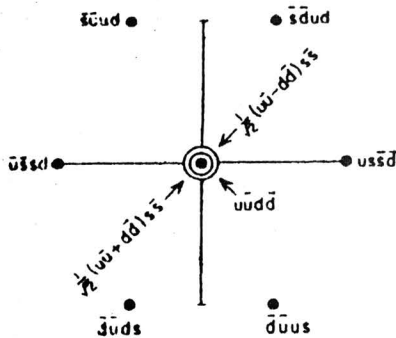


Figura 5.3
Diagrama de ponderi pentru sistemul $q^2\bar{q}^2$

Din principiul lui Pauli rezulta ca numarul de stari permise este J^P .

O pereche de cuarci are spinul $S = 0$ sau 1 , in $SU(3)_{\text{afoma}}$ acestia pot exista in multipleti $\bar{3}$ sau 6 , iar in $SU(3)_{\text{culoare}}$ in multipleti de $\bar{3}$ si 6 .

Daca in aceste cazuri vom considera optiunea antisimetrica si simetrica la inversarea indicilor, principiul de exclusiune al lui Pauli permite numai combinatii antisimetrice la inversarea indicilor, si atunci, luind in considerare pentru qq (sau $\bar{q}\bar{q}$) produsul direct $spin \otimes SU(3) \otimes SU(3)$, sa obtinem urmatoarele combinatii posibile:

	qq	$\bar{q}\bar{q}$
ASS	$S = 0; 6; \tilde{6}$	$S = 0; \bar{6}; \tilde{\bar{6}}$
SAS	$S = 1; \bar{3}, \tilde{6}$	$S = 1; 3; \tilde{6}$
SSA	$S = 1; 6, \tilde{3}$	$S = 1; \bar{6}, \tilde{3}$
AAA	$S = 0; \bar{3}, \tilde{\bar{3}}$	$S = 0; 3, \tilde{3}$

(5.7)

Dintre toate imperecherile posibile intre qq si $\bar{q}\bar{q}$ trebuie selectate numai cele care conduc la stari de singlet de culoare.

Astfel:

$(0^+, 6) \otimes (0^+, \bar{6})$	$\bar{6} \times \bar{\bar{6}} \rightarrow 0^+, 36$
$(0^+, 6) \otimes (1^+, 3)$	$\bar{\bar{6}} \times \bar{\bar{6}} \rightarrow 1^+, 18$
$(1^+, \bar{3}) \otimes (0^+, \bar{6})$	$\bar{\bar{6}} \times \bar{\bar{6}} \rightarrow 1^+, 18$
$(1^+, \bar{3}) \otimes (1^+, 3)$	$\bar{\bar{6}} \times \bar{\bar{6}} \rightarrow 0^+, 1^+, 2^+, 9$
$(1^+, 6) \otimes (1^+, \bar{6})$	$\bar{\bar{3}} \times \bar{\bar{3}} \rightarrow 0^+, 1^+, 2^+, 36$
$(1^+, 6) \otimes (0^+, 3)$	$\bar{\bar{3}} \times \bar{\bar{3}} \rightarrow 1^+, 18$
$(0^+, \bar{3}) \otimes (1^+, \bar{6})$	$\bar{\bar{3}} \times \bar{\bar{3}} \rightarrow 1^+, \bar{18}$
$(0^+, \bar{3}) \otimes (0^+, 3)$	$\bar{\bar{3}} \times \bar{\bar{3}} \rightarrow 0^+, 9$

(5.8)

Atunci, starile S permise sunt:

J^P	Multipletul in care apare
2^+	9, 36
1^+	9, 18, 18^* , $\bar{18}$, $\bar{18}^*$, 36
0^+	9, 9^* , 36, 36^*

(5.9)

Valoarea asteptata pentru interactia de schimb de gluoni intre orice q sau \bar{q} din starea $q_1 q_2 \bar{q}_3 \bar{q}_4$ este:

$$H = \Delta \sum_{i \neq j} F_i F_j S_i S_j \equiv -\frac{1}{4} \Delta \sum_{i \neq j} \lambda_i \lambda_j S_i S_j \quad (5.10)$$

In aceasta expresie, Δ da scara de masa a fenomenului. De exemplu:

$$\begin{aligned} 9 &\equiv (1^+, 6_c)_{3,f} \otimes (1^+, \bar{6}_c)_{\bar{3},f} \\ 36 &\equiv (1^+, 3_c)_{6,f} \otimes (1^+, \bar{3}_c)_{6,f} \end{aligned} \quad (5.11)$$

Rescriind hamiltonianul, si separand o parte qq sau $\bar{q}\bar{q}$ si alta $q\bar{q}$, rezulta:

$$\begin{aligned} \frac{4H}{\Delta} &= -[\lambda_1 \lambda_2 S_1 S_2 + \lambda_3 \lambda_4 S_3 S_4] - \\ &[\lambda_1 \lambda_3 S_1 S_3 + \lambda_2 \lambda_4 S_2 S_4 + \lambda_1 \lambda_4 S_1 S_4 + \lambda_2 \lambda_3 S_2 S_3] \end{aligned} \quad (5.12)$$

Pentru ca $q_1 q_2$ sau $\bar{q}_3 \bar{q}_4$ sunt fiecare stari de 1 spin, atunci:

$$\langle S_1 \cdot S_2 \rangle = \langle S_3 \cdot S_4 \rangle = \frac{1}{4}$$

$$\langle \lambda_1 \lambda_2 \rangle = \langle \lambda_3 \lambda_4 \rangle = \begin{cases} \frac{4}{3} & \text{in } 6_c \\ -\frac{8}{3} & \text{in } 3_c \end{cases} \quad (5.13)$$

Considerind ca exemplu cazul starii 2^+ , toate perechile qq , $\overline{q}\overline{q}$ sau $q\overline{q}$ sunt in stare de spin 1, si atunci $\langle S_i S_j \rangle = \frac{1}{4}$ pentru toate combinatiile. In consecinta:

$$\frac{4H}{\Delta} = -\frac{1}{4} \left\langle \sum_{i \neq j} \lambda_i \lambda_j \right\rangle \equiv -\frac{1}{4} \left\langle \lambda_1 \lambda_3 + \lambda_2 \lambda_4 + (\lambda_1 + \lambda_3) \cdot (\lambda_2 + \lambda_4) \right\rangle \equiv$$

$$\equiv -\frac{1}{4} \left\langle \lambda_1 \lambda_3 + \lambda_2 \lambda_4 + \lambda_{13}^{q\bar{q}} \cdot \lambda_{24}^{q\bar{q}} \right\rangle \quad (5.14)$$

Pentru orice pereche i,j vom avea:

$$2\lambda_i \lambda_j \equiv \lambda_{i+1}^2 - \lambda_i^2 - \lambda_j^2 \quad (5.15)$$

dici:

$$\lambda_1 \lambda_3 \equiv \frac{1}{2} \left(\lambda_{13}^2 - 2\lambda_q^2 \right)$$

$$\lambda_2 \lambda_4 \equiv \frac{1}{2} \left(\lambda_{24}^2 - 2\lambda_q^2 \right) \quad (5.16)$$

$$\lambda_{13} \lambda_{24} \equiv \frac{1}{2} \left(\lambda_{tot}^2 - 2\lambda_{13}^2 - 2\lambda_{24}^2 \right)$$

Pentru ca: $\lambda_q^2 \equiv \lambda_{\bar{q}}^2 = +\frac{13}{3}$ pentru 3_c sau $\overline{3}_c$, in final ajungem la:

$$\langle H \rangle = -\frac{1}{16} \cdot \frac{1}{2} \left(\lambda_{tot}^2 - 4\lambda_q^2 \right) \Delta = +\frac{2}{3} \Delta \quad (5.17)$$

pentru ca $\lambda_{tot}^2 = 0$ pentru singletul de culoare.

Acest rezultat este independent de valorile separate pentru $\lambda_{13(24)}^2$. Valoarea maxima pentru spin este 2^+ si masele hadronilor din noneti vor fi degenerate.

Daca consideram valoarea pentru $\Delta \approx 300$ MeV, atunci stariile 2^+ vor fi urcate cu circa 200 MeV fata de masa medie:

$$M(u\bar{u}d\bar{d} \text{ etc})_{2^+} \approx \left\{ \frac{1}{2} \left[M(u\bar{u}, d\bar{d})_0 + M(u\bar{u}, d\bar{d})_1 \right] \right\} \times 2 + \frac{2}{3} \Delta = \\ = \left\{ \frac{1}{2} (400 + 800) \right\} \times 2 + 200 = 1200 + 200 = 1400 \text{ (MeV)} \quad (5.18a)$$

$$M(u\bar{u}s\bar{d}, \dots)_{2^+} \approx 1750 \div 2100 \text{ MeV} \quad (5.18b)$$

$$M(u\bar{u}s\bar{s}, \dots)_{2^+} \approx 1900 \div 1950 \text{ MeV} \quad (5.18c)$$

pentru starile de nonet. În reprezentarea 36, starile 2^+ ar avea masele:

$$M(u\bar{u}s\bar{s}, \dots)_{2^+} \approx 2050 \div 2100 \text{ MeV} \quad (5.18d)$$

$$M(s\bar{s}s\bar{s}, \dots)_{2^+} \approx 2200 \div 2250 \text{ MeV} \quad (5.18e)$$

În aceste stări $q^2\bar{q}^2$, spinul și culoarea pot recupla astfel ca sistemul dezintegrează în:

$$q^2\bar{q}^2 \rightarrow (q\bar{q})(q\bar{q}) \quad (5.19)$$

Considerind că:

$$(q_1 q_2)_{J_A} (\bar{q}_3 \bar{q}_4)_{J_B} \leftrightarrow (q_1 \bar{q}_3)_{J_C} (q_2 \bar{q}_4)_{J_D}, \quad (5.20)$$

$J_{A,B}$ va fi 0^+ sau 1^+ , pe cind $J_{C,D}$ sunt $0^+(P)$ sau $1^+(V)$. Atunci cind:

$$[J_A \otimes J_B] = [\alpha P P + \beta P V + \gamma V P + \delta V V], \quad (5.21)$$

rezultările sunt:

$$\begin{aligned} (0^+ \otimes 0^+)_{0^+} &= \frac{1}{2} P P + \frac{3}{2} V V \\ (1^+ \otimes 1^+)_{2^+} &= P V \\ (1^+ \otimes 1^+)_{1^+} &= \frac{1}{2} (P V + V P) \\ (1^+ \otimes 1^+)_{0^+} &= \frac{3}{2} P P - \frac{1}{2} V V \\ (1^+ \otimes 0^+)_{1^+} &= -\frac{1}{2} (V P - P V) + \frac{1}{2} P V \\ (0^+ \otimes 1^+)_{1^+} &= \frac{1}{2} (V P - P V) + \frac{1}{2} P V \end{aligned} \quad (5.22)$$

In procesul de recuperare a cuarcilor are loc si o recuperare dupa culoare astfel incit sa se obtina culoare alba.

Starea initiala poate cupla $(\bar{3}_c \otimes 3_c)$ si respectiv $(6_c \otimes 6_c)$ la culoarea alba, pe cind starea finala $(q\bar{q})(q\bar{q})$ va fi o combinatie liniara intre $(1_c \otimes 1_c)_{1,c}$ si $(8_c \otimes 8_c)_{1,c}$. Coeficientii caracteristici din recuperare sunt listati in Tabelul 5.2

Tabelul 5.2

Coefficientii Clebsch - Gordan pentru produsele (1×1) si respectiv (8×8) care conduc la singleti de culoare

	$1_c \otimes 1_c$	$8_c \otimes 8_c$
$3_c \otimes 3_c$	$\frac{1}{\sqrt{3}}$	$-\frac{2}{\sqrt{3}}$
$6_c \otimes 6_c$	$\frac{2}{\sqrt{3}}$	$\frac{1}{\sqrt{3}}$

Cunoasterea recuperarilor de culoare si spin permite calculul produsului $\lambda\lambda ss$ care cere schimbul unui gluon intre q si \bar{q} .

5.2 Surse de mezoni gluonici

Cromodinamica sugereaza ca particulele avind cel putin un gluon constituent in structura trebuie sa existe, si aceste particule se numesc "glueball" si/sau hibrizi. Lipsa unei predictii referitoare la existenta si domeniul de masa in care acestea ar putea exista este una dintre deficiențele cele mai importante ale modelului standard.

Există unele calcule teoretice bazate pe modelul de sac de cuarci, sau pe modelul potential, care prezic spectrul de masa pentru glueball, dar practic nu există concordanță între ele. Majoritatea lor sugerează că cele mai mici mase ale acestor noi stări vor exista în regiunea dintre 0.5 și 2 GeV.

Alte predictii, ca de exemplu cele bazate pe teoria "lattice"-lor sugereaza ca starea cea mai joasa este 0^{++} , ca masa in domeniul $1500 + 1750$ MeV, si $m(2^{++})/m(0^{++}) = 1.5$.

Folosind modelul tubului pentru flux, se obtine ca starile hibride cele mai joase sunt in domeniul:

$$m(1^-, 0^-, 1^+, 2^{++}) \approx 1900 \text{ MeV}$$

In consecinta, aceste stari cu structura distincta de cele $q\bar{q}$ se gasesc in acelasi interval de masa ca si membrii normali ai nonetului mezonic.

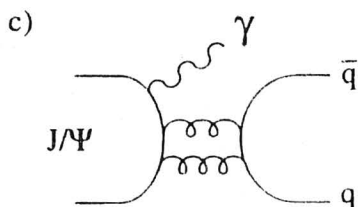
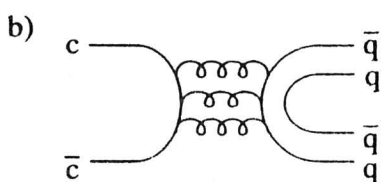
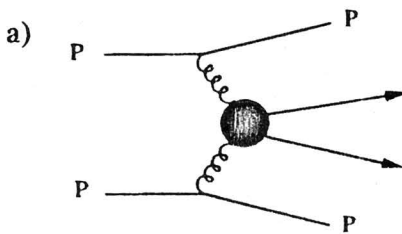
O problema specifică care apare in acest context constă in metoda de identificare. In continuare vom sugera cîteva posibile cai de identificare a starilor gluonice.

- Identificarea de stari cu numere cuantice J^P interzise pentru mezonii normali $q\bar{q}$, de exemplu $J^P = 1^+$.

- Adesea, cele mai joase stari care nu au structura $q\bar{q}$ sunt prezise a avea aceleasi numere cuantice cu starile comune $q\bar{q}$. Atunci, este necesar sa studiem mai amanuntit extra-starile adica acele stari care au aceleasi numere cuantice cu particulele normale dar ale caror mase sunt suficient de mici ca sa nu poata fi considerate excitari radiale ale starilor normale din nonet.

- Daca o stare suplimentara fata de cele "normale" a fost izolata, si ea este un candidat pentru o particula non- $q\bar{q}$, trebuie determinate cu atentie care sunt rapoartele de dezintegrare, in scopul identificarii unora neuzuale, cit si daca acestea apar in procese considerate ca avind loc prin intermediul unor stari considerate gluonice.

In Fig 5.4 sunt indicate cteva configuratii dinamice care sunt considerate surse posibile de gluoni.



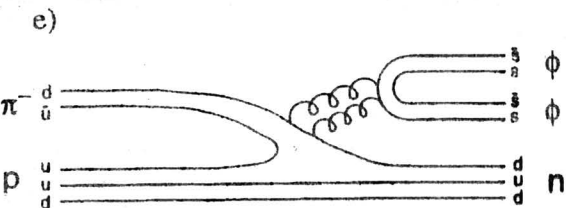
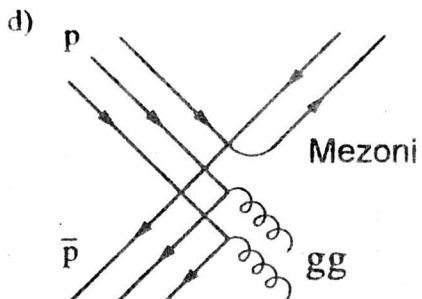


Figura 5.4
Procese de interactie considerate si surse de mezoni gloonici

Imprastierea din Fig. 5.4 a este cunoscuta in literatura ca imprastierea "pomeron-pomeron": **Pomeronul este**, in acceptiune teoretica, o structura ce poate fi descrisa ca o stare multiuciarc si care este responsabila de valoarea mare a sectiunii de difractie de reactie. In consecinta, schimbul dublu de pomeron este considerat ca o sursa posibila de **glueball**.

Dezintegralorile J/ψ sunt de asemenea considerate ca avind un continut mare de gluoni, atit ca dezintegrali hadronice (Fig. 5.4 b) cit si ca dezintegrali radiative (Fig. 5.4 c).

Figura 5.4 d corespunde anihilarii proton - antiproton; regiunea de anihilare a cuarciilor si anticuarciilor este o sursa de gluoni in care pot fi produsi glueball si hibrizi.

Unele reactii hadronice, ca in exemplul din Figura 5.4 e sunt realizate prin mecanisme care presupun intreruperea liniilor de cuarci (anticuarci) intre stariile initiala si finala.

Propagarea interactiei este realizata printr-o stare intermediara, care contine gluoni. In principiu, aceste diagrame sunt interzise OZI, iar obtinerea starii finale respective indica o violare a acestei reguli.

5.3 Mezonii hibrizi

Studiile teoretice referitoare la mezonii hibrizi sunt în prezent la început. Cea mai simplă structură mezonica hibridă este în esență de forma: $q\bar{q}g$.

Utilizând următoarele notări:

- $l_{q\bar{q}}$ - impulsul orbital relativ între q și \bar{q} ;
- l_g - impulsul orbital relativ între gluon și centrul de masă al sistemului;
- $S_{q\bar{q}}$ - spinul total al sistemului de cuarci;
- J_g momentul cinetic total al gluonului

și:

$$L = l_{q\bar{q}} + J_g$$

atunci, paritatea și conjugarea de sarcină pentru un astfel de hibrid vor fi date de:

$$\begin{aligned} P &= (-1)^{l_{q\bar{q}}+l_g} \\ C &= (-1)^{l_{q\bar{q}}+S_{q\bar{q}}+1} \end{aligned} \quad (5.23)$$

Vom considera modelul cuarc de constituente pentru hibrizi, într-o variantă nerelativistă, aplicată unei ecuații Schrödinger, pentru un potențial independent de spin, acționând în spațiul de culoare și de configurații. Potențialul este reprezentat printr-o matrice în spațiul culorii.

Presupunem de asemenea că interacția este de tip armonică, ceea ce înseamnă că interacția dintre constituente este proporțională cu matricea de culoare (T^a_j). Această alegere sugerează ideea că constringerea între cei doi constituente trebuie să fie proporțională cu sarcina lor de culoare.

Hamiltonianul care descrie interacția poate fi scris în următoarea formă:

$$H = \frac{p_q^2}{2m_q} + \frac{p_{\bar{q}}^2}{2m_{\bar{q}}} + \frac{p_g^2}{2m_g} + V(r_q, r_{\bar{q}}, r_g) \quad (5.24)$$

unde:

$$V(r_q, r_{\bar{q}}, r_g) = b_0 \sum_a \left[T_q^a T_{\bar{q}}^a (r_q - r_{\bar{q}})^2 + T_g^a T_{\bar{q}}^a (r_g - r_{\bar{q}})^2 + T_g^a T_q^a (r_g - r_q)^2 \right] \quad (5.25)$$

În această scriere, matricea de culoare T^a reprezintă în fapt matricea generatorilor grupului SU(3) de culoare. În notări consacrate,

$$(T_q^a)_y = \frac{\lambda_y^a}{2} \quad (5.26)$$

Este absolut necesar ca orice sistem de doi constituenti ($i + j$) sa aiba reprezentarea de culoare bine definita, astfel incit, prin combinarea cu cel de-al treilea constituent sa obtinem o stare de singlet de culoare.

Aplicind metoda de calcul pentru exprimarea termenilor de interacție operatoriali, obținem:

$$\sum_a T_i^a T_j^a = \frac{1}{2} \left[(T_i^a + T_j^a)^2 - (T_i^a)^2 - (T_j^a)^2 \right]^2 \quad (5.27)$$

In expresia (5.27), $(T_i^a)^2$, $(T_j^a)^2$, $(T_i^a + T_j^a)^2$ trebuie să conduca la valori proprii pentru operatorii Casimir in reprezentari de culoare.

In final:

$$\sum_a T_i^a T_j^a = \alpha_y I \quad (5.28)$$

unde I este matricea identitate in spatiul culorii, iar:

$$\alpha_y = \frac{1}{2} [C(k) - C(i) - C(j)] \quad (5.29)$$

unde k este al treilea constituent, iar $C(i)$, $C(j)$ si $C(k)$ reprezinta valorile proprii corespunzatoare operatorilor Casimir.

Cuarcii si anticuarcii gasindu-se in stare fundamentala in reprezentari 3-dimensionale, $C(3) = 4/3$ (identic pentru cuarci si anticuari) iar pentru gluon aceasta reprezentare este 8 - dimensionala, deci $C(8) = 3$.

Pentru $\alpha_{q\bar{q}}$ se obtine valoarea $1/6$, iar $\alpha_{qg} = \alpha_{\bar{q}g} = -3/2$ si in final potentialul de interacție este independent de culoare, si toate informatiile despre reprezentarea de culoare provin din α_y .

Formula (5.25) se scrie:

$$V(r_q, r_{\bar{q}}, r_g) = b_0 \sum_{\substack{i,j=1,2,3 \\ i \neq j}} \alpha_y (r_i - r_j)^2 \quad (5.30)$$

Pentru sistemul legat $q\bar{q}g$, hamiltonianul corespunzator starii de singlet de culoare are forma explicita:

$$H_{hybrid} = \frac{P^2}{2M} + \frac{p_{q\bar{q}}^2}{2\mu_{q\bar{q}}} + \frac{k^2}{2\mu_g} - \frac{7b_0}{12} r_{q\bar{q}}^2 - 3b_0 r^2 \quad (5.31)$$

unde:

$$P = P_q + P_{\bar{q}} + P_g$$

este impulsul centrului de masa al sistemului $q\bar{q}g$, si

$$p_{q\bar{q}} = \frac{m_q P_q - m_{\bar{q}} P_{\bar{q}}}{m_q + m_{\bar{q}}}$$

este impulsul relativ al cuarcului q si anticuarcului \bar{q} , si:

$$k = \frac{p_g(m_q + m_{\bar{q}}) - (p_q + p_{\bar{q}})m_g}{m_g(m_q + m_{\bar{q}})}$$

este impulsul relativ intre gluonul g si perechea $q\bar{q}$.

Variabilele $r_{q\bar{q}}$ si r reprezinta: $r_{q\bar{q}} = r_q - r_{\bar{q}}$ si respectiv: $r = r_g - \frac{r_q + r_{\bar{q}}}{2}$;

$M = m_q + m_{\bar{q}} + m_g$ reprezinta masa totala a sistemului mezonic;

$$\mu_{q\bar{q}} = \frac{m_q m_{\bar{q}}}{m_q + m_{\bar{q}}}$$

este masa redusa a sistemului cuarc - anticuarc, iar:

$$\mu_g = \frac{(m_q + m_{\bar{q}})m_g}{m_q + m_{\bar{q}} + m_g}$$

este masa redusa a sistemului.

Starile proprii ale ecuatiei Schrodinger pentru hamiltonianul (5.31) sunt:

$$\Psi_{l_{q\bar{q}}}^{m_{q\bar{q}}}(p_{q\bar{q}}) = \left\{ \frac{16\pi^3 R_{q\bar{q}}^{2l_{q\bar{q}}+3}}{\Gamma\left(\frac{3}{2} + l_{q\bar{q}}\right)} \right\}^{1/2} y_{l_{q\bar{q}}}^{m_{q\bar{q}}}(p_{q\bar{q}}) \exp\left(-\frac{1}{2} R_{q\bar{q}}^2 p_{q\bar{q}}^2\right) \quad (5.32)$$

si

$$\Psi_{l_g}^{m_g}(k) = \left\{ \frac{16\pi^3 R_g^{2l_g+3}}{\Gamma\left(\frac{3}{2} + l_g\right)} \right\}^{1/2} y_{l_g}^{m_g}(\vec{k}) \exp\left(-\frac{1}{2} R_g^2 k^2\right) \quad (5.33)$$

unde:

$$y_l^m(\vec{p}) \equiv p^l Y_l^m(\theta, \Omega)$$

si unde:

$$R_{q\bar{q}}^2 = \left(2\mu_{q\bar{q}}(-7b_0/12)\right)^{-1/2}$$

$$R_g^2 = \left(2\mu_g(-3b_0)\right)^{-1/2}$$

In cazul potentialului de tip oscilator armonic, distanta intre nivele energetice este data de

$$\omega = \frac{1}{\mu R^2} \quad (5.34)$$

Particularizare

Pentru mezonii cu structura $q\bar{q}$, hamiltonianul (5.31) se reduce la forma cunoscută:

$$H' = \frac{P^2}{2M} + \frac{p^2}{2\mu} - \frac{4b_0}{3} r^2 \quad (5.35)$$

unde marimile utilizate au următoarele semnificații:

$$P = p_q + p_{\bar{q}}$$

$$p = \frac{m_{\bar{q}} p_q + m_q p_{\bar{q}}}{m_q + m_{\bar{q}}}$$

$$r = r_q + r_{\bar{q}}$$

$$M = m_q + m_{\bar{q}}$$

$$\mu = \frac{m_q m_{\bar{q}}}{m_q + m_{\bar{q}}}$$

Starile mezonice sunt descrise ca stări proprii ale acestui hamiltonian, cu funcțiile de stare:

$$\Psi_{l_B}^{m_B}(p) = \left\{ \frac{16\pi^3 R_B^{2l_B+3}}{\Gamma\left(\frac{3}{2} + l_B\right)} \right\}^{1/2} V_{l_B}^{m_B}(\beta) \exp\left(-\frac{1}{2} R_B^2 p^2\right) \quad (5.36)$$

$$\text{cu } R_B^2 = \left(2\mu_B \left(-\frac{4}{3} b_0\right)\right)^{1/2}$$

și un alt set pentru Ψ_c .

Din modul în care a fost modelată structura mezonului hibrid, rezulta că pentru orice stare a acestuia există două cai distincte de a obține aceeași configurație finală, prin intermediul lui l_g și respectiv $l_{q\bar{q}}$. Astfel, stările cele mai joase pentru starea $J^P = 1^-$ pot fi construite considerind $l_g = 1$ (gluon excitat) corespunzând la un moment cinetic între gluoni sistemul $q\bar{q}$, în timp ce $l_{q\bar{q}} = 1$ (cuarc excitat) corespunde la un moment cinetic diferit de zero între cuarci perechii $q\bar{q}$. Cele mai joase stări cu numerele cuantice considerate aici sunt:

$$l_{q\bar{q}} = S_{q\bar{q}} = 0, \quad l_g = 1$$

și

$$l_{q\bar{q}} = S_{q\bar{q}} = 1, \quad l_g = 0$$

Toate combinațiile posibile de numere cuantice, utilizând coeficientii Clebsch - Gordon sunt date în Tabelul 5.3.

Tabelul 5.3
Starile de mezoni hibrizi $q\bar{q}g$ cu $J^P = 1^{--}$ si numerele lor cuantice

P	C	l_g	$l_{q\bar{q}}$	J_g	$S_{q\bar{q}}$	L	J
-	-	0	1	1	1	0	1
-	-	0	1	1	1	1	1
-	-	0	1	1	1	2	1
-	-	1	0	1	0	1	1

In modelul discutat, contributia modului gluonic excitat este ($-3b_0$), care este mai mare decit cea pentru excitarea cuarcului ($-7b_0/12$), in timp ce masele reduse sunt de acelasi ordin de marime. Utilizind pentru cuarcii usori mase de ordinul 0.35 GeV, $m_c = 1.7$ GeV si pentru gluon o masa de ordinul 0.8 GeV, cu $b_0 = -0.02$ GeV 2 , se obtin $R_{cc}^2 = 7.1$ GeV 2 si $R_B^2 = 7.9$ GeV 2 , care conduc la o energie de excitare de ~ 200 MeV pentru cuarcul excitat, si ~ 600 MeV pentru gluonul excitat.

Starile hibride exemplificate aici (pentru care $J^P = 1^{--}$) pot fi amestecate cu stari mezonice normale. Predictiile sugereaza ca largimile de dezintegrare sunt largi in cazul acestui tip de mezoni exotici.

Capitolul 6

Situatia experimentală

6.1 Situatia experimentalala in domeniul mezonilor usori

Am aratat anterior ca particularitatea cromodinamicii de a permite existenta structurilor formate numai din gluoni si/sau cuarci sugereaza posibilitatea existentei structurilor mezonice de tip gluonic (gg , ggg) si a hibrizilor ($q\bar{q}g$). Alta posibilitate de stari non - $q\bar{q}$ sunt starile multicuare.

Amestecul cu starile $q\bar{q}$ si alte efecte dinamice cum ar fi factorii de forma , pot ascunde proprietatile specifice ale acestor stari. Daca amestecul este mai mare, atunci numai numarul de stari diferit fata de predictiile date de modelul cuarc ramane ca o indicatie a mezonilor non - $q\bar{q}$.

Calcule teoretice ("lattice gauge theory") prezic ca cel mai usor glueball este un scalar cu masa 1550 ± 95 MeV¹, sau respectiv 1740 ± 71 MeV² iar prima stare excitata este tensoriala, cu masa 2270 ± 100 MeV, celelalte stari fiind mai grele.

Hibrizii nu fac parte din nonetii obisnuiti, si se caracterizeaza prin aceea ca au, sau pot avea, numere cuantice exotice. Masele pentru hibrizii cei mai usori sunt prezise in doamniul 1500 - 2000 MeV. O stare cu numerele cuantice $J^{PC} = 1^+$ este prezisa de toate variantele de modele teoretice, si in plus acestea au moduri caracteristice de dezintegrare.

Hibrizii cu charm ($c\bar{c}g$) sunt in special cautati din punct de vedere experimental, pentru ca ei trebuie sa apară in spectrul de dezintegrare pentru J/Ψ , intr-o regiune de masa in care confuziile sunt mai putin probabile, si acestia apar ca stari suplimentare in spectrul prezis teoretic. Starile $\Psi(4040)$ si $\Psi(4160)$ sunt considerate ca doua stari candidate, rezultate din amestecul unor stari $c\bar{c}$, sau $c\bar{c}g$.

O categorie distinctă de stari "exotice" o reprezinta starile multicuarc, in care structurile de tip molecule de hadroni ocupa un loc aparte. In aceste structuri, constituentii interactioneaza prin forte de tip Van der Waals.

Exemple de particule, care, pe baza unor argumente diverse, sunt considerate candidati pentru "exotici", sunt: $f_0(980)$ si $a_0(960)$ (situate la pragul $K\bar{K}$), $f_0(1500)$ si $f_2(1520)$, $f_y(1710)$ (in vecinatatea lui $K^*\bar{K}^*$) si $\Psi(4040)$ ($D^*\bar{D}^*$).

Sa vedem acum cum se prezinta situatia experimentală in lumina lui "Review of particle properties".

Pentru simplificarea si usurarea utilizarii tabelelor pentru mezoni, s-a adoptat o schema pentru numerele acestora.

Tabelul 6.1
Simbolurile pentru mezoni in functie de numerele lor cuantice

$J^{PC} =$	0^{-+}	1^{+-}	1^{--}	0^{++}	
Continutul $q\bar{q}$	2^{-+}	3^{+-}	2^{--}	1^{++}	
$^{2s+1}L_J$	$^1(L\ par)_J$	$^1(L\ impar)_J$	$^3(L\ par)_J$	$^3(L\ impar)_J$	
$u\bar{d}, u\bar{u} - d\bar{d}, d\bar{u}$ $d\bar{d} + u\bar{u}$ si/sau $s\bar{s}$	$(I=1)$ $I=0$	π η, η' η η η	b h, h' h_c h_b h_c	ρ ω, ϕ ψ^* γ θ	a f, f' χ_c χ_b χ_t

¹ Buli, Phys. Lett. B309 (1993) 378

² Sextan, Phys. Rev. Lett 75 (1995) 4563

Accasta schema este conceputa sa cuprinda toti mezonii normali, dar poate fi utilizata daca este nevoie si pentru cei exotici.

Sectorul mezonilor scalari se refera la particule cu $J^{PC} = 0^{++}$.

Pentru rezonantele scalare, valorile asteptate ale maselor si largimilor de dezintegrare, cit si unghiurile de amestec (apropiate de cazul ideal), pot fi puternic distorsionate de faptul ca ne aflam deasupra pragurilor inelastice.

Toti scalarii usori sunt: f_0 (400 + 1200), f_0 (980), f_0 (1370), f_0 (1500), a_0 (980), a_0 (1450) si K_0^* (1430); f_0 (400 + 1200) reprezinta o structura foarte larga, cu valoarea masei centrata in jurul a 800 MeV.

O alta particula stabila este $f_0(1710)$, dar cu spinul nesigur, putind fi 0 sau 2.

In modelul cuarc, ne asteptam ca in regiunea de masa de sub 1.8 GeV, sa existe doua stari: 1^3P_0 si 2^3P_0 pentru mezonii din familia $(d\bar{d} + u\bar{u})$. In consecinta, este evident ca in prezent exista mai multe particule puse in evidenta experimental decit starile prezise de modelul cuarc.

Deasupra starii f_0 (1370) exista cel putin o rezonanta. Starea f_0 (1525) a fost pusa in evidenta experimental in anihilarea $p\bar{p}$. In interactiile $\pi^- p$ la energii mari, a fost observata starea f_0 (1590). Starile f_0 (1525) si f_0 (1530) sunt incluse in prezent in datele care caracterizeaza starea f_0 (1500) ca fiind o singura particula.

In interpretarea naturii acestor stari, toate modelele teoretice concorda in ceea ce priveste starea K_0^* (1430) ca fiind nivelul 1^3P_0 al starii $s\bar{u}$ (sau $s\bar{d}$). Pentru ceilalati scalari, exista in principiu doua clase de modele:

i) Starile f_0 (980) si a_0 (980) sunt considerate ca stari legate $K\bar{K}$, si atunci nu intra intre particulele care formeaza nonetul scalar.

Starea f_0 (1370) reprezinta starea 1^3P_0 a sistemului $(d\bar{d} + u\bar{u})$, rezonanta a_0 (1450) este starea corespunzatoare sistemului $u\bar{d}$, iar particula asociata cu $s\bar{s}$ lipseste. Completarea acestui loc in schema de nivele ar putea fi realizata de f_0 (1710) daca se confirma valoarea $J = 0$. f_0 (400 + 1200) este prea larga, de 600 + 1000 MeV, si nu dezintegreaza in $K\bar{K}$ pentru a fi asociata cu particula lipsa. Mezonul f_0 (1500) are masa prea joasa pentru a fi starea 2^3P_0 a sistemului $(d\bar{d} + u\bar{u})$, si avem un raport de dezintegrare in $K\bar{K}$ prea mare pentru a putea fi considerata ca avind o structura $s\bar{s}$.

In consecinta, f_0 (1500) este interpretata ca un glueball scalar, amestecat cu izoscalari $q\bar{q}$ normali.

ii) In aceasta alternativa de interpretare, se incearca asocierea tuturor acestor particule cu starea 3P_0 in modelul cuarc. Cel mai economic model in ceea ce priveste numarul de parametri presupune ca starile f_0 (400 + 1200), f_0 (980), f_0 (1370), a_0 (980), a_0 (1450) si $K_0^*(1430)$ reprezinta stari 1P_0 ale sistemelor $q\bar{q}$. Pentru a realiza un fit simultan al acestor stari, sunt necesari 6 parametri si constringeri teroretice care presupun simetria de "aroms", regula OZI, si regula de distante egale intre nivelele pentru starile $q\bar{q}$ fara interactie.

In aceasta schema, f_0 (1500) ramine ca o stare suplimentara.

Mezonii pseudoscalari. Particulele izoscalare sunt caracterizate de numerele cuantice $J^{PC} = 0^-$. Sunt stailite experimental particulele η , η' (980), η (1295) si η (1440) (care pot fi in realitate o suprapunere de doua stari η (1410) si η (1490)).

In cadrul modelului cuarc, starile pseudoscalare 1S_0 si 2S_0 au masele in regiunea 500 si 1800 MeV.

Daca identificarea starii η (1295) cu nivelul 2S_0 a sistemului ($u\bar{u} + d\bar{d}$) este naturala, este mult mai problematica a identifica cele doua picuri din regiunea η (1440) cu starea 2S_0 a sistemului $s\bar{s}$.

Intensitatatile similare observate la starile η (1295) si η (1440) constituie un argument ca aceste stari ar putea avea o natura similara si ar fi putute fi excitatii radiale ale particulelor η si η' (958).

Daca ipoteza ca η (1440) este in fapt o structura dubla este confirmata, atunci situatia ramine confusa.

O mentiune speciala in acest sector al particulelor elementare il constituie $\pi(1800)$. Aceasta particula, neinclusa in tabele, prezinta o serie de caracteristici: este ingusta pentru o excitatie radiala pentru $n = 2$ ($\Gamma = 212 \pm 37$ MeV), cuplaj $K\bar{K}$, dezintegreaza in 2 mezoni, unul cu $l = 0$, si celalalt cu $l = 1$, care o fac candidat pentru mezon hibrid.

Mezoni vectoriali - axiali ($J^{PC} = 1^{++}$)

In modelul cuarc sunt prezise doua stari: 1P_1 cu masele sub 1 GeV, dar experimental se cunosc 3 astfel de stari: f_1 (1285), f_1 (1420) si f_1 (1530), deci in mod evident exista o stare suplimentara.

Starea f_1 (1420), cu masa in vecinatatea pragului $K\bar{K}^*$ ar putea fi candidatul cel mai plauzibil pentru starea suplimentara.

Sectorul mezonilor tensoriali ($J^{PC} = 2^{++}$). Pentru acest sector al particulelor elementare exista doua stari cu caracteristicile foarte bine cunoscute: f_2 (1270) si f_2' (1525), si care pot fi asociate cu nivelele 1P_2 din spectrele $q\bar{q}$, dar in plus mai exista starile f_2 (1430), f_2 (1500), f_2 (1710), f_2 (1810), f_2 (2010), f_2 (2150), f_2 (2300) si f_2 (2340).

Starea f_2 (1810) poate fi asociata cu nivelul 2^3P_2 si este de asteptat ca particulele cu mase deasupra valorii de 2 GeV sa corespunda starilor 2^3P_2 , 1^3F_2 , si 3^3P_2 ale sistemului $s\bar{s}$. Există și în aceasta regiune extra stări, care prin masa se situează în regiunea prescrisă de teorie pentru stări de gluonium.

In Tabelul 6.1, in regiunea mezonilor tensoriali există stări f_2 (1430), f_2 (1520), f_2 (1710) și f_2 (> 2 GeV), a caror structura nu poate fi clarificată.

Particule cu alte numere cuantice

- Rezonanta ρ (1450) cu masa 1480 MeV a fost observată în canalul $\Phi\pi^0$. O analiză preliminară indică ($J^{PC} = 1^{+-}$), dar raportul de ramificare $\Phi\pi = \omega\pi$ sugerează o violare puternică OZI (rezonanta a fost produsă în procesul $\pi^- p \rightarrow \Phi\pi^0 n$) pentru o structură formată din cuarcii u și d .

- Rezonanta $\hat{\rho}$ (1405) ($J^{PC} = 1^{++}$), a fost observată în reacția $\pi^- p \rightarrow (\eta\pi^0)n$, iar o structură de largime similară ($\Gamma \approx 600$ MeV) a fost raportată în undă P în $(\eta\pi)$ în procesul de anihilare $p\bar{p} \rightarrow \eta\pi\pi$. Interpretarea este neclară.

- O rezonanță îngustă, notată K_g (3100) a fost evidențiată la o masă de circa 3100 MeV, în stări finale $\Lambda\bar{p} +$ pioni, respectiv $\Lambda\bar{p} +$ pioni, sugerând dezintegrări tari ale acesteia și un izospin $I = 3/2$, ceea ce implica clar un caracter "exotic". Pentru starea $X(3250)$, tot cu numere cuantice neprecizate, dar cu străneitate ascunsă, există o tentativă de interpretare ca continind o pereche barion - antibarion.

Rezultatele și concluziile din acest moment despre toate aceste particule trebuie confirmate.

6.2 Fenomenologia mezonilor cu charm și bottom

6.2.1 Charmonium

(a) *Descoperirea:* Mezonul J/Ψ a fost observat experimental la Brookhaven (BNL) ca particula J în spectrul $e^+ e^-$ obținut din ciocnirea:



și la SPEAR ca particule Ψ în anihilarea $e^+ e^-$:



Prima punere in evidenta a starii Ψ' a fost facuta la SPEAR.

Ambele stari au fost gasite in mezonii vectoriali izoscalari nestranii, pentru care $J^{PC} = 1^{--}$, si $f^G = 0^-$.

Interpretate in SU(3), acestea sunt stari de singlet.

Masele si latimile de dezintegrare pentru J/Ψ si Ψ' sunt aratate in Tabelul 6.2 si sunt comparate cu valorile corespunzatoare mezonului ρ (similar ca numere cuantice).

Tabelul 6.2
Masele si latimile de dezintegrare pentru J/Ψ si Ψ'

	ρ	J/Ψ	Ψ'
m (MeV)	770	3096	3687
Γ (MeV)	150	0.07 ± 0.01	0.23 ± 0.06
Γ_{direct}	150	0.05 ± 0.01	~ 0.05
Γ_{ec} (MeV)	6.4 ± 0.8	4.8 ± 0.6	2.2 ± 0.3

Cea mai interesanta proprietate a acestor particule este largimea lor mica de dezintegrare. Dezintegrarea directa este de 10^4 ori mai putin probabila decit se asteapta de la mezonii conventionali cu masa in intervalul 3 - 4 GeV (vezi Fig. 6.1).

J/Ψ este o particula care intractioneaza tare. Aceasta este stabilit prin reactii de fotoproducere in afara nucleelor.

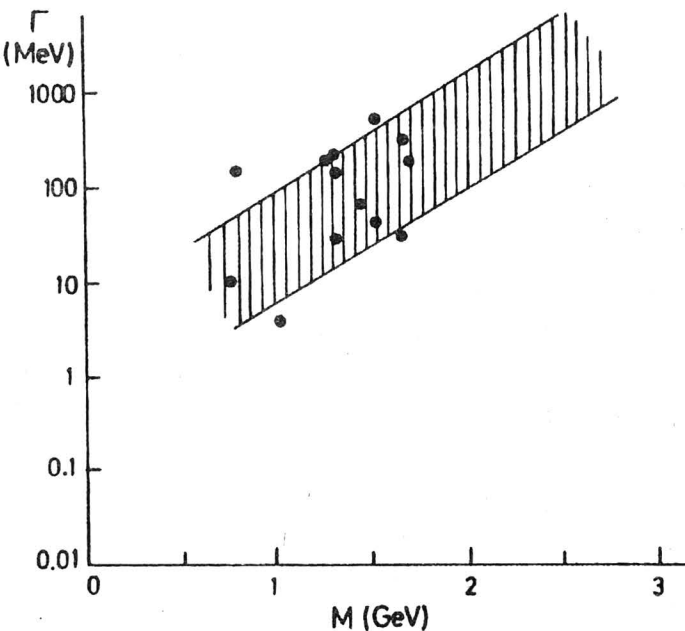


Figura 6.1
Largimea mezonilor nestrane funtie de masa

(b) Interpretarea pentru particulele J/Ψ si Ψ' in modelul cuarc

Un mod simplu, intuitiv si acceptat de interpretare pentru J/Ψ si Ψ' este oferit de modelul cuarc. Se presupune ca:

- exista al patrulea cuarc Q , care poarta un nou numar cuantic, acest cuarc putind dezintegra: $Q \rightarrow q$, cu $q = u, d$ sau s , dezintegrarile fiind numai slabe.

- J/Ψ si Ψ' sunt stari legate $Q\bar{Q}$.

Bazat pe aceste doua presupuneri, modelul prezice existenta starilor $Q\bar{Q}$ si a starilor mixte: $Q\bar{q}$ si $\bar{Q}q$.

Pentru ca latimile J/Ψ si Ψ' sunt mici, masele mezonilor $Q\bar{q}$ si $\bar{Q}q$ sunt presupuse a fi in relatia: $M_{Q\bar{q}} > M_{\bar{Q}q}$, si dezintegrarea $\Psi' \rightarrow (Q\bar{q})(\bar{Q}q)$ nu este permisa.

In urmatorul pas, acest cuarc Q este presupus a fi identic cu cuarcul c , care a fost introdus teoretic anterior de Glashow, Iliopoulos si Maiani.

Proprietatile acestui cuarc sunt:

- sarcina: +2/3
- straneitate: 0

- charm: 1 (charmul fiind un nou numar cuantic)
- c dezintegreaza numai slab in d sau s , in acord cu: $c \rightarrow -d \sin\theta_c + s \cos\theta_c$.

unde θ_c este unghiul Cabibbo, $\theta_c = 0.23$ (mecanism GIM).

(c) Spectroscopia $c\bar{c}$

In scopul calcularii distantei intre nivele, a ratelor de tranzitie, etc., sunt necesare presupuneri suplimentare.

In calcule, cuarcul c este presupus a fi suficient de greu astfel incit sistemul $c\bar{c}$ trebuie sa fie descris de o ecuatie Schrodinger nerelativista.

Fortele care actioneaza intre cuarcii $c\bar{c}$ pot fi aproximante in calcule nerelativiste folosind un potential atractiv. La distante scurte, aceste forte trebuie sa fie reprezentate prin schimbul unui gluon. Acest schimb da un termen de tipul $-\frac{4}{3} \frac{\alpha_s}{r}$ in potential, unde α_s este constanta de interactie tare. Un termen liniar este adaugat la potential in scopul asigurarii costrangerii cuarcilor:

$$V(r) = -\frac{4}{3} \frac{\alpha_s}{r} + ar + V_0 \quad (6.3)$$

Un potential de acest tip conduce la o schema de nivele in acord cu Figura 6.2.

Aceste nivele sunt J^{PC} cu $P = (-1)^{L+1}$ si $C = (-1)^{L+S}$. Pentru fiecare valoare a lui L sunt 2 benzi de excitatie radiala, care au conjugari de sarcina opuse depinzind de $S = 0$ si 1.

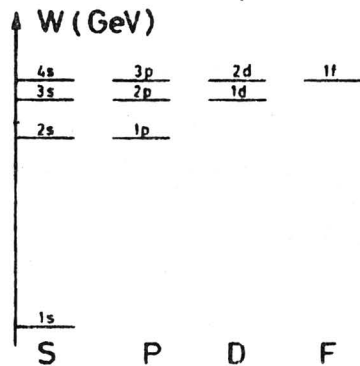
Sunt utilizate notatiile spectroscopice $n^{2s+1}L_J$, unde $(n-1)$ este numarul de noduri radiale.

Starile de triplet S: 1^3S_1 si 2^3S_1 sunt identificate cu mezonii J/Ψ si Ψ' . Forta spin - spin conduce la despicarea intre starea de triplet (3S_1) si cea de singlet (1S_0).

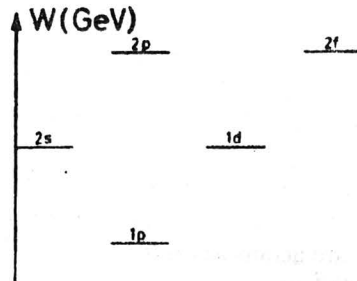
Nivelele P vor fi despicate intr-o stare (1P_1), cu conjugarea de sarcina impara, si o stare ($^3P_{2,1,0}$) cu conjugarea de sarcina para.

Intr-un potential coulombian pur, primul set de nivele P vor fi degenerate in masa cu nivelul 2^3S_1 . Adaugarea potentialului de confinare va cobori nivelele 1P sub masa nivelului 2^3S_1 .

$$(a) \quad V = \frac{\alpha}{r}$$



$$(b) \quad V = br^2$$



$$(c) \quad V = -\frac{4}{3} \frac{\alpha_s}{r} + \alpha r$$

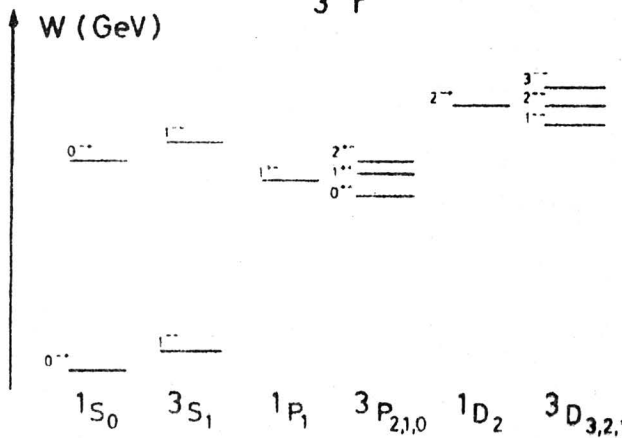


Figura 6.2
Schema de nivele energetice pentru particula in potentialul (6.3)

Primul nivel $L = 2$ se va despica intr-o stare $(^2D_1)$, cu $C' = +$, si trei stari $(^3D_{3,2,1})$ cu $C' = -$. Starea $1(^3D_1)$ are numerele cuantice ale fotonului.

(d) *Starile vectoriale*

Latimile de dezintegrare leptonice si hadronice pentru J/Ψ si diferența energetică intre J/Ψ și Ψ' pot fi utilizate pentru a fixa parametrii de potential.

Starea 3S_1 dezintegrează într-o stare mai joasă de hadron prin intermediul unei stări intermediiarc de 3 gluoni.

Latimea hadronică de dezintegrare este dată de:

$$\Gamma({}^3S_1 \rightarrow ggg \rightarrow \text{hadroni}) = \frac{160}{81} (\pi^2 - 9) \alpha_s^3 \frac{|{}^3S_1(0)|}{M^2} \quad (6.4)$$

unde ${}^3S_1(0)$ descrie funcția de undă în origine.

Latimea pentru dezintegrarea într-o pereche de leptoni este:

$$\Gamma({}^3S_1 \rightarrow e^+ e^-) = \frac{64\pi\alpha^2}{9} \frac{|{}^3S_1(0)|}{M^2} \quad (6.5)$$

unde M este masa stării vectoriale.

Pentru J/Ψ , $\alpha_s \approx 0.19$. Din $\Delta(J/\Psi - \Psi') \Rightarrow a = 0.25 \text{ GeV}^2$. În Figura 6.3 este arătata dependența de r a potentialului.

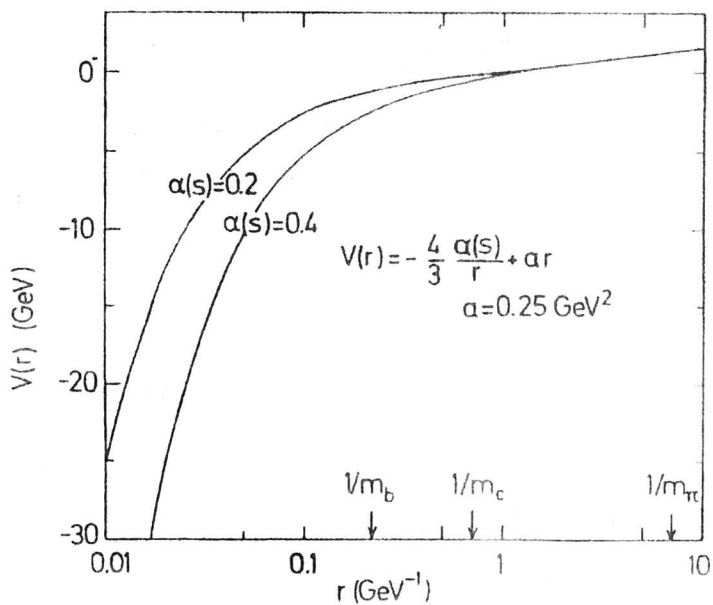


Figura 6.3

Dependența de r a potentialului (6.3) pentru diferite valori ale parametrilor

Este evident ca ratele de dezintegrare in cazul charmoniumului sunt controlate dominant de partea liniara a potentialului.

Cu α_s si parametrii determinati din J/ψ si ψ' starea $\Psi'' = 1^3D$ este precizata si la 3.755 GeV.

Aceasta stare Ψ'' fiind la aproximativ 45 MeV deasupra pragului $D\bar{D}$ se dezintegreaza exclusiv intr-o pereche de mezoni $D\bar{D}$ si reprezinta o stare ideală pentru a studia proprietatile mezonilor D.

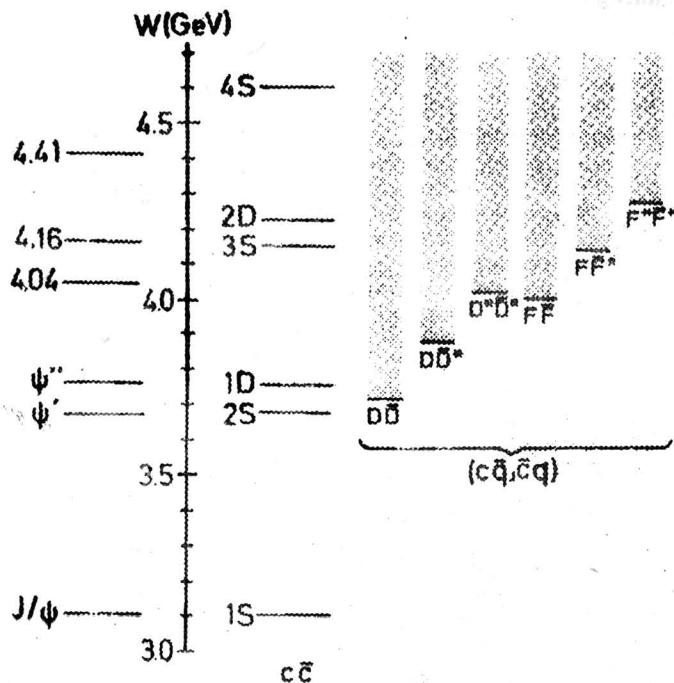


Figura 6.4

Schema de nivele $c\bar{c}$ si valorile energetice pentru mezonii cu charm

Astfel, experimental s-au obtinut urmatoarele valori:

Masa (MeV)	Γ (MeV)	Γ_{ee} (MeV)	
3772 ± 6	28 ± 5	370 ± 90	LBL-SLAC
3772 ± 6	24 ± 5	180 ± 60	DELCO

Raporturile de dezintegrare pentru Ψ' sunt:

$$\begin{array}{ll} \Psi' \rightarrow J^0 D^0 & 49 \pm 25 \% \\ \Psi' \rightarrow J^+ D^- & 50 \pm 38 \% \end{array} \quad (6.6)$$

(e) Starile in unda P

Starile $P: {}^3P_{2,1,0}$ sunt prezise a se afla intre din J/Ψ si Ψ' cu paritate si conjugate de sarcina pare.

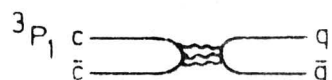
Daca diferența in masa ($\Psi' - {}^3P_J$) este mai mica decit $2 m_\pi$ intre aceste stari poate exista numai o tranzitie cu emisia unui foton:

$$\Psi' \rightarrow \gamma {}^3P_J \quad (6.7)$$

Dezintegrarile 3P_J , reprezentate in Figura 6.5, pot fi pur hadronice, via anihilare gluonica (a si b), sau radiative prin dezintegrare in J/Ψ (c).



(a)



(b)

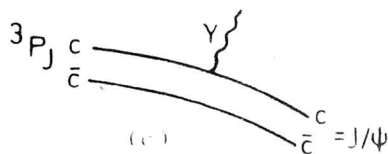


Figura 6.5
Canalele de dezintegrare pentru starile 3P_J

Latimile de dezintegrare sunt proportionale la distanta mica cu patratele functiilor de unda. Aceste latimi au fost estimate ca fiind:

$$\frac{\Gamma(2^{++})}{\Gamma(0^{++})} = \frac{4}{19} \text{ si } \Gamma(2^{++}) = 2.4 \text{ MeV}$$

Starea 1^{++} este asteptata a fi mai ingusta.

Dezintegrarea $2^3S_1 \rightarrow \gamma^3P_J$ urmeaza in ordinul cel mai de jos o tranzitie de dipol electric (E1). Rata pentru o tranzitie E1 este data de:

$$\Gamma(2^3S_1 \rightarrow \gamma^1P_J) = \frac{16}{243} \alpha(2J+1) k^3 \left| \langle 1P | r | 2S \rangle \right|^2 \quad (6.8)$$

Rata depinde de acoperirea intre functiile de unda radiale pentru nivelele S si P . Pentru tranzitiile E1, distributia unghiulara a fotonului, cu respectarea directiei axei fasciculului este de forma:

$2^3S_1 \rightarrow \gamma^1P_0$	$1 + \cos^2 \theta$	
$2^3S_1 \rightarrow \gamma^1P_1$	$1 - \frac{1}{3} \cos^2 \theta$	(6.9)
$2^3S_1 \rightarrow \gamma^1P_2$	$1 + \frac{1}{3} \cos^2 \theta$	

In ultimele doua relatii, pot fi luati in consideratie si multipletii superioiri. Din acest motiv, numai tranzitia $^3S_1 \rightarrow \gamma^3P_0$ este unica.

Starile 3P_J au fost detectate in trei moduri diferite:

- 1) ca linii discrete in spectrul fotonilor
- 2) dezintegrari in cascada : $\Psi' \rightarrow \gamma^3P_J$; $^3P_J \rightarrow \gamma J/\Psi$
- 3) ca picuri in distributiile de masa $\pi\pi$, etc.

In Figura 6.6 este aratat spectrul inclusiv pentru dezintegrarea Ψ' in foton:

$$\Psi' \rightarrow \gamma\chi \quad (6.10)$$

Se observa 4 picuri inguste, centrate aproximativ la energiile: 120 MeV, 170 MeV, 260 MeV si 380 MeV.

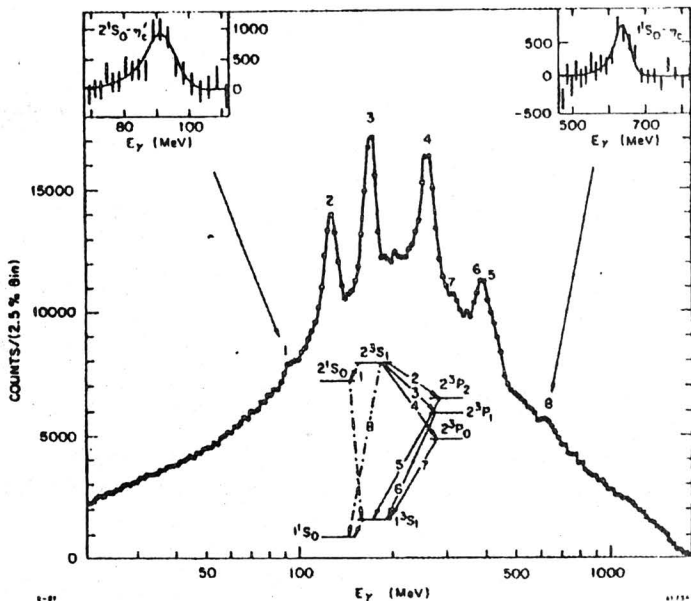


Figura 6.6
Spectrul inclusiv pentru dezintegrarea Ψ' in foton

Primele trei dintre ele corespund la tranzitii in starile P intermediare: 3.56, 3.51 si 3.41. Cel de-al patrulea rezulta din dezintegrarea $P_C(3.51) \rightarrow \gamma J/\Psi$.

(f) Numerele cuantice ale starilor intermediare

Starile intermediare P au toate conjugarea de sarcina $C = +$, si atunci sunt populate prin tranzitia $\Psi' \rightarrow \gamma P_c$. Asignarea spin - paritate este facuta prin intermediul starilor hadronice de dezintegrare si a distributiei unghiulare W ($\cos \theta$) a fotonului primar, cu respectarea directiei fasciculului si a schemei de nivele prezise pentru charmonium.

Fiturile pentru: $W(\cos \theta) = 1 + a \cdot \cos^2 \theta$

conduc la $a = 1.4 \pm 0.4$ pentru $P(3.41)$, $a = 0.1 \pm 0.5$ pentru $P(3.51)$, si $a = 0.3 \pm 0.4$ pentru $P(3.56)$.

Pentru starea de spin 0, $a = 1$.

In consecinta starea $P(3.41)$ este consistenta cu $J = 0$, pe cind aceasta asignare pentru $P(3.51)$ si $P(3.56)$ este exclusa.

In schema de nivele a charmoniumului intre J/Ψ si Ψ' sunt gasite 4 nivele cu $C = +$, o stare pseudoscalara 1^1S_0 cu $J^{PC} = 0^{++}$ si trei stari 3^P cu $J^{PC} = 2^{++}, 1^{++}, 0^{++}$.

Problema care apare este daca aceasta asignare este consistenta cu datele experimentale:

Starea P (3, 413) are $C = +$ si a fost observata in dezintegrarea in $\pi^+ \pi^-$ si/sau $K^+ K^-$; este o stare izoscalara si are paritate pozitiva. Distributia unghiulara este consistenta cu $J = 0$. Asignarea este $J^{PC} = 0^{++}$.

Starea P (3, 508). Absenta dezintegrarilor $\pi^+ \pi^-$ si $K^+ K^-$ este consistenta cu o stare avind o seventa nenaturala spin - paritate $0^-, 1^+, \dots$

Distributia unghiulara a fotonului sugereaza $J \neq 0$, si izospinul trebuie sa fie par pentru ca rezonanta dezintegreaza intr-un numar par de pioni.

Starea P (3, 552). A fost observata in dezintegrarea $\pi^+ \pi^-$ si/sau $K^+ K^-$. Nivelul este izoscalar si urmeaza seventa naturala spin - paritate . Distributia unghiulara a pionilor exclude $J = 0$.

Confirmind informatiile experimentale cu nivelele asteptate in modelul charmoniumului, singura asignare posibila este ca 3.41 GeV trebuie sa fie starea 0^{++} , iar ${}^3P_2(2^{++})$ este asociata cu 3.56 GeV. Starea 3.51 GeV are $J = 0$, si trebuie sa fie ${}^3P_1(1^{++})$.

Aceasta asignare este consistenta cu faptul ca dezintegrarea $P_c(3.51) \rightarrow \pi^+ \pi^-, K^+ K^-$ nu a fost observata.

Dezintegrarile $\Psi' \rightarrow \gamma {}^3P_{2,1,0}$ sunt tranzitii de dipol electric. Daca elementele de matrice sunt independente de J , atunci ratele relative pentru tranzitiile E1 sunt date de $\Gamma \sim k^3(2J+1)$. In acest caz ne asteptam ca:

$$\Gamma(2^3S_1 \rightarrow \gamma {}^3P_0) : \Gamma(2^3S_1 \rightarrow \gamma {}^3P_1) : \Gamma(2^3S_1 \rightarrow \gamma {}^3P_2) = 1:0.9:0.6 \quad (6.11)$$

care pot fi comparate cu rapoartele experimentale observate: $1 : 1.04 : 1.02$.

Daca ordinea nivelor ar fi inversata, adica ${}^3P_0 > {}^3P_1 > {}^3P_2$, ar exista un puternic dezacord intre datele prezise si cele observate.

In QCD, starile 0^{++} si 2^{++} pot dezintegra in ordinul cel mai de jos in hadroni, prin emisia de 2 gluoni, in timp ce din starea 1^{++} trebuie emisi 3 gluoni.

Latimea totala de dezintegrare hadronica pentru 0^{++} si 2^{++} este proportionala cu α_s^2 , spre deosebire de starea 1^{++} care este proportionala cu α_s^3 .

Pentru ca α_s este mai mic decat 1, intr-o estimare naiva putem presupune ca latimea hadronica totala este mai mica cu un factor doi fata de celelalte doua.

Calcule detaliate conduc la: $\Gamma(0^{++}) : \Gamma(2^{++}) : \Gamma(1^{++}) = 15:4:1$.

In afara acestor stari P discutate, potentialul prezice si existenta unei stari de singlet, cu $J^{PC} = 1^{+-}$. Datorita faptului ca paritatea C a acestei stari este negativa, aceasta stare nu poate fi pusa in evidenta printr-o tranzitie γ .

Reactia $\Psi' \rightarrow \pi^0 P_1$ este interzisa de conservarea izospinului, iar dezintegrarea $\Psi'' \rightarrow \pi\pi^0 P_1$ este interzisa de cinematica.

(g) Starile pseudoscalare

Potentialul prezice existenta starilor pseudoscalare (η_c , η_c' , etc), adica 1^1S_0 , 2^1S_0 corespunzatoare starilor vectoriale (n^1S_1).

Starile pseudoscalare pot dezintegra in hadroni ordinari prin schimbul de doi gluoni:

$$\Gamma(\eta_c \rightarrow \text{hadroni}) \sim \alpha_s^2 \quad (6.12)$$

In consecinta, ne asteptam ca starile 1^1S_0 sa aiba largime mai mare decit starile vectoriale, pentru care $\Gamma \sim \alpha_s^3$. Mai precis:

$$\Gamma(1^1S_0 \rightarrow gg \rightarrow \text{hadroni}) = \frac{32\pi}{3} \alpha_s^2 \frac{|1^1S_0(0)|}{M^2} \quad (6.13)$$

Pentru ca aceste stari au $C = +$, pot dezintegra in 2 fotoni, latimea corespunzatoare este data de:

$$\Gamma(1^1S_0 \rightarrow \gamma\gamma) = \frac{256\pi}{27} \alpha^2 \frac{|1^1S_0(0)|}{M^2} \quad (6.14)$$

Estimare: $\frac{\Gamma(1^1S_0 \rightarrow \gamma\gamma)}{\Gamma(1^1S_0 \rightarrow \text{hadroni})} = \frac{8}{9} \frac{\alpha^2}{\alpha_s^2} \cong 1.3 \cdot 10^{-3}$ pentru $\alpha_s = 0.9$.

Cu presupunerea ca starile 3^3S_1 si 1^1S_0 au aceleasi functii de unda radiale, putem prezice ca latimea pentru starea 1^1S_0 este:

$$\Gamma(1^1S_0 \rightarrow \text{hadroni}) = \frac{27}{5} \frac{\pi}{(\pi^2 - 9)\alpha_s} \Gamma(3^3S_1 \rightarrow \text{hadroni}) \cong 5 \text{ MeV} \quad (6.15)$$

Daca despicarea triplet - singlet este mica, starea 1^1S_0 poate fi evidențiată prin tranzitie radiativa: $3^3S_1 \rightarrow \gamma 1^1S_0$.

Amplitudinea este proportionala cu momentul magnetic al cuarcului c. Presupus fi de tip Dirac, acest moment magnetic este:

$$\mu_c = \frac{2}{3} \frac{e}{2m_c} \quad (6.16)$$

unde m_c este masa cuarcului, si atunci:

$$\Gamma(n_i \cdot {}^3S_1 \rightarrow n_f \cdot {}^1S_0) = \frac{16}{27} \alpha \frac{k^3}{m_c^2} |\langle n_f | n_i \rangle|^2 \quad (6.17)$$

6.2.2 Particulele cu charm

Considerind existenta cuarcilor cu charm, nonetul $8 \oplus 1$ din SU(3) este inlocuit cu $15 \oplus 1$ in SU(4).

In afara rezonantelor ordinare ce provin din SU(3), si caracterizate de $C = 0$, multipletul contine 6 stari cu charm deschis, avind $C = \pm 1$, si o stare $c\bar{c}$ cu charm inchis.

Mezonii cu charm cu masa mai mare vor dezintegra tare si/sau electromagnetic in starile de masa mai mica, sau prin dezintegrari slabe.

Exemple: $D(\Delta_s) \rightarrow l\bar{\nu}_e$,

$$D(\Delta_s) \rightarrow l\bar{\nu}_e + \text{hadroni}$$

$$D(\Delta_s) \rightarrow \text{hadroni}$$

Modul leptonice de dezintegrare este interzis de cinematica:
 $J_3^D = 0 \neq J_3^l + J_3^{\bar{\nu}} = 1$.

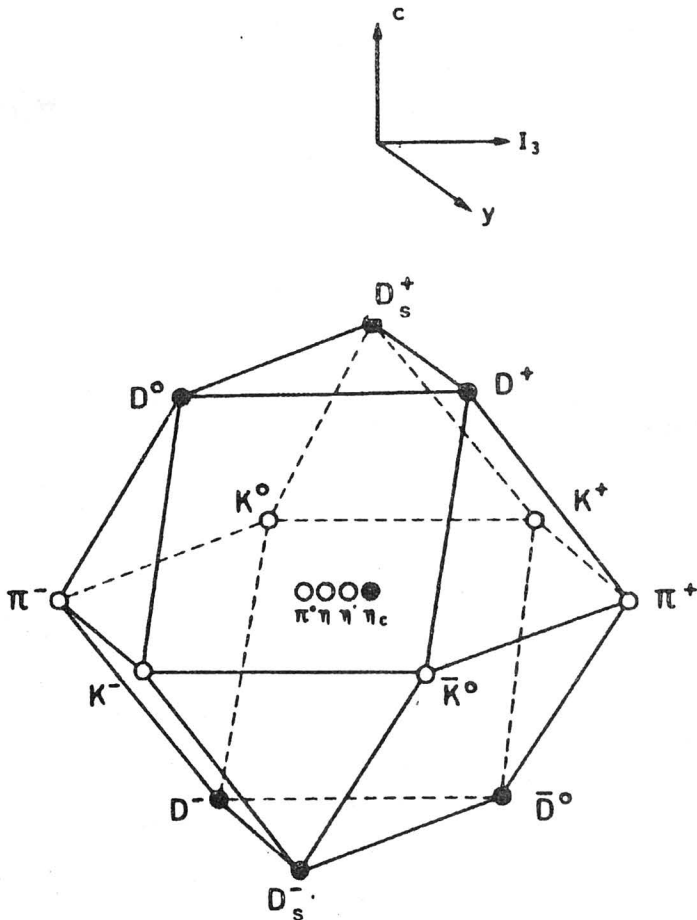


Figura 6.7
Multipletul mezonilor pseudoscalari

Dezintegrarile semileptonice sunt prezise a avea un raport de ramificare de ordinul 20%, si majoritatea dezintegrarilor (80%) au loc numai cu hadroni in stare finala.

Orice "sarcina" noua va produce un amestec lepton - hadron in starile finale si arata ca rezonante inguste deasupra pragului. In acest mod, "sarcina specifica" poate fi identificata prin proprietatile starilor finale. Mecanismul (Glashow, Iliopoulos, Maiani) presupune dezintegrari de tipurile:

i) semileptonice ale unui cuarc cu charm

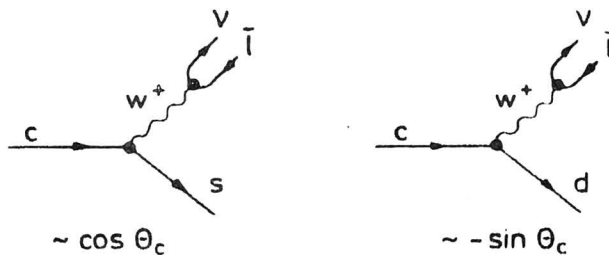


Fig. 6.8

Diagrammele dezintegrarilor semileptonice ale cuarcului cu charm

ii) cuarc cu charm in cuarci nestranii

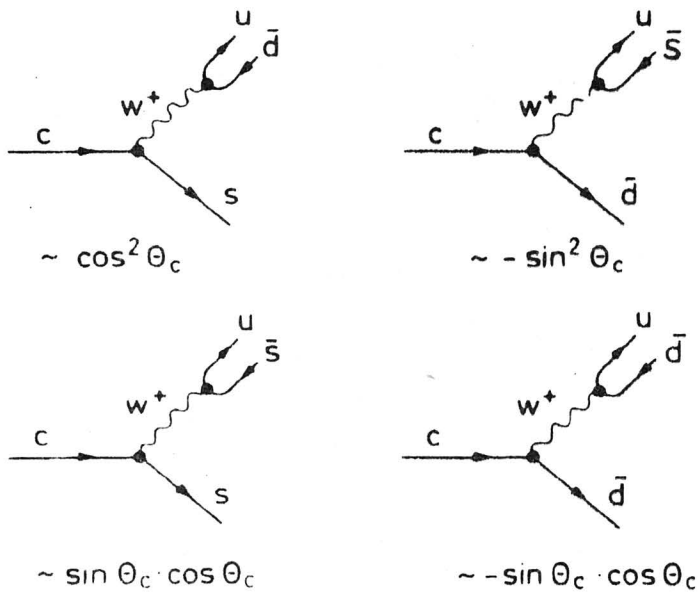


Fig. 6.9

Diagrammele dezintegrarilor cuarcului cu charm in cuarci strani si nestranii

$$D^0 \rightarrow (e^+ \nu_e) (K^-, \dots)$$

$$D^0 \rightarrow (\bar{K} n \pi)^0$$

$$D^+ \rightarrow (l^+ \nu_e) (\bar{K}^0, \dots)$$

$$D^+ \rightarrow (\bar{K} n \pi)^+$$

$$D_s^+ \rightarrow (l^+ \nu_e) (\eta, \eta', K\bar{K}, \dots)$$

$$D_s^+ \rightarrow (\eta n \pi)^+, (\eta' n \pi)^+, (K\bar{K} n \pi)^+$$

Proprietatile mezonilor D si D^*

In Tabelul 6.3 sunt listate masele mezonilor D si D^* .

Tabelul 6.3
Masele mezonilor D si D^*

	M (MeV)
D^0	1863.3 ± 0.9
D^+	1868.4 ± 0.9
D^{*0}	2006 ± 1.5
D^{*+}	2008.6 ± 1.0
$M_{D^+} - M_{D^0}$	5.1 ± 0.8
$M_{D^{*+}} - M_{D^{*0}}$	2.6 ± 1.8

Raportul de ramificare semileptonic este mai mic decit valoarea asteptata din simple argumente de numarare.

Astfel, in dezintegrarea W , a carei diagrama este prezentata in Figura 6.10, pot aparea 5 cai diferite: $W \rightarrow e\nu$, $\mu\nu$ si 3 perechi $q\bar{q}$ datorita celor 3 culori diferite.

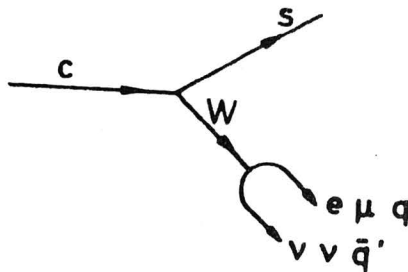


Figura 6.10
Diagrama dezintegrarii particulei W

Presupunind ca constanta de cuplaj este aceiasi pentru fiecare canal, atunci probabilitatea pentru un canal este $1 : 5 = 0.2$.

Experimental, raportul observat este mai mic, si nu este atribuit unei cresteri a modurilor de dezintegrare pur hadronice, si este corelat cu o crestere aparuta in dezintegrarile K.

Mezonii D_s

Modelul cuarc prezice ca acesti mezoni contin atit charm cit si straneitate. Starea fundamentala este D_s^+ . Mecanismul de dezintegrare GIM favorizeaza procesele ilustrate in Figura 6.11.

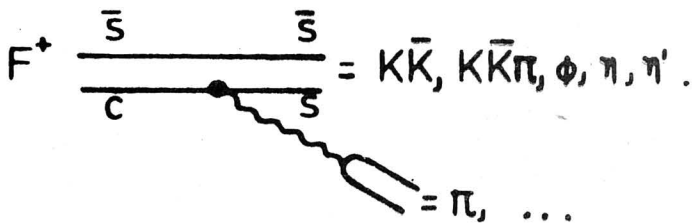


Figura 6.11
Diagrama de dezintegrare a mezonului D_s^+

Producerea de η este o indicatie a producerii de D_s .
Prima stare excitata este D_s^* .

Dezintegrarea $D_s^* \rightarrow D_s \pi$ este interzisa de izospin. Daca diferența de masa intre D_s^* si D_s este mai mica decat de 2 ori masa pionului, atunci dezintegrarea lui D_s^* este: $D_s^* \rightarrow \gamma D_s$, cu producerea unui foton de energie mica.

O secenta posibila de producere si dezintegrae este:

$$\begin{aligned} e^+ e^- &\rightarrow D_s D_s^* \rightarrow D_s D_s \gamma_{low} \\ &\rightarrow \pi \eta \\ &\rightarrow \gamma \gamma \end{aligned} \tag{6.18}$$

In starea finala vom avea un foton de energie joasa ($E_\gamma < 0.2 \text{ GeV}$, 2 fotoni care provin din regiunea de masa η si un pion incarcat.

Din reconstructia procesului de dezintegrare, masa lipsa trebuie sa fie masa D_s .

Datorita faptului ca energia γ este mica,, acest canal (6.18) nu se distinge de canalul 6.19:

$$\begin{aligned} e^+ e^- &\rightarrow D_s^* D_s^* \rightarrow D_s D_s \\ &\rightarrow \gamma_{low} D_s \\ &\rightarrow \pi \eta \\ &\rightarrow \gamma \gamma \end{aligned} \tag{6.19}$$

Caracteristicile mezonilor D_s si D_s^* sunt ilustrate in Tabelul 6.4.

Tabelul 6.4
Masele mezonilor D_s si D_s^*

	$M (\text{GeV})$
D_s^+	$2.03.3 \pm 0.06$
D_s^{*+}	2.14 ± 0.06
$M_{D_s^*} - M_{D_s}$	0.11 ± 0.046

si:

$$\frac{B(D_s \rightarrow \pi \eta)}{B(D_s \rightarrow \eta + orice)} = 0.09 \pm 0.05 \tag{6.20}$$

6.2.3 Familia Υ

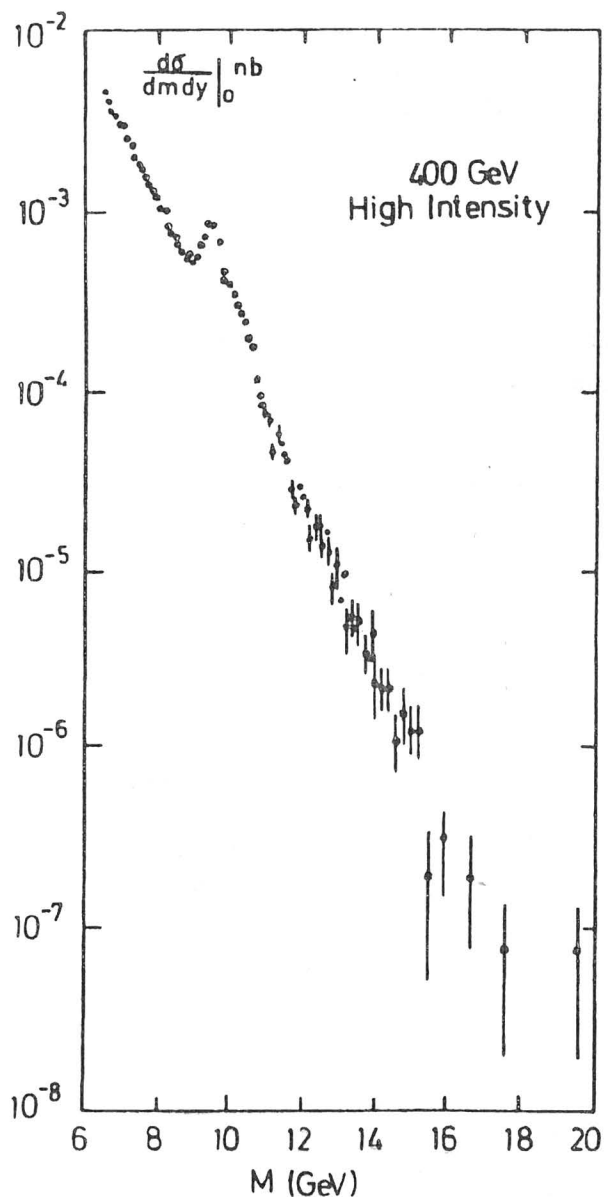


Figura 6.12
Producerea mezonului Υ

Particula Υ fost descoperita de colaborarea Columbia - FNAL - Stony Brook in spectrul de masa $\mu^+ \mu^-$. Observarea lui Υ da impresia unei stari deja cunoscute:

$$p + Nucleu \rightarrow \mu^+ \mu^- + X \quad (6.21)$$

care are loc la 400 GeV, si unde $Nucleu$ este Be, Cu, Pt ca tinta (vezi Figura 6.12).

Valorile medii obtinute sunt:

$$M_\Upsilon = 9.46 \pm 0.01 \quad (\text{erorile reflecta incertitudinea de 1 la mie in calibrarea}$$

$$\Gamma_{ee} = 1.3 \pm 0.2 \text{ KeV} \quad \text{energetica a lui DORIS)}$$

$$B_{\mu\mu} = 2.6 \pm 1.4 \%$$

$$\Gamma_{tot} > 25 \text{ KeV (95% C.L.)}$$

In modelul cuarc nerelativist, latimea leptonica de dezintegrare pentru starile vectoriale este direct proportionala cu sarcina Q a cuarcului:

$$\Gamma_{vec} = \frac{16\pi\alpha^2 Q^2}{M^2} \left| {}^3S_1(0) \right|^2 \quad (6.22)$$

Empiric, se constata ca dezintegrarea leptonica divizata pe sarcina medie este aproximativ aceiasi pentru toate starile fundamentale vectoriale: ρ , ω , ϕ si J/Ψ :

$$\frac{\Gamma_{vec}}{\sum |c_i Q_i|^2} \cong 11 \quad (6.23)$$

(vezi Figura 6.13)

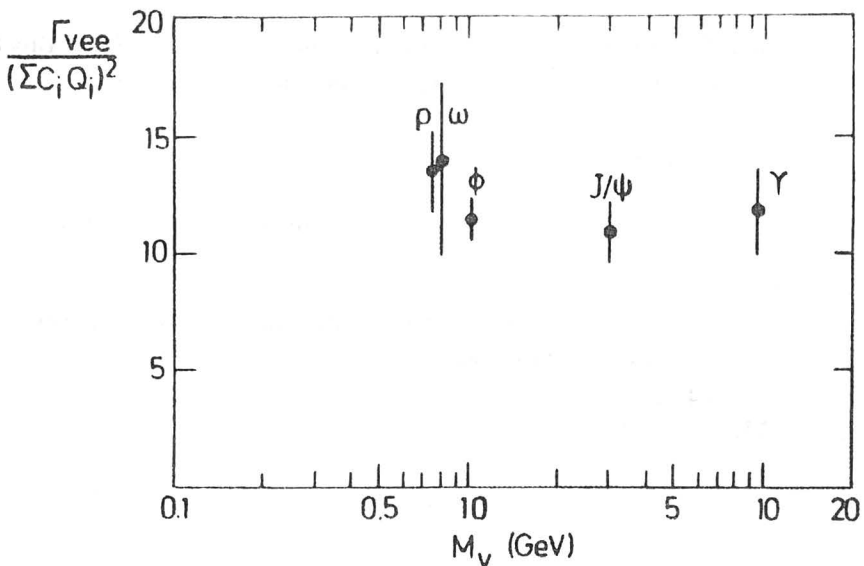


Figura 6.13

Latimile leptonice de dezintegrare pentru mezonii vectoriali, normate la patratul sumei sarcinilor cuarcilor functie de masa mezonului

Latimea leptonica depinde de functia de unda, care este o functie de potentialul cuarc.

In QCD potentialul de cuarc este independent de aroma. Atunci, acelasi potential poate descrie simultan familia J/Ψ si Υ , astfel ca efectele diferentei in masa pot fi neglijabile.

Predictiile teoretice pentru $\Gamma(\Upsilon \rightarrow ee)$ si $\Gamma(\Upsilon^* \rightarrow ee)$ sunt aratate in Figura 6.14

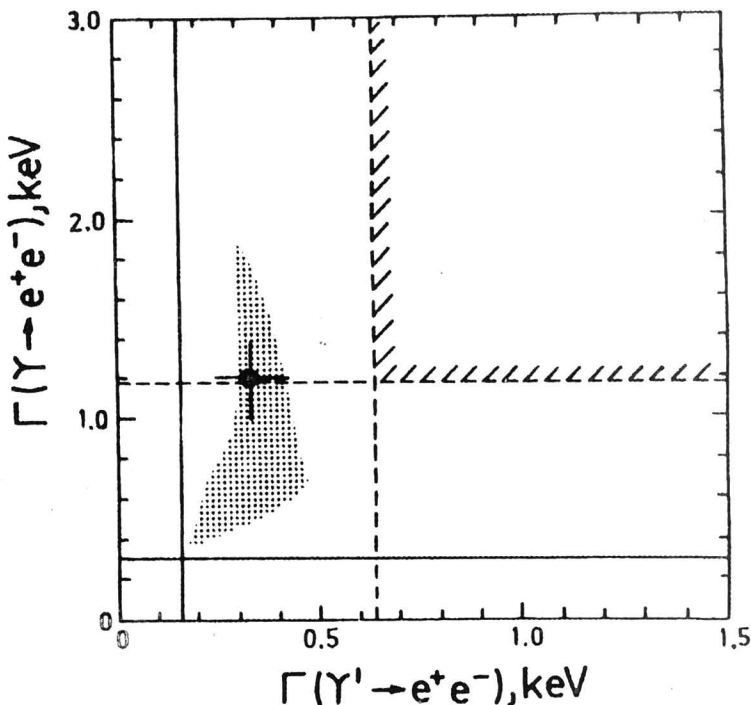


Figura 6.14
Largimile de dezintegrare $\Gamma(\Upsilon \rightarrow ee)$ și $\Gamma(\Upsilon' \rightarrow ee)$

In Figura 6.14, liniile solide indica ca limitele inferioare corespund la $Q = 1/3$, iar liniile intrerupte arata limita superioara a lui Q , care este $2/3$. Regiunea hasurata indica valoarea cea mai probabila pentru latimile leptonice, care este $Q = 1/3$.

Diferenta de masa intre Υ si Υ' este aproximativ aceiasi ca cea intre J/ψ si ψ' . In modelul cuarc nerelativist, diferența de masa depinde de tipul de potential.

Daca Υ si Υ' sunt asignate starilor 1^3S_1 si 2^3S_1 ale sistemului $b\bar{b}$, atunci:

a) teoria da urmatoarele rezultate:

Tipul de potential	$\Delta m (2^3S_1 - 1^3S_1)$	$\Delta m (\Upsilon - \Upsilon')$ calculata din $\Delta m (\psi' - J/\psi)$
coulombian	$\sim m_{\psi}^{1/3}$	1800 MeV
liniar	$\sim m_{\psi}^{1/3}$	400 MeV
logaritmic	const	591 MeV

b) experimental se obtine:
 $m(\Psi - J/\Psi) = 591 \pm 1$ MeV
 $m(\Upsilon - \Upsilon') = 558 \pm 10$ MeV

Un potential pur logaritmic prezice $\Delta m(\Upsilon - \Upsilon')$ si $\Delta m(\Psi - J/\Psi)$ a fi aceleasi, in timp ce un potentialele liniare si coulombiene dau o descriere corecta a situatiei experimentale.

6.3 Situatia experimentală in sectorul barionilor. Candidati barioni exotici

Starile excitate ale nucleonului au fost studiate intr-un numar mare de experimente de formare si producere. Masele, latimile de dezintegrare si elasticitatatile pentru rezonantele N si Δ au fost studiate prin analiza de unde partiale pentru interactiile πN totale, elastice si imprastierea cu schimb de sarcina. Au fost stabilite rapoartele de dezintegrare pentru canalele: $N\eta$, ΛK , ΣK .

In sectorul rezonantelor barionice cu straneitate, Λ si Σ nu exista rezultate noi in ultimii ani. Au fost puse in evidenta experimental 18 rezonante Λ si 26 Σ . Dintre acestea, doar 19 au un statut cert, restul necesitind confirmari prin noi experimente. Pentru 9 dintre acestea din urma, numerele cuantice nu au fost determinate. Experimentele de producere au fost utilizate numai pentru starile cele mai joase in masa. In punerea in evidenta a starilor rezonante a fost in general folosita tot analiza de faza.

$\Lambda(1405)$ S_{01} , cu $J^P = 1/2^-$, este considerata o rezonanta bine precizata experimental. Ea este asignata in RPP starii celei mai joase, cu $L = 1$, a supermultipletului format din trei cuarci, si este cuplata cu $\Lambda(1520)$, $J^P = 3/2^+$.

Totusi, pentru aceasta stare, nici J nici P nu au fost determinate in mod direct. Masa acestei rezonante este sub pragul $N\bar{K}$. Masa si largimea totala a acestei rezonante sunt determinate pe baza de model. Masa este mult mai joasa fata de partenerul acestaie, $\Lambda(1520)$, daca ne bazam pe rezultatele modelelor teoretice inspirate de rezultatele structurii de cuarci. Acestea implica inlocuirea lui $\Lambda(1405)$ in supermultipletul $L = 1$ cu o alta stare, de masa mai mare, astfel ca despicarea dupa spin intre $\frac{1}{2}^-$ si $\frac{3}{2}^-$ sa fie in acord cu asteptarile teoretice.

Exista multe lucrari teoretice care incearcă sa explice aceste paradoxuri ale rezonantei $\Lambda(1405)$. Doua posibilitati extreme sunt: (a) aceasta stare reprezinta un amestec intre singletul (uds) cu $L = 1$ din SU(3) si un sistem mezon - barion in unda S; (b) reprezinta o stare legata $N\bar{K}$, analog deuteroului pentru o stare NN .

Nu exista dubii asupra existentei rezonantei $\Lambda(1405)$, asupra masei, largimii totale de dezintegrare sau al numerelor cuantice, dar prezentul statut al acestaie intre

barionii depinde mult prea mult de considerente teoretice si este necesar de a fi facute noi masuratori experimentale pentru a clarifica aceste aspecte.

S-a constatat un dezacord intre rezultatele obtinute in experiente de producere si formare in regiunea 1600 - 1700 MeV, si aceasta regiune energetica trebuie privita cu precautie.

Rezonantele Ξ sunt printre cele mai putin cunoscute. Motivatia acestui situatie rezulta din aceea ca rezonantele Ξ nu pot fi produse direct, prin experiente de formare, ci apar ca o parte a starii finale, fapt ce complica analiza. Sectiunile de producere sunt mici, cu valori tipice de ordinul μb . Starile finale sunt complicate topologic, si este dificil de a realiza experiente de spectrometrie cu tehnici electronice. Aproape toate datele experimentale existente provin din experiente cu camere cu bule, in care numarul de experimente este mic.

In sectorul barionilor cu charm, pina in prezent s-au pus in evidenta experimental numai particule care contin o singura sarcina de charm. O imagine mai clara asupra acestei situatii este relevata de multipletii barionici din SU(4). In Figura 6.15, barionii continind o singura sarcina de charm reprezinta primul plan de deasupra bazei.

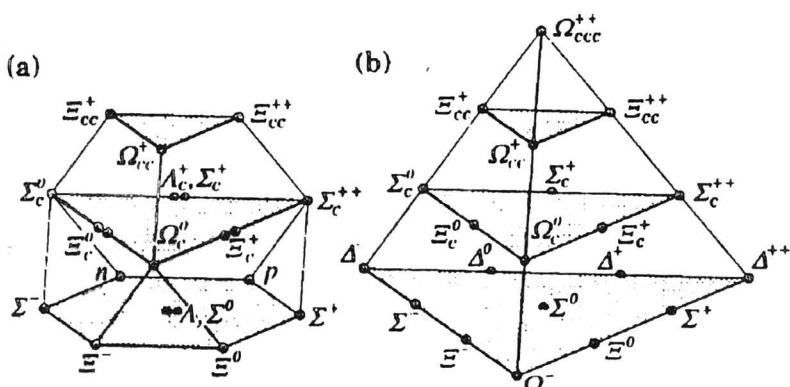


Figura 6.15
Multipletii barionici in SU(4).

- (a) 20-pletul barionic care contine octetul SU(3) ca nivelul cel mai de jos ($J = 1/2^+$)
- (b) 20-pletul barionic care contine decupletul ca nivel inferior ($J = 3/2^+$)

Din sectorul barionilor cu "bottom" numai barionul $\Lambda_b^0 (u\bar{d}\bar{b})$ are un statut cert si este inregistrat ca atare in tabelul particulelor elementare.

Candidati barioni exotici

In modelul cuarc standard, barionii au structura qqq . Ca si in cazul spectrului mezonilor, exista sugestii despre existenta unor stari care sunt in afara acestei scheme. Acestea includ barionii hibriti ($qqqq$) ca si starile instabile legate, mezon - nucleon.

Daca aceste stari exista, va fi mult mai dificil de a pune in evidenta experimental existenta acestora fata de cazul mezonilor exotici.

Barionii hibriti nu vor avea trasaturi clar exotice evidentiate prin numere cuantice. Ca si in cazul mezonilor, se vor putea amesteca cu barionii obisnuiti. Singurele posibilitati de identificare pentru astfel de stari se vor baza numai pe: (a) caracteristici specifice de formare si dezintegrare; (b) extra stari fata de predictiile de model.

Experimental, cele mai multe analize au fost focalizate pentru a studia valorile prezise pentru hibrizii cei mai usori. Daca prima stare hibrida se gaseste sub 2 GeV, asa cum sugereaza modelele de saci de cuarci, atunci o astfel de stare trebuie sa se gaseasca intre starile existente. In prezent, asignarea starilor rezonante la multipleti nu este foarte clara.

Rezonanta $N(1440)$ P_{11} , cunoscuta ac rezonanta Roper, este considerata ca un candidat hibrid, datorita numerelor cuantice, masei si cuplajului electromagnetic. Rezonanta $\Delta(1600)$ P_{33} este un alt candidat pentru o stare hibrida.

Experientele de foto- si electroproducere sunt considerate in prezent drept caile de producere de barioni hibriti.

O alta categorie de stari barionice "exotice" sunt starile de pentacuarc ($qqqq\bar{q}$) si dibarionii, structuri rezonante formate din sase cuarci ($qqqqqq$). Pentru ambele tipuri de barioni exotici exista in literatura o serie de candidati, dar rezultatele nu sunt concludente si sunt necesare confirmari, ca si in cazul $A(1405)$.

Anexa 1

Tabelul mezonilor

Mezoni usori ($S = C = B = 0$)		Mezoni cu straneitate ($S = \pm 1, C = B = 0$)		Mezoni cu s si b ($B = \pm 1, S = \pm 1$)	
$J^P(J^{PC})$	$J^G(J^{PC})$	$J^P(J^P)$	$J^G(J^P)$	$J^G(J^{PC})$	
• π^\pm	$1^-(0^-)$	$f_2(1640)$	$0^+(2^{++})$	• K^\pm	$1/2(0^-)$
• π^0	$1^-(0^-+)$	• $\omega_2(1670)$	$0^-(3^{--})$	• K^0	$1/2(0^-)$
• η	$0^+(0^-+)$	• $\pi_2(1670)$	$1^-(2^{++})$	• K_S^0	$1/2(0^-)$
• $f_0(400-1200)$	$0^+(0^++)$	• $\phi(1680)$	$0^-(1^{--})$	• K_L^0	$1/2(0^-)$
• $\rho(770)$	$1^+(1^{+-})$	• $\rho_3(1690)$	$1^+(3^{--})$	• $K^*(892)$	$1/2(1^-)$
• $\omega(782)$	$0^-(1^{+-})$	• $\rho(1700)$	$1^+(1^{+-})$	• $K_1(1270)$	$1/2(1^+)$
• $\eta'(958)$	$0^+(0^-+)$	• $f_J(1710)$	$0^+(\text{even}++)$	• $K_1(1400)$	$1/2(1^+)$
• $f_0(980)$	$0^+(0^++)$	$X(1740)$	$0^+(\text{even}++)$	• $K^*(1410)$	$1/2(1^-)$
• $a_0(980)$	$1^-(0^++)$	$\eta(1760)$	$0^+(0^{++})$	• $K_0^*(1430)$	$1/2(0^-)$
• $\phi(1020)$	$0^-(1^{+-})$	$\pi(1800)$	$1^-(0^{+-})$	• $K_2^*(1430)$	$1/2(2^{++})$
• $h_1(1170)$	$0^-(1^{+-})$	$X(1775)$	$1^-(?^{+-})$	$K_1(1460)$	$1/2(0^-)$
• $b_1(1235)$	$1^+(1^{+-})$	$f_2(1810)$	$0^+(2^{++})$	$K_2(1580)$	$1/2(2^{--})$
• $a_1(1260)$	$1^-(1^{++})$	• $\phi_3(1850)$	$0^-(3^{--})$	$K_1(1650)$	$1/2(1^+)$
• $f_2(1270)$	$0^+(2^{++})$	$\eta_2(1870)$	$0^+(2^{--})$	• $K^*(1680)$	$1/2(1^-)$
• $f_1(1285)$	$0^+(1^{++})$	$X(1910)$	$0^+(7^{++})$	• $K_2(1770)$	$1/2(2^{--})$
• $\eta(1295)$	$0^+(0^{+-})$	$f_2(1950)$	$0^+(2^{+-})$	• $K_3^*(1780)$	$1/2(3^{-})$
• $\pi(1300)$	$1^-(0^{+-})$	$X(2000)$	$1^-(?^{+-})$	• $K_3(1820)$	$1/2(2^{--})$
• $a_2(1320)$	$1^-(2^{++})$	• $f_2(2010)$	$0^+(2^{++})$	$K(1830)$	$1/2(0^-)$
• $f_0(1370)$	$0^+(0^{++})$	$a_4(2040)$	$1^-(4^{++})$	$K_2^*(1950)$	$1/2(0^+)$
• $h_1(1380)$	$?^-(1^{++})$	• $f_4(2050)$	$0^+(4^{++})$	$K_3^*(1980)$	$1/2(2^{++})$
• $\tilde{h}(1405)$	$1^+(1^{++})$	$\pi_2(2100)$	$1^-(2^{+-})$	• $K_4^*(2045)$	$1/2(4^{++})$
• $f_1(1420)$	$0^+(1^{++})$	$f_2(2150)$	$0^+(2^{++})$	$K_2(2250)$	$1/2(2^{--})$
• $\omega(1420)$	$0^-(1^{--})$	$\rho(2150)$	$1^+(1^{--})$	$K_1(2320)$	$1/2(3^{+})$
• $f_2(1430)$	$0^+(2^{++})$	$f_0(2200)$	$0^+(0^{++})$	$K_3^*(2380)$	$1/2(5^{-})$
• $\eta(1440)$	$0^+(0^{+-})$	$f_2(2220)$	$0^+(2^{++})$	$K_4(2500)$	$1/2(4^{--})$
• $a_0(1450)$	$1^-(0^{++})$		$4^{++})$	$K(3100)$	$?^-(?^{??})$
• $\rho(1450)$	$1^+(1^{--})$	• $\eta(2225)$	$0^+(0^{++})$	Mezoni cu charm ($C = \pm 1$)	
• $f_0(1500)$	$0^+(0^{++})$	$\rho_3(2250)$	$1^+(3^{--})$	• D^1	$1/2(0^-)$
• $f_1(1510)$	$0^+(1^{++})$	• $f_2(2300)$	$0^+(2^{++})$	• D^0	$1/2(0^-)$
• $f_2^*(1525)$	$0^-(2^{++})$	$f_4(2300)$	$0^+(4^{++})$	• $D^*(2007)^0$	$1/2(1^-)$
• $f_2^*(1565)$	$0^+(2^{++})$	• $f_2(2340)$	$0^+(2^{++})$	• $D^*(2010)^{\pm}$	$1/2(1^{\pm})$
• $\omega(1600)$	$0^-(1^{--})$	$\rho_5(2350)$	$1^+(5^{--})$	• $D_1(2420)^0$	$1/2(1^{+})$
• $X(1600)$	$?^-(2^{++})$	$a_6(2450)$	$1^-(6^{++})$	$D_1(2420)^{\pm}$	$1/2(1^{\mp})$
		$f_6(2510)$	$0^+(6^{++})$	• $D_2^*(2460)^0$	$1/2(2^{+})$
		$X(3250)$	$?^-(?^{??})$	• $D_2^*(2460)^{\pm}$	$1/2(2^{+})$
Mezoni cu c si s ($C = S = \pm 1$)					
		• D_3^{\pm}	$0(0^-)$		
		• $D_3^{\pm 1}$	$?(^?)$		
		• $D_{s1}(2536)^\pm$	$0(1^+)$		
		• $D_{sJ}(2573)^\pm$	$?(^?)$		
Mezoni cu bottom ($B = \pm 1$)					
		• B^\pm	$1/2(0^-)$		
		• B^0	$1/2(0^-)$		
		• B^*	$1/2(1^-)$		
		$B_J^*(5732)$	$?(^?)$		

Anexa 2
Tabelul barionilor

p	P_{11}	****	$\Delta(1232)$	P_{33}	****	Λ	P_{01}	****	Σ^+	P_{11}	****	Ξ^0	P_{11}	****	
n	P_{11}	****	$\Delta(1600)$	P_{33}	***	$\Lambda(1405)$	S_{01}	****	Σ^0	P_{11}	****	Ξ^-	P_{11}	****	
$N(1440)$	P_{11}	****	$\Delta(1620)$	S_{31}	****	$\Lambda(1520)$	D_{01}	****	Σ^-	P_{11}	****	$\Xi(1530)$	P_{13}	****	
$N(1520)$	D_{13}	****	$\Delta(1700)$	D_{33}	****	$\Lambda(1600)$	P_{01}	***	$\Sigma(1385)$	P_{13}	****	$\Xi(1620)$	*		
$N(1535)$	S_{11}	****	$\Delta(1750)$	P_{31}	*	$\Lambda(1670)$	S_{01}	****	$\Sigma(1480)$	*		$\Xi(1690)$	*		
$N(1650)$	S_{11}	****	$\Delta(1900)$	S_{11}	***	$\Lambda(1690)$	D_{03}	****	$\Sigma(1560)$	*		$\Xi(1820)$	D_{13}	***	
$N(1675)$	D_{15}	****	$\Delta(1905)$	F_{35}	****	$\Lambda(1800)$	S_{01}	***	$\Sigma(1580)$	D_{13}	**	$\Xi(1950)$	*		
$N(1680)$	F_{15}	****	$\Delta(1910)$	P_{31}	****	$\Lambda(1810)$	P_{01}	***	$\Sigma(1620)$	S_{11}	**	$\Xi(2030)$	*		
$N(1700)$	D_{13}	***	$\Delta(1920)$	P_{33}	***	$\Lambda(1820)$	F_{05}	****	$\Sigma(1660)$	P_{11}	***	$\Xi(2120)$	*		
$N(1710)$	P_{11}	***	-	$\Delta(1930)$	D_{35}	***	$\Lambda(1830)$	D_{05}	****	$\Sigma(1670)$	D_{13}	****	$\Xi(2250)$	*	
$N(1720)$	P_{11}	****	$\Delta(1940)$	D_{33}	*	$\Lambda(1890)$	P_{03}	****	$\Sigma(1690)$	*		$\Xi(2370)$	*		
$N(1900)$	P_{13}	**	$\Delta(1950)$	F_{37}	****	$\Lambda(2000)$	*		$\Sigma(1750)$	S_{11}	***	$\Xi(2500)$	*		
$N(1990)$	F_{17}	**	$\Delta(2000)$	F_{35}	**	$\Lambda(2020)$	F_{07}	*	$\Sigma(1770)$	P_{11}	*				
$N(2000)$	F_{15}	**	$\Delta(2150)$	S_{33}	*	$\Lambda(2100)$	G_{07}	****	$\Sigma(1775)$	D_{15}	****	Ω^-		****	
$N(2080)$	D_{13}	**	$\Delta(2200)$	G_{37}	*	$\Lambda(2110)$	F_{05}	***	$\Sigma(1840)$	P_{13}	*	$\Omega(2250)$	*	***	
$N(2090)$	S_{11}	*	$\Delta(2300)$	H_{39}	**	$\Lambda(2325)$	D_{03}	*	$\Sigma(1880)$	P_{11}	**	$\Omega(2380)$	*		
$N(2100)$	P_{11}	*	$\Delta(2350)$	D_{36}	*	$\Lambda(2350)$	H_{09}	***	$\Sigma(1915)$	F_{15}	****	$\Omega(2470)$	*		
$N(2190)$	G_{17}	****	$\Delta(2390)$	F_{37}	*	$\Lambda(2585)$	*		$\Sigma(1940)$	D_{13}	***				
$N(2200)$	D_{15}	**	$\Delta(2400)$	G_{39}	**				$\Sigma(2000)$	S_{11}	*	Λ_c^+		****	
$N(2220)$	H_{19}	****	$\Delta(2420)$	$H_{3,11}$	****				$\Sigma(2030)$	F_{17}	****	$\Lambda_c(2593)^+$		***	
$N(2250)$	G_{19}	****	$\Delta(2750)$	$I_{1,13}$	**				$\Sigma(2070)$	F_{15}	*	$\Lambda_c(2625)^1$		***	
$N(2600)$	$I_{1,11}$	***	$\Delta(2950)$	$K_{3,15}$	**				$\Sigma(2080)$	P_{13}	**	$\Sigma_c(2455)$		****	
$N(2700)$	$K_{1,13}$	**							$\Sigma(2100)$	G_{17}	*	$\Sigma_c(2530)$	*		
									$\Sigma(2250)$		***	Ξ_c^+		***	
									$\Sigma(2455)$		**	Ξ_c^0		***	
									$\Sigma(2620)$		**	$\Xi_c(2645)$		***	
									$\Sigma(3000)$		*	Ω_c^0		***	
									$\Sigma(3170)$		*	Ξ_b^0			
												Λ_b^0		***	
												Ξ_b^0	Ξ_b^-	*	

Bibliografie

1. F.E.Close, *An introduction to quarks and partons*, Academic Press, 1979.
2. B.Diekmann, *Spectroscopy of mesons containing light quarks (u, s, d) or gluons*, Raport CERN, CERN - EP/86-112 (1986).
3. K.Gottfried, V.F.Weisskopf, *Subnuclear phenomena*, Cap. I, Partea a 5-a din "*The concepts of Particle Physics*", Oxford University Press
4. M.Jacobi, E.Quocigh (editori) *The CERN OMEGA Spectrometer: 25 Years of Physics*, Raport CERN, CERN 97-02 (1977).
5. J.M. Richard, *The non-relativistic three body problem for baryons*, Physics Reports, vol. 212 (1992) 1-76.
6. R.H.Schindler, *Heavy Quark Spectroscopy and Decays*, Lectures presented at the XIV-th SLAC Summer Institute on Particle Physics, Stanford 1986.
7. ***, *Review of Particle Physics*, Phys. Rev. D54, Part I, 1996.
8. G.Wolf, *Selected Topics on e^+e^- physics*, Raport DESY, DESY 80/13 (1980)
9. H.Meyer, *e^+e^- annihilation*, Raport University of Wuppertal.
10. T.F.Walsh, *Chrodynamics in e^+e^-* , Preprint CERN TH 3027 (1981)
11. L.G.Landsberg, *Exotic hadrons*, in *Topics in Hadron Spectroscopy* v. 3, D.C.Pearse (editor), Nova Science Publishers Inc., New York 1995 (vezi si volumele anterioare!)

12. U.Gastaldi, R.Klapisch, F.E.Close (editori) *Spectroscopy of Light and Heavy Quarks*, Proc. of the Second Course of the Int. School on Physics with Low Energy Antiprotons, Erice 1987, Plenum Press, New York and London.
13. Jean Mark Richard, *Sacs, potentiel et spectre hadronique*, in GIF-86, Ecole d'ete de physique des particules, Gif sur Yvette, 1986.
14. F.Iddir, S.Safir, *Do 1ccg hybrid mesons exist, do they mix with charmonium?* Preprint LPT Oran 10/97 - LPTHE Orsay -97-71, 1997
15. Claude Amsler, *Proton-antiproton annihilation and meson spectroscopy with the Crystal Barrel*, in curs de aparitie la Rev. Mod. Phys., 1998.
16. ***, *Proc. of the Second Int. Conf. on Hadron Spectroscopy*, KEK; Japan, 1987, Raport KEK 87-7, 1987
17. S.-U.Chung (editor), *Proc. Workshop on Glueballs, Hybrids and Exotic Hadrons*, Upton, New York 1988, New York 1989.
18. H.Koch, M.Kunze, K.Peters (editori), *Proc. Fourth Biennial Conf on Low Energy Antiproton Physics*, Dinkelsbuhl 1996, Nucl. Phys. B (Proc. Suppl.) 56A (1997).



"QUARKS, NEUTRINOS, MESONS. ALL THOSE DAMN PARTICLES
YOU CAN'T SEE. THAT'S WHAT DROVE ME TO DRINK.
BUT NOW I CAN SEE THEM!"

AEROFACIA
dupa Sydney Harris, din: <http://i04ktha.desy.de/cartoons/har0388.jpg>

Tiparul s-a executat sub c-da nr. 494/1998,
la Tipografia Editurii Universității din București



ISBN 973- 575 - 282 - 4

Lei 13100